



UNIVERSITÉ PARIS 1 – PANTHÉON - SORBONNE

UFR 03 – Art et Archéologie

Thèse de doctorat nouveau régime

Préparée en vue d'obtenir le grade de docteur de l'université Paris 1

Présentée et soutenue publiquement le

13 mars 2006

par

Jérémie SCHIETTECATTE

Villes et urbanisation de l'Arabie du Sud à l'époque préislamique

Formation, fonctions et territorialités urbaines
dans la dynamique de peuplement régionale

VOLUME II : ILLUSTRATIONS

Réalisée sous la direction de

M. le Professeur Serge CLEUZIOU (Université Paris 1)

Jury

M. le Professeur Alessandro de Maigret (Istituto Universitario di Napoli)

M. Michel Mouton (CNRS, IFPO, Damas)

M. Jean-Paul Thalmann (Université Paris 1)

TABLE DES FIGURES

Sauf mention contraire, les cartes et clichés sont de l'auteur.

Figure 1 : restitution hypothétique de la ville antique de Ma'in (M. Tawfiq, 1951, fig. 3).....	4
Figure 2 : cadre géographique de l'Arabie du Sud.	5
Figure 3 : cinq ensembles géographiques divisant l'Arabie du Sud.	6
Figure 4 : paysage de Tihâma.	7
Figure 5 : paysage des Hautes-Terres (région du jabal Isbil).	7
Figure 6 : paysage des Hautes-Terres : les reliefs occidentaux (région du jabal al-'Urr).....	8
Figure 7 : paysage des Hautes-Terres : la région des plateaux (région de Kawkabân).....	8
Figure 8 : paysage des Hautes-Terres : la région des plateaux (région de Arḥab).	9
Figure 9 : paysage du Ḥaḍramawt : le wādī Ḥaḍramawt et les escarpements du <i>Jawl</i> (cliché : R. Crassard).	10
Figure 10 : débouché du wādī al-Jawf, dans les environs de Jidfir Ibn Munaykhir.	11
Figure 11 : Ramlat as-Sab'atayn, reg de la région d'al'Ab.	11
Figure 12 : erg du Ramlat as-Sab'atayn.....	12
Figure 13 : carte des isohyètes d'Arabie du Sud.	13
Figure 14 : cultures en terrasses sur les Hautes-Terres (région de Ta'izz).	14
Figure 15 : parcelles cultivées antiques autour de Shabwa (P. Gentelle, 1991, fig. 35).	14
Figure 16 : canal antique sédimenté par les limons.	15
Figure 17 : paysage de steppe arborée en Tihâma (environs d'al-Hâmid).	15
Figure 18 : arbre à myrrhe (région des Hautes-Terres méridionales).	16
Figure 19 : Sarm al-'Abâdila – site 2 (A. de Maigret (éd.), 1988, fig. 17).	17
Figure 20 : Wādī Yanâ'im – site 1 (A. de Maigret (éd.), 1988, fig. 10).	17
Figure 21 : l'Arabie du Sud à la fin du VIII ^e -début VII ^e s. av. J.-C.	18
Figure 22 : l'Arabie du Sud vers les IV ^e -III ^e s. av. J.-C.	18
Figure 23 : l'Arabie du Sud au I ^{er} s. ap. J.-C.	19
Figure 24 : l'Arabie du Sud au III ^e s.	19
Figure 25 : l'Arabie du Sud aux IV ^e -V ^e s.	20
Figure 26 : carte des sites archéologiques sudarabiques publiés ainsi que ceux recensés lors des prospections de la mission française Jawf-Ḥaḍramawt (dir. S. Cleuziou, M.-L. Inizan, M. Mouton), de la mission Qataban (dir. Ch. Robin), de la mission française d'archéologie islamique (dir. A. Rougeulle).	20
Figure 27 : carte de répartition des sites archéologiques du Jawf.....	21
Figure 28 : plan de Kamna (J.-F. Breton, 1985, fig. 9).	22
Figure 29 : plan d'as-Sawdâ' (J.-F. Breton, 1985, fig. 10).....	22
Figure 30 : plan d'al-Bayḍâ' (J.-F. Breton, 1985, fig. 8).....	23
Figure 31 : plan de Ma'in (d'après J.-F. Breton, 1994 a, fig. 41, complétée avec F. Bron, 1998).	23
Figure 32 : plan de Barâqish (J.-F. Breton, 1994 a, fig. 42).	24
Figure 33 : plan de Jidfir Ibn Munaykhir (J.-F. Breton, 1985, fig. 6).	24
Figure 34 A-G : cartes de l'évolution du réseau urbain dans la région du Jawf et le royaume de Saba' (Basses-Terres).	25
Figure 35 A-C : cartes de répartition des sites archéologiques des Basses-Terres sabéennes.	29
Figure 36 : plan de Kharibat Sa'ûd (J.-F. Breton, 1985, fig. 4).	31
Figure 37 : périmètre irrigué du wādī Raghwân (d'après une vue appartenant au fonds du CEFAS).	32
Figure 38 : plan d'al-Asâḥil (J.-F. Breton, 1985, fig. 5).	33
Figure 39 : plans de Ma'rib par Th. Arnaud (A) et E. Glaser (B) (M. Höfner, 1938, fig. 1).	34
Figure 40 : photographie aérienne du site de Ma'rib (J.-F. Breton, 1994 a, pl. 3).	35
Figure 41 : oasis de Ma'rib (H. Hitgen, 2005, p. 18).....	35
Figure 42 : plan de Dâr as-Sawdâ' (J.-F. Breton, 1991 a, fig. 3).	36
Figure 43 : plan de Şirwâḥ-Khawlân (J.-F. Breton, 1994 a, fig. 37).	36
Figure 44 : plan de Yalâ (J.-F. Breton, 1994 a, 35).	37
Figure 45 : vue de Hajar ar-Rayḥânî (W. D. Glanzman & A. O. Ghaleb, 1987, pl. 1).	37
Figure 46 A-B : cartes de répartition des sites archéologiques des régions de Qatabân et Awsân.....	38
Figure 47 : vue aérienne du site de Ḥinû az-Zurayr (D. B. Doe, 1971, fig. 114).	40

Figure 48 : plan de Ḥinû az-Zurayr (J.-F. Breton, 1985, fig. 56).....	40
Figure 49 : phases d'extension supposées et restitution de la voirie de Ḥinû az-Zurayr.....	41
Figure 50 : plan de Hajar Kuḥlân (J.-F. Breton, 1994 a, fig. 43).....	42
Figure 51 : carte des zones d'accessibilité depuis les sites d'habitat du III ^e s. av. J.-C. dans le wâdî Bayḥân.....	43
Figure 52 : plan de Hajar Yahirr (J.-F. Breton, 1994 a, fig. 4).....	44
Figure 53 : périmètre irrigué de Hajar Yahirr (U. Brunner, 1999 a, p. 201).....	44
Figure 54 : plan de Rumâḥa (J.-F. Breton, 1994 a, fig. 16).....	45
Figure 55 : plan de MKH-32 (S. Cleuziou & M.-L. Inizan, 1992).....	45
Figure 56 : vue aérienne de Qarn al-Madâra (U. Brunner, 1997 b, fig. 8).....	46
Figure 57 : plan de Hajar aṣ-Ṣafrâ' (J.-F. Breton & al. (éds), 1998, fig. 6).....	47
Figure 58 : plan de Hajar Arra (J.-F. Breton, 1985, fig. 54).....	47
Figure 59 : plan de Hajar Khamûma (J.-F. Breton, 1985, fig. 53).....	47
Figure 60 : plan de Hajar am-Barka (J.-F. Breton, 1994 a, fig. 36).....	48
Figure 61 : plan de Hajar Ṭâlib (J.-F. Breton, 1994 a, fig. 57).....	48
Figure 62 : plan de Hajar Lajiya (J.-F. Breton, 1994 a, fig. 56).....	49
Figure 63 : vue aérienne du périmètre irrigué de Hajar Lajiya (d'après U. Brunner, 1999 a, p. 243).....	49
Figure 64 A-F : cartes de l'évolution du réseau urbain de Qatabân et Awsân.....	50
Figure 65 : carte des trajets de moindre contrainte au départ des sites de Hajar Kuḥlân, Ḥinû az-Zurayr et Hajar.....	54
Figure 66 A-C : cartes de répartition des sites archéologiques du Ḥaḍramawt :.....	55
Figure 67 : plan de Makaynûn (mission archéologique française dans le Jawf-Ḥaḍramawt, V. Bernard).....	57
Figure 68 : carte des sites archéologiques dans le secteur de Makaynûn (mission archéologique française dans le Jawf-Ḥaḍramawt, O. Barge).....	58
Figure 69 : plan de Raybûn (A. V. Sedov, 1997 a, pls II ; V).....	59
Figure 70 : restitution de l'évolution de l'oasis de Raybûn à la période préislamique.....	60
Figure 71 : plan de Shabwa (Ch. Darles, 1998, fig. 1).....	61
Figure 72 : plan de Hajar al-Barîra (J.-F. Breton, 1985, fig. 15).....	62
Figure 73 : carte des zones d'accessibilité autour des sites du wâdî Jirdân.....	62
Figure 74 : plan de Naqb al-Hajar (J.-F. Breton, 1994 a, fig. 51).....	63
Figure 75 : croquis du périmètre irrigué de Naqb al-Hajar (U. Brunner, 1999 b, p. 50).....	63
Figure 76 : plan de Bi'r 'Alî avec restitution de la ligne du rivage à la période préislamique (M. Mouton, P. Sanlaville & J. Suire, à paraître, fig. 5 ; numérotation des secteurs d'après A. V. Sedov, 1992, fig. 1).....	64
Figure 77 : plan de Khawr Rûrî (A. V. Sedov & Ch. Benvenuti, 2002, fig. 1).....	64
Figure 78 A-G : cartes de l'évolution du réseau urbain du Ḥaḍramawt.....	65
Figure 79 : plan de Hajar.....	68
Figure 80 : carte de répartition des sites du Ḥaḍramawt oriental au III ^e s. av. J.-C.....	69
Figure 81 : carte des zones d'accessibilité autour des sites du Ḥaḍramawt oriental au III ^e s. av. J.-C.....	69
Figure 82 : carte des zones de visibilité depuis les sanctuaires <i>extra-muros</i> du Ḥaḍramawt oriental.....	69
Figure 83 : carte des sites archéologiques de Tihâma.....	70
Figure 84 : plan du complexe architectural de Ṣabir 5 (B. Vogt, 2003, fig. 6).....	71
Figure 85 : plan d'al-Hâmid (C. Phillips, 2005, fig. 3).....	71
Figure 86 : carte des zones d'accessibilité autour des sites d'al-Hâmid et de Wâqir (tranches de 20 min. de marche).	72
Figure 87 : carte de répartition des sites archéologiques des Hautes-Terres.....	73
Figure 88 : plan de Hammat al-Qâ' (T. J. Wilkinson, Ch. Edens & G. Barratt, 2001, fig. 4 ; http://oi.uchicago.edu/OI/PROJ/CAMEL/YEMEN/Settlement_9.html).....	74
Figure 89 : plan de Madînat al-Ahjur (S. Antonini, 1989, fig. 2).....	75
Figure 90 : plan de Kharibat al-Ḥusayn (http://oi.uchicago.edu/OI/PROJ/CAMEL/YEMEN/Settlement_15.html).....	75
Figure 91 : plan de Bayt Dughaysh/Ḥadaqân (P. A. Grjaznevic, 1994, schéma 15).....	76
Figure 92 : inscription issue du pillage récent du temple du jabal Riyâm.....	77
Figure 93 : inscription remployée dans la maçonnerie de la mosquée de Itwa.....	77
Figure 94 : Nâ'it, vue générale du site.....	78
Figure 95 : Nâ'it, soubassements de structures préislamiques.....	79
Figure 96 : vue du site d'al-Mi'sâl depuis le sud.....	80
Figure 97 : plan d'al-Mi'sâl (Ch. Robin, J.-F. Breton & R. Audouin, non publié, reproduit avec l'aimable autorisation de Ch. Robin).....	80
Figure 98 : vue du complexe architectural d'al-Mi'sâl.....	81
Figure 99 : inscriptions du musée de Baynûn provenant du site mentionnant les <i>qayls</i> de Shadad.....	82

Figure 100 : plan de Zafâr (W. Radt, 1971, fig. 23).	82
Figure 101 A-E : cartes de l'évolution du réseau urbain des Hautes-Terres	83
Figure 102 : plan de Hajar Janâdila (J.-F. Breton, 1994 a, fig. 55).	86
Figure 103 : plan de Hajar Zâlimayn (J.-F. Breton, 1994 a, fig. 54).	86
Figure 104 : plan de Hajar Ḍabû'a (Ch. Robin, J.-F. Breton & R. Audouin, 1979, p. 422).	87
Figure 105 : plan de Najrân avec restitution des axes de circulation (d'après J.-F. Breton, 1991 a, fig. 8).	87
Figure 106 : carte des distances-coûts autour des centres administratifs et politiques des Hautes Terres	88
Figure 107 : carte de l'armature urbaine de l'Arabie du Sud à l'époque proto-sudarabique	89
Figure 108 : carte de l'armature urbaine de l'Arabie du Sud au VIII ^e s. av. J.-C.	90
Figure 109 : carte de l'armature urbaine de l'Arabie du Sud au IV ^e s. av. J.-C.	91
Figure 110 : carte de l'armature urbaine de l'Arabie du Sud au I ^{er} s. ap. J.-C.	92
Figure 111 : carte de l'armature urbaine de l'Arabie du Sud au III ^e s. ap. J.-C.	93
Figure 112 : carte de l'armature urbaine de l'Arabie du Sud au V ^e s. ap. J.-C.	94
Figure 113 : planche comparative des sites préislamiques d'Arabie du Sud	95

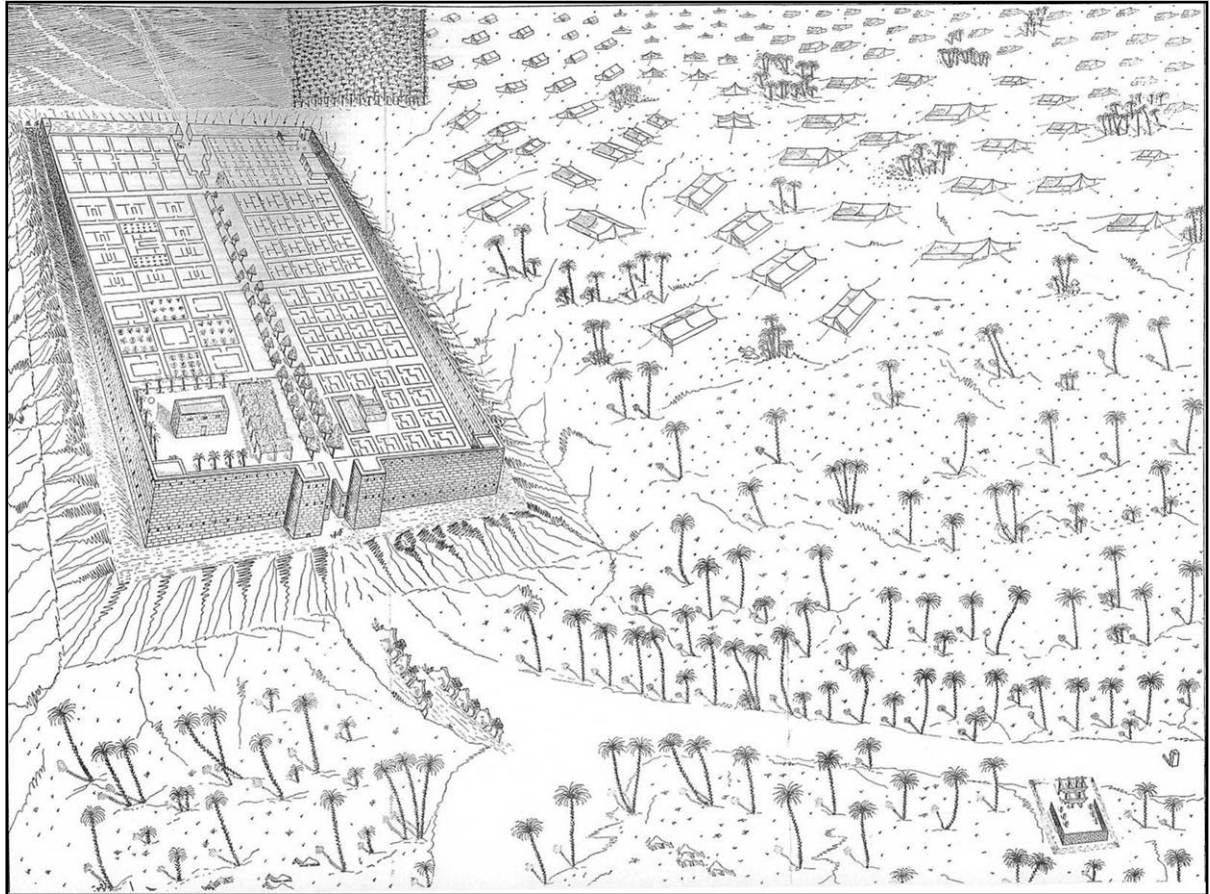


Figure 1 : restitution hypothétique de la ville antique de Ma'in (M. Tawfiq, 1951, fig. 3).

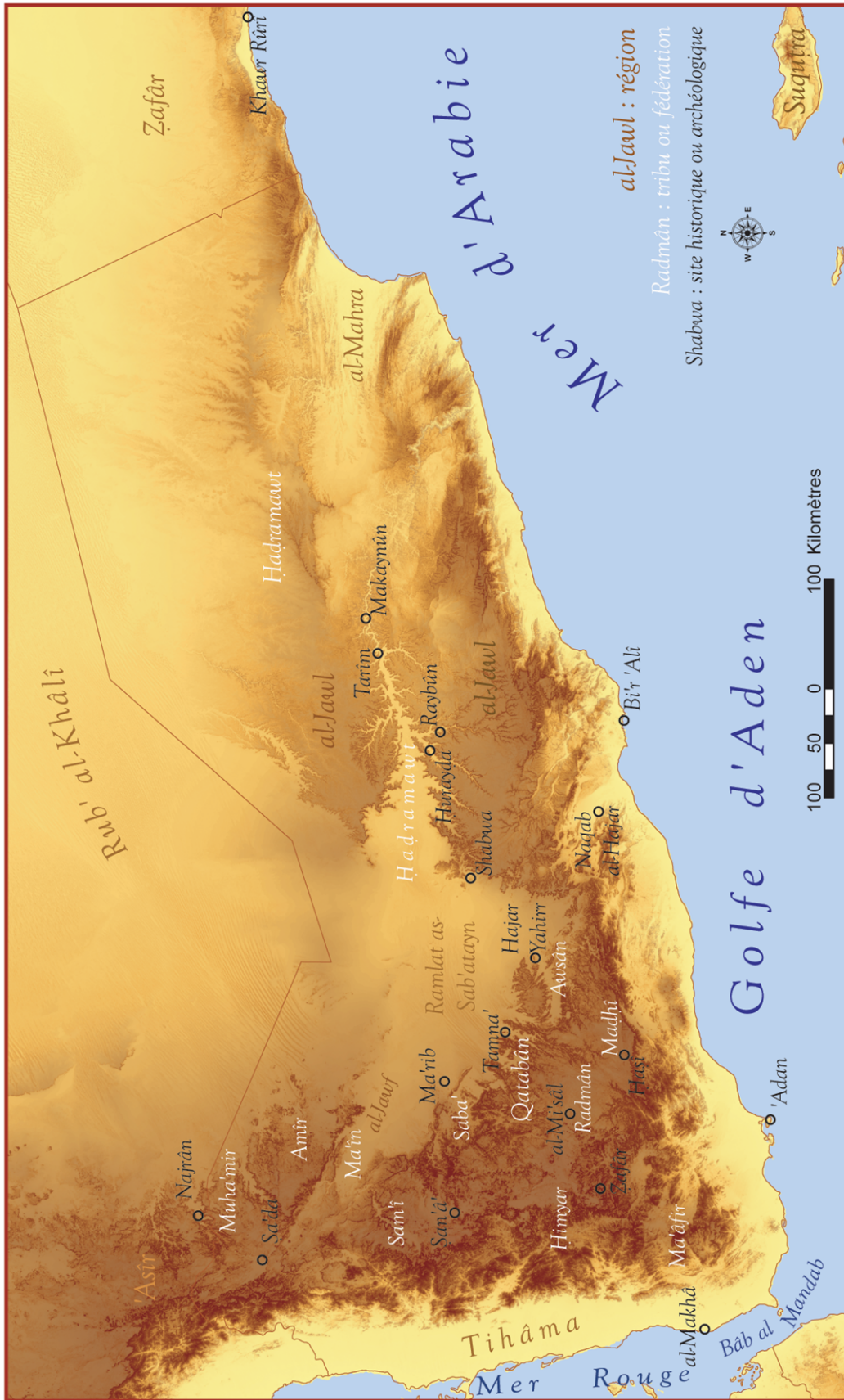


Figure 2 : cadre géographique de l'Arabie du Sud.

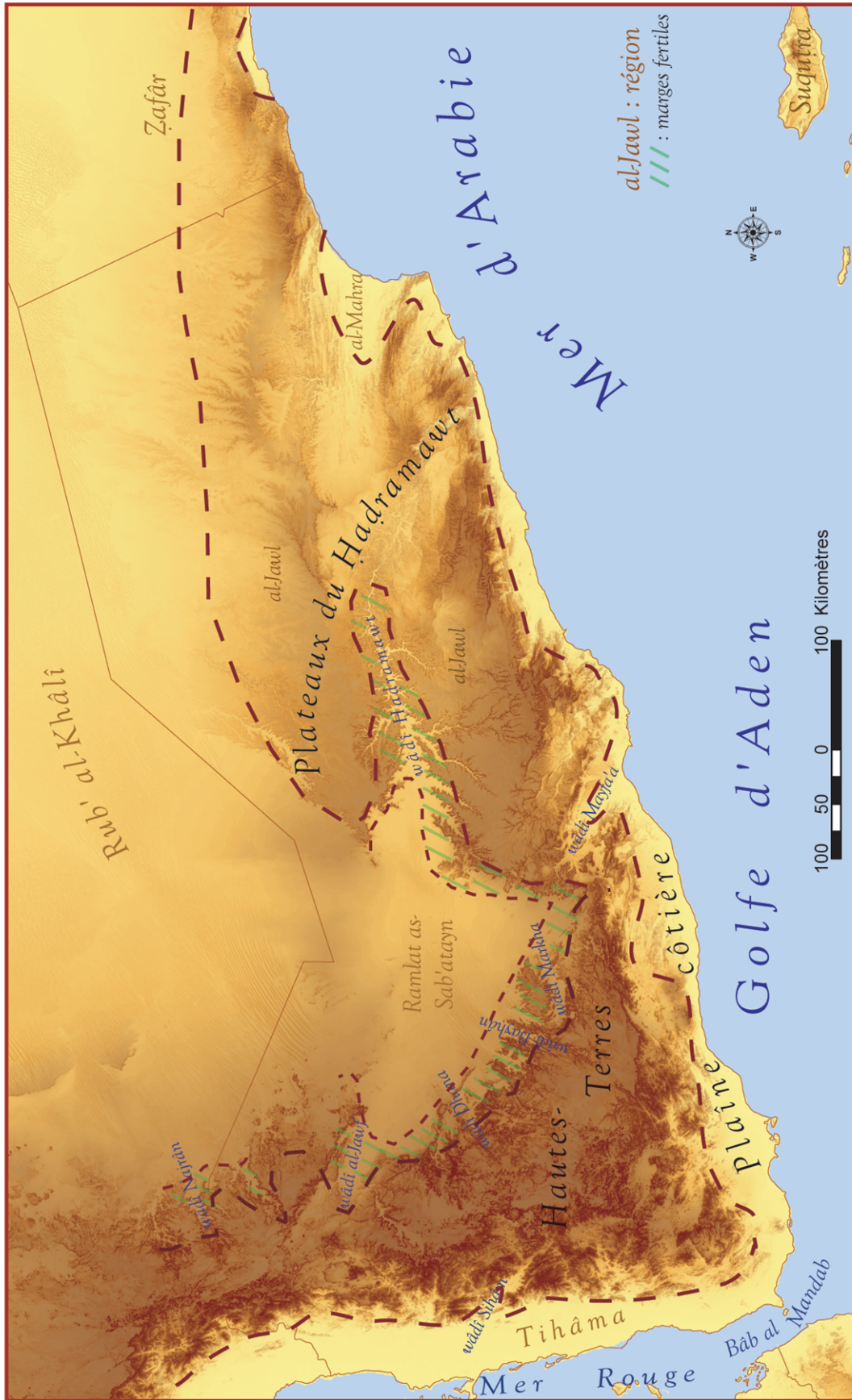


Figure 3 : cinq ensembles géographiques divisant l'Arabie du Sud.



Figure 4 : paysage de Tihâma.



Figure 5 : paysage des Hautes-Terres (région du jabal Isbil).



Figure 6 : paysage des Hautes-Terres : les reliefs occidentaux (région du jabal al-'Urr).

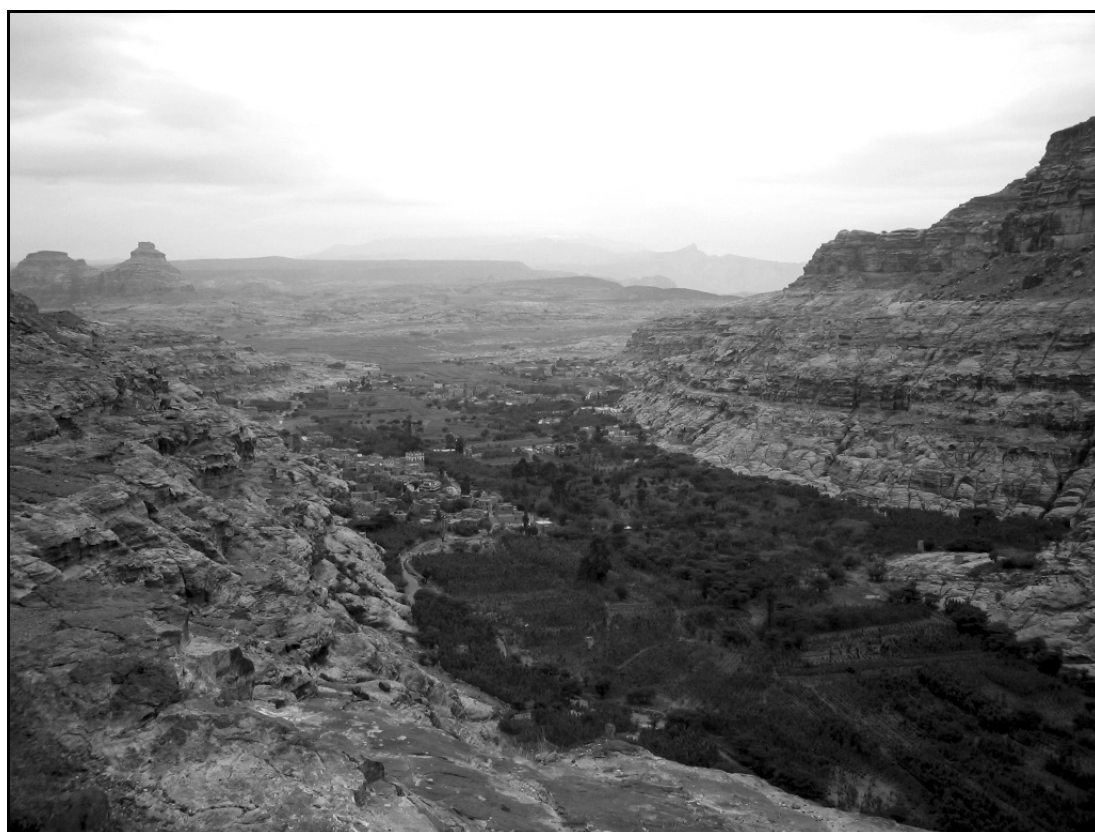


Figure 7 : paysage des Hautes-Terres : la région des plateaux (région de Kawkabân).



Figure 8 : paysage des Hautes-Terres : la région des plateaux (région de Arḥab).



Figure 9 : paysage du Ḥaḍramawt : le wādī Ḥaḍramawt et les escarpements du *Jawl* (cliché : R. Crassard).



Figure 10 : débouché du wâdi al-Jawf, dans les environs de Jidfir Ibn Munaykhir.



Figure 11 : Ramlat as-Sab'atayn, reg de la région d'al-'Abr.

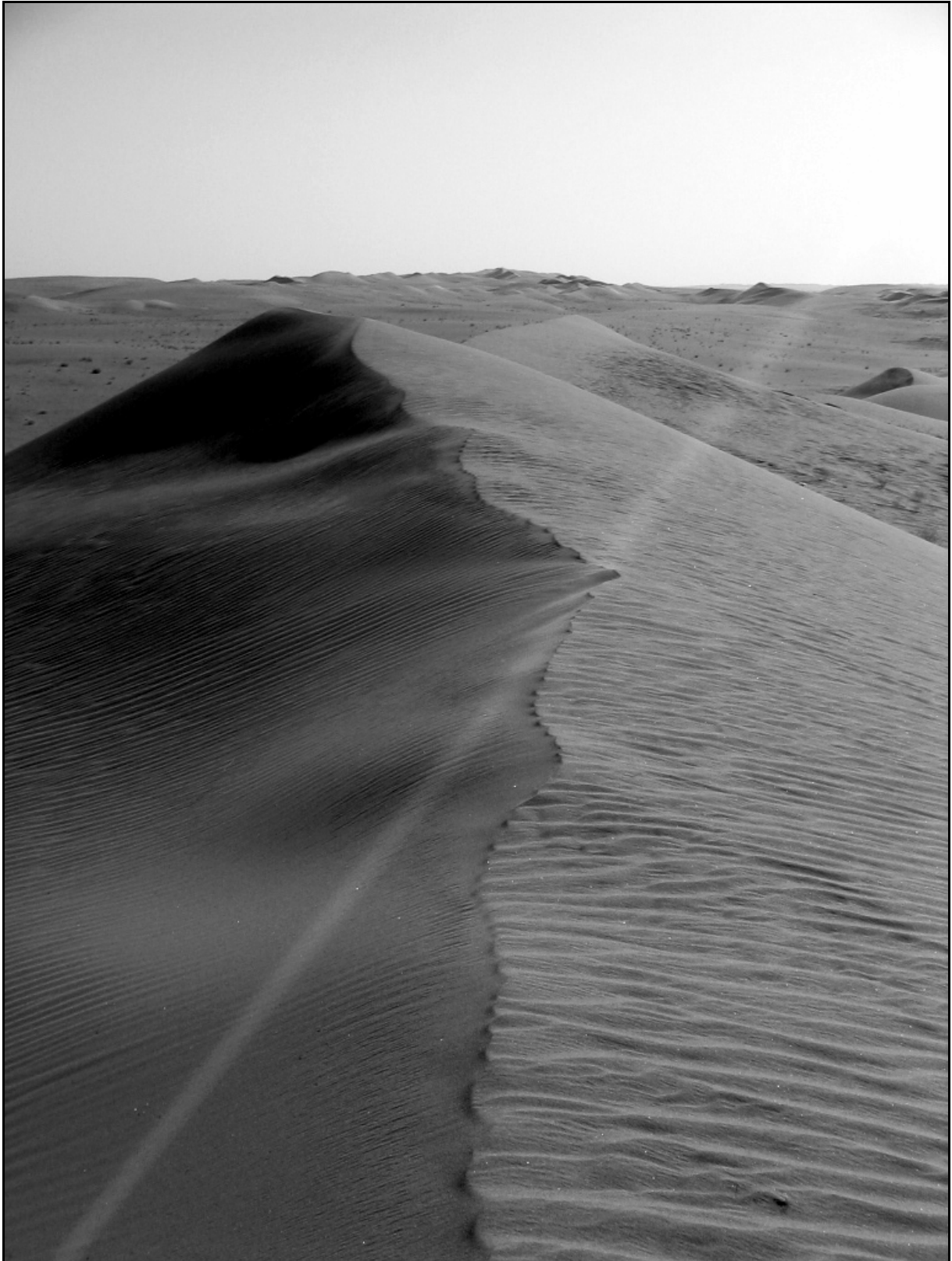


Figure 12 : erg du Ramlat as-Sab'atayn.

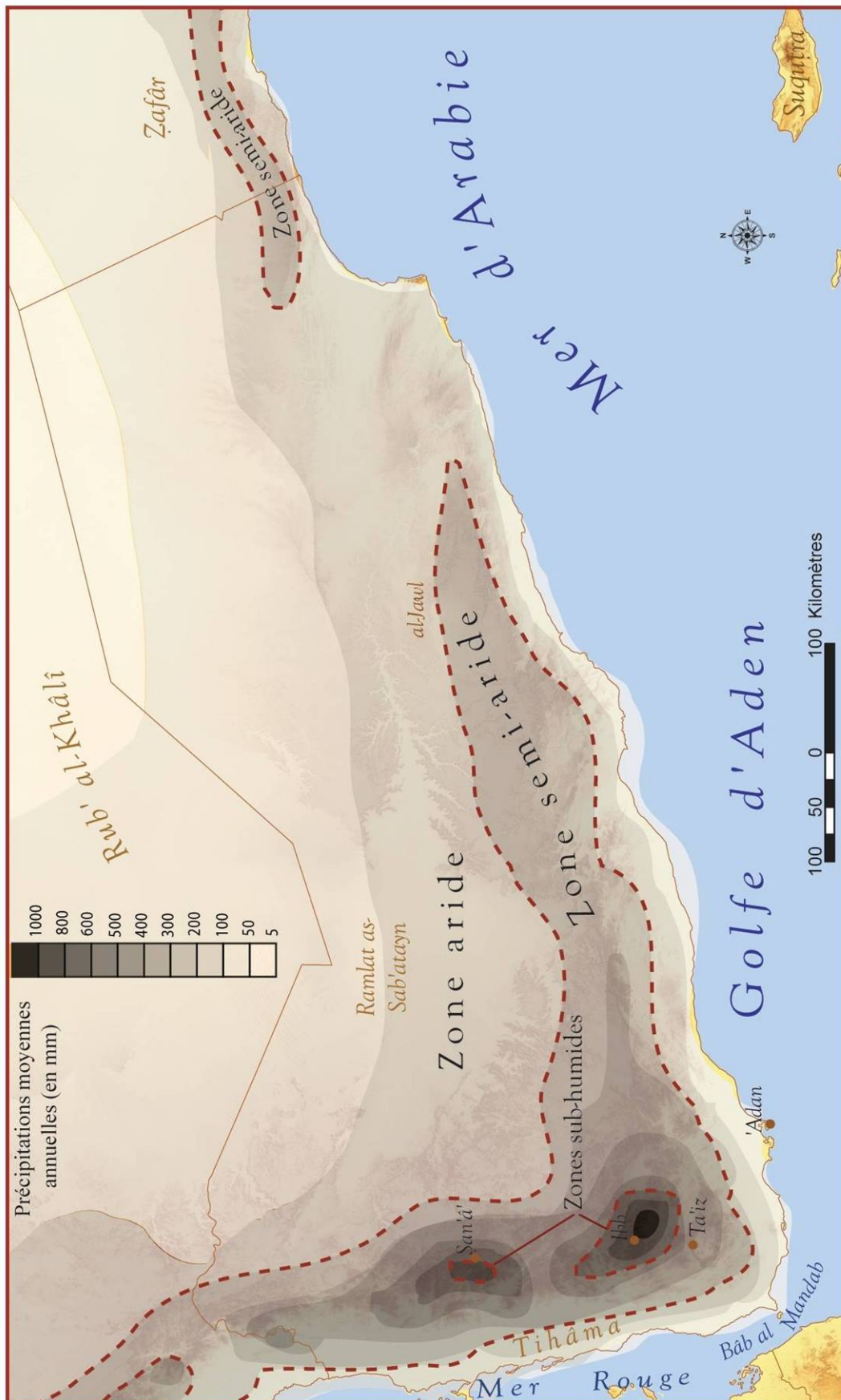


Figure 13 : carte des isohyètes d'Arabie du Sud.



Figure 14 : cultures en terrasses sur les Hautes-Terres (région de Ta'izz).



Figure 15 : parcelles cultivées antiques autour de Shabwa (P. Gentelle, 1991, fig. 35).



Figure 16 : canal antique sédimenté par les limons.

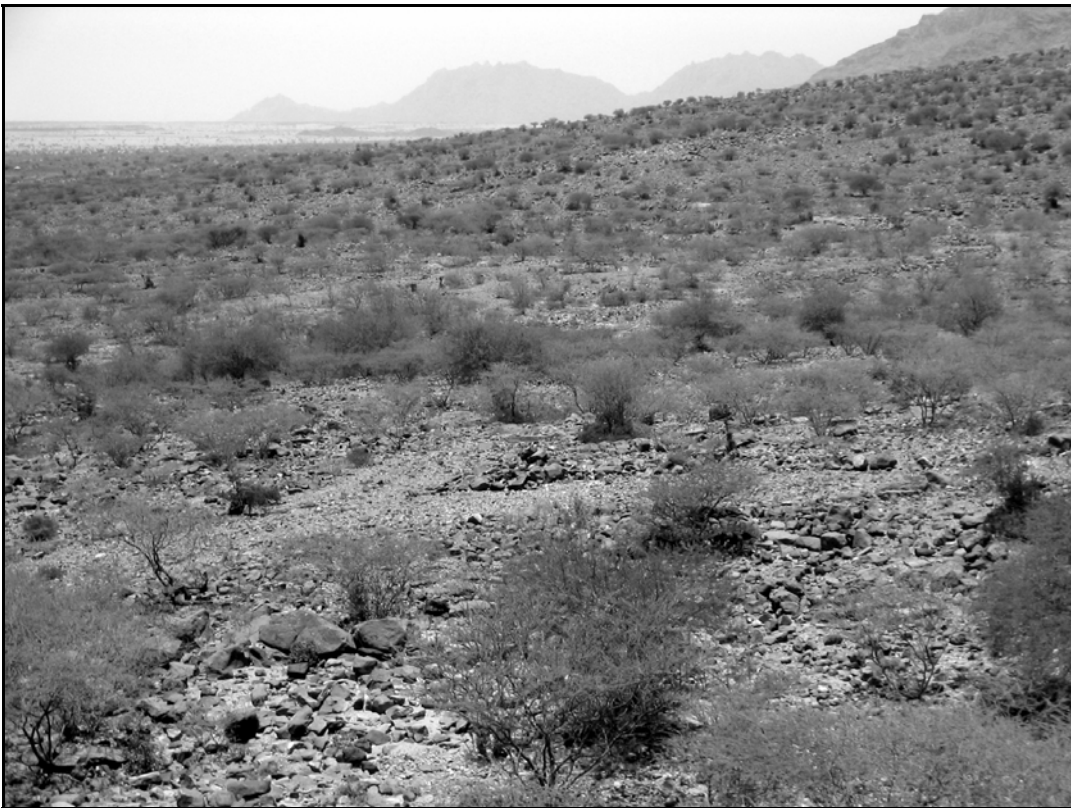


Figure 17 : paysage de steppe arborée en Tihâma (environs d'al-Hâmid).

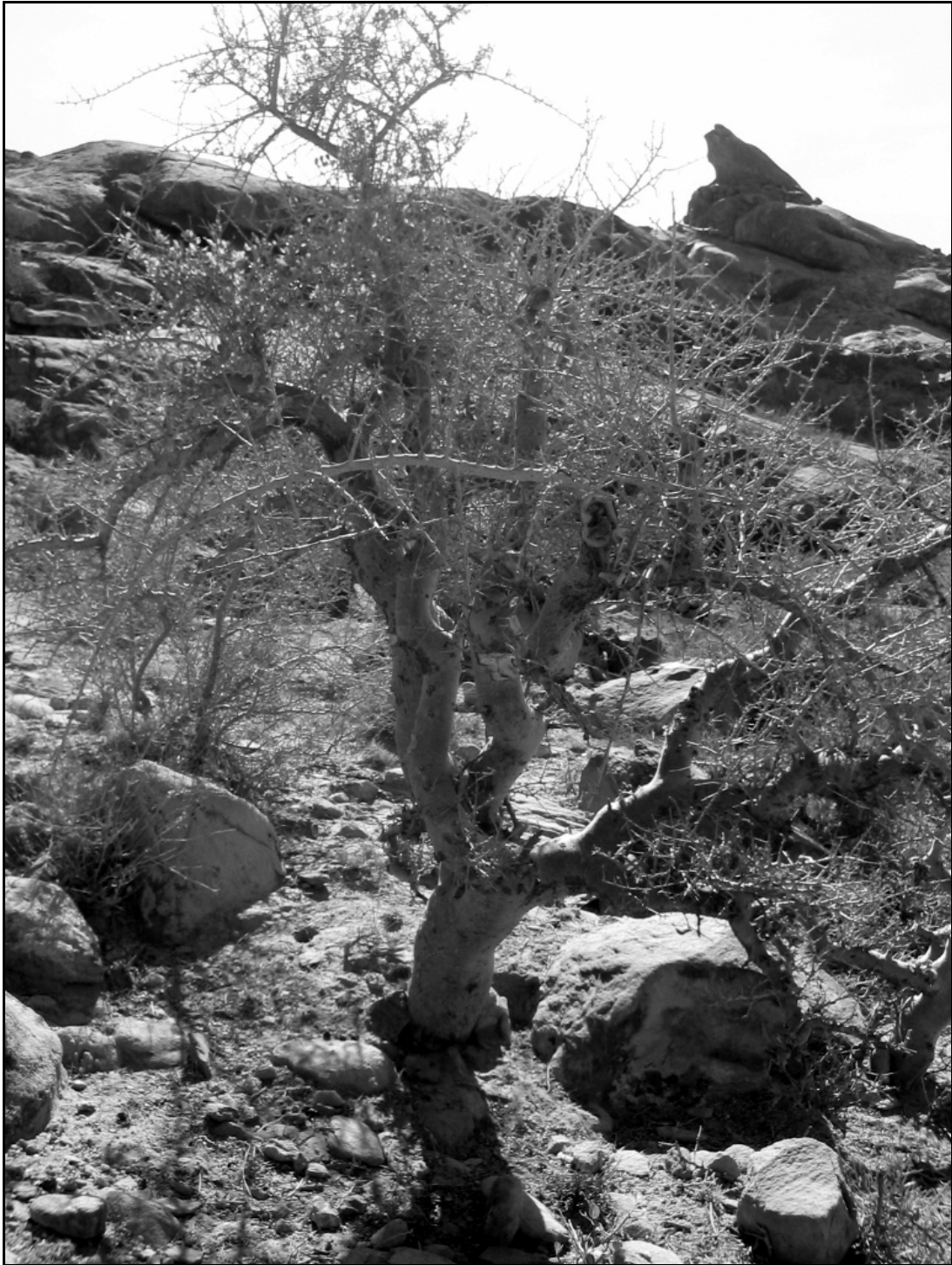


Figure 18 : arbre à myrrhe (région des Hautes-Terres méridionales).

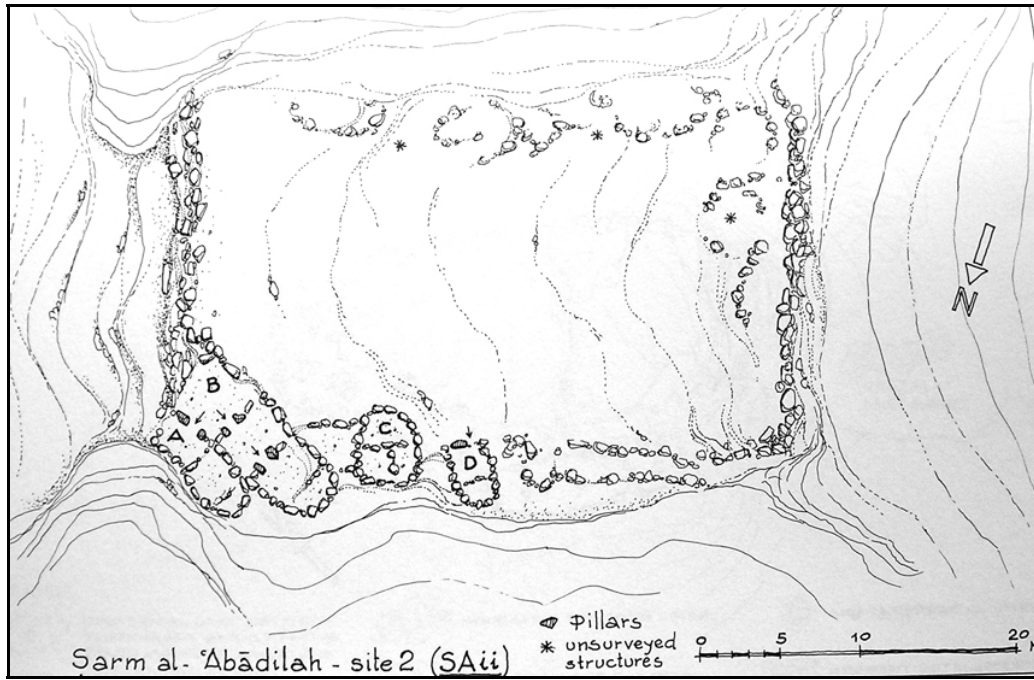


Figure 19 : Sarm al-'Abādilah - site 2 (A. de Maigret (éd.), 1988, fig. 17).

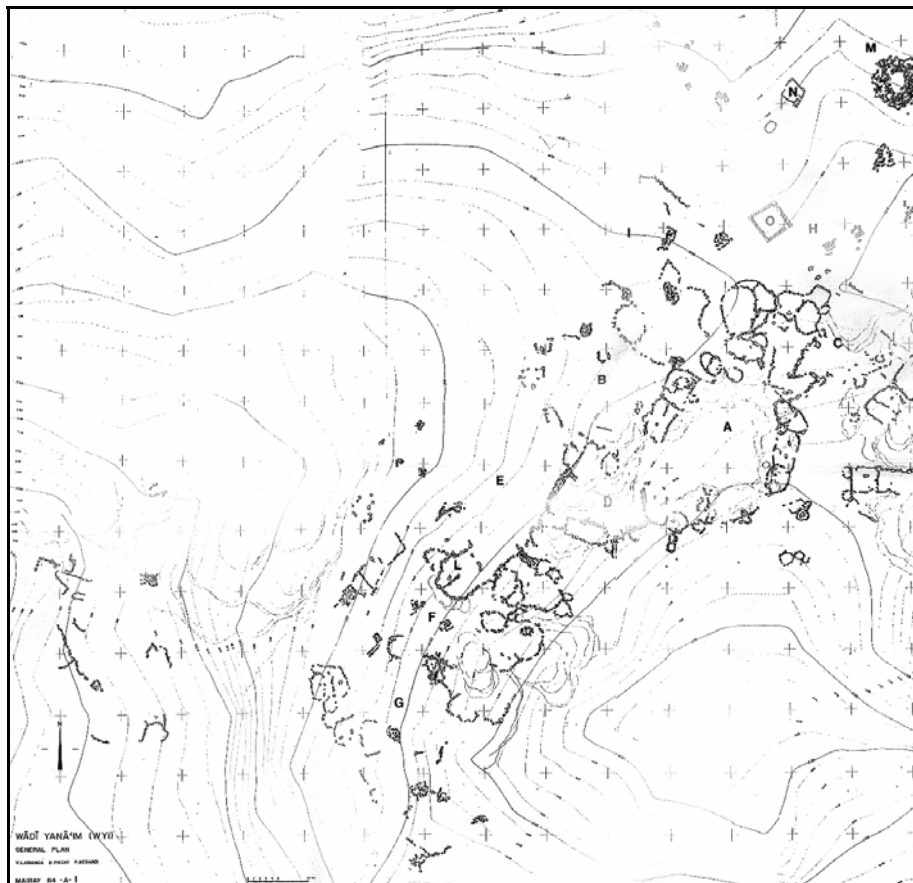


Figure 20 : Wādī Yanā'im - site 1 (A. de Maigret (éd.), 1988, fig. 10).

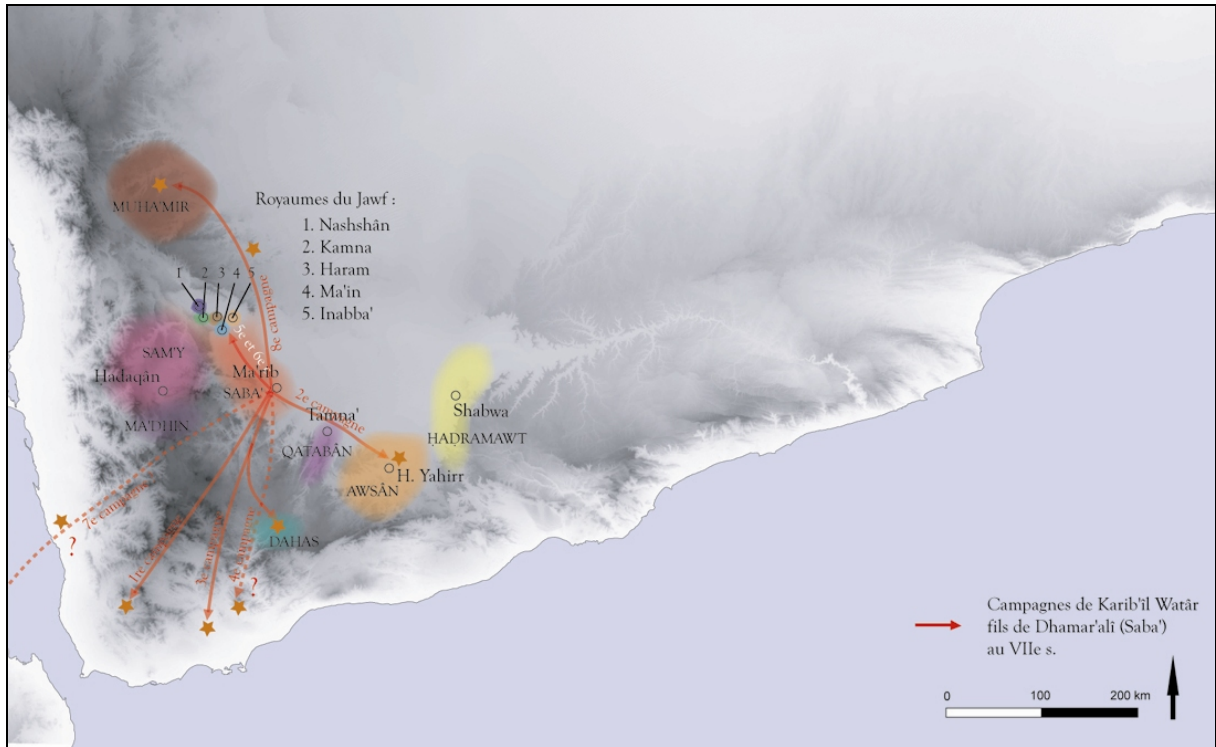


Figure 21 : l'Arabie du Sud à la fin du VIII^e-déb. VII^e s. av. J.-C.

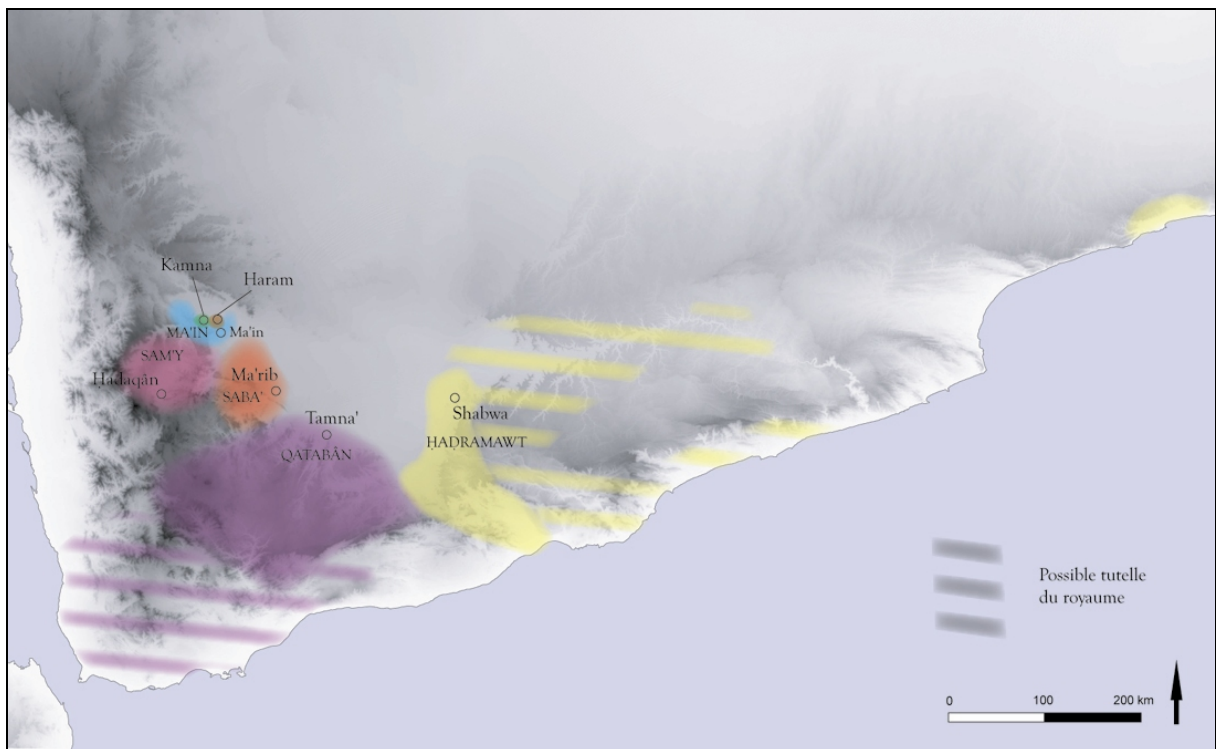


Figure 22 : l'Arabie du Sud vers les IV^e-III^e s. av. J.-C.

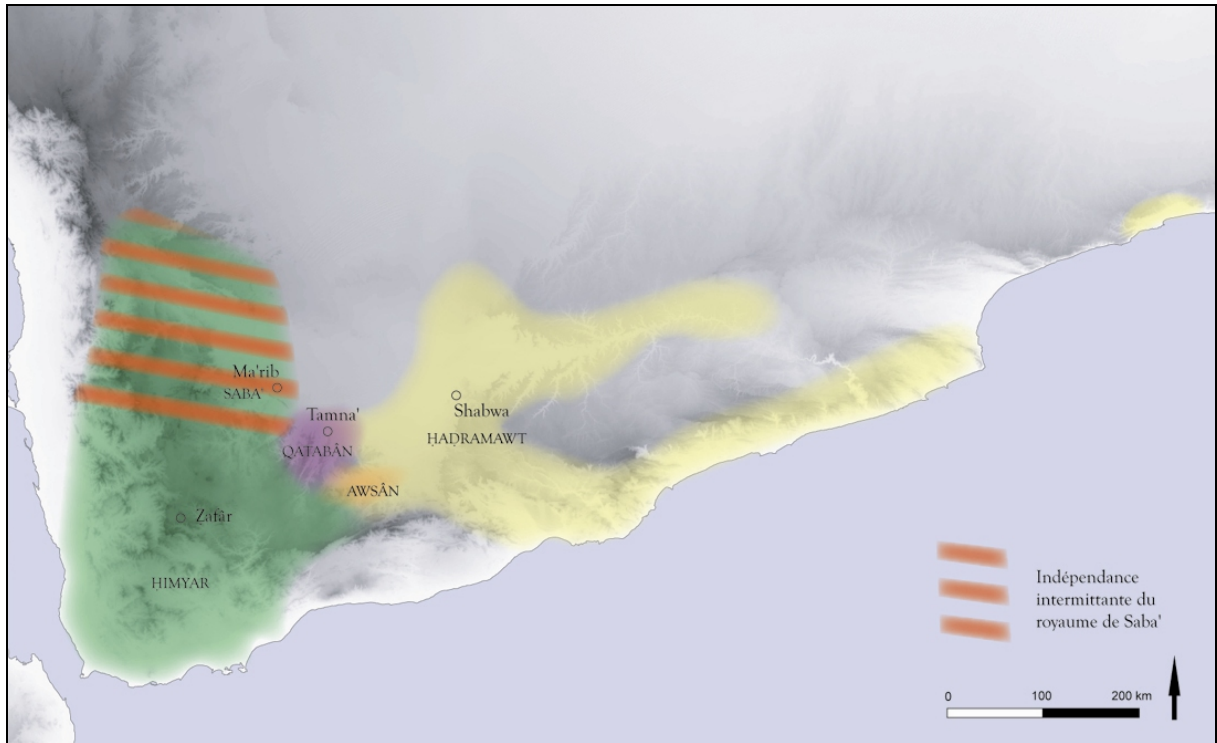


Figure 23 : l'Arabie du Sud au I^{er} s. ap. J.-C.

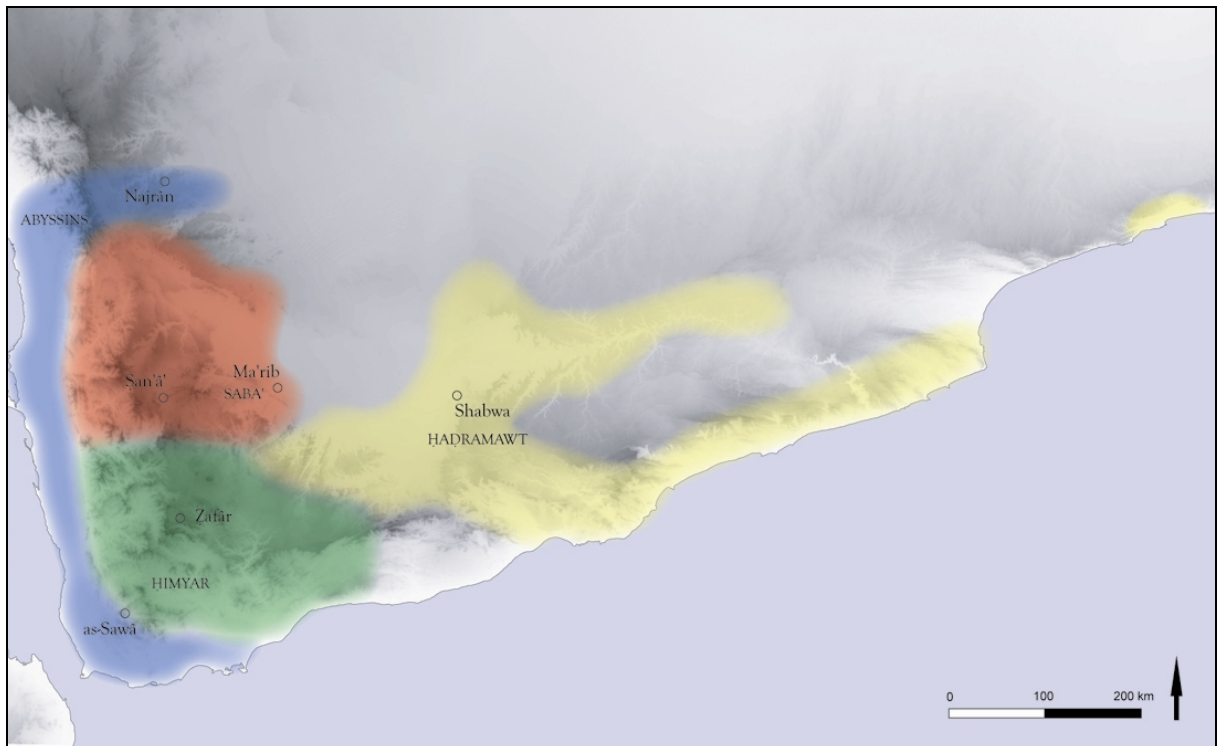


Figure 24 : l'Arabie du Sud au III^e s.

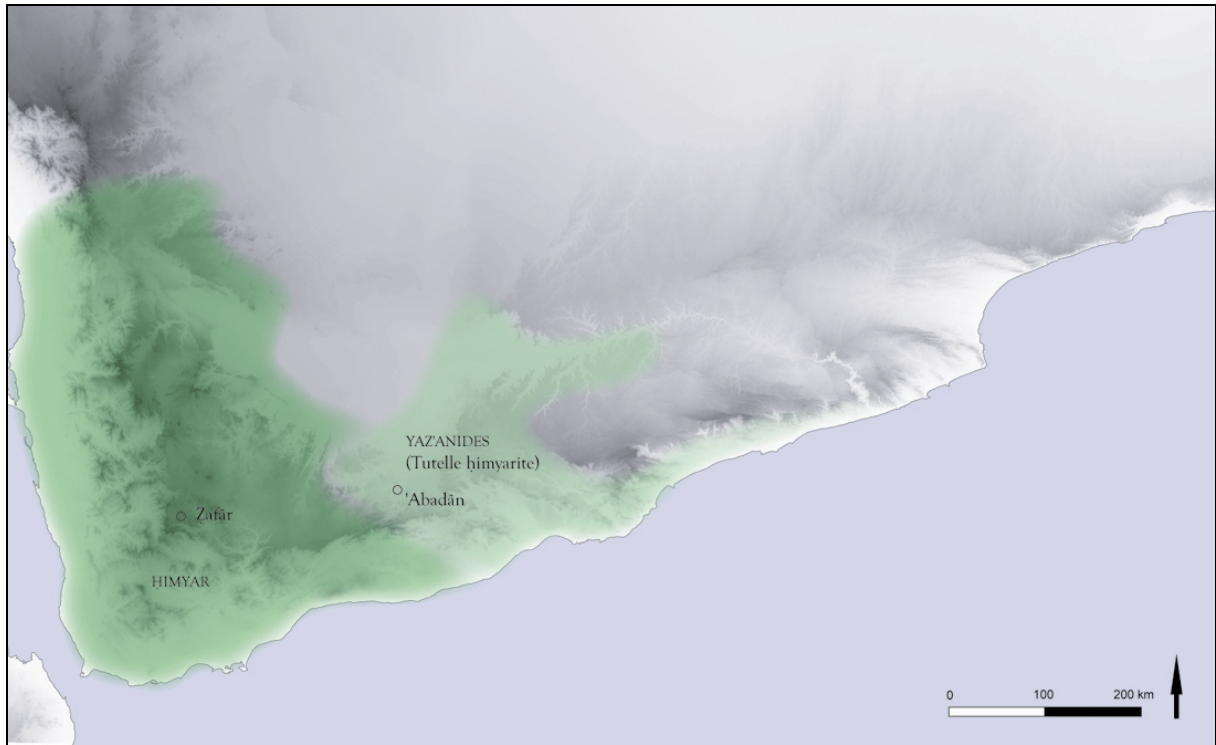


Figure 25 : l'Arabie du Sud aux IV^e-V^e s.

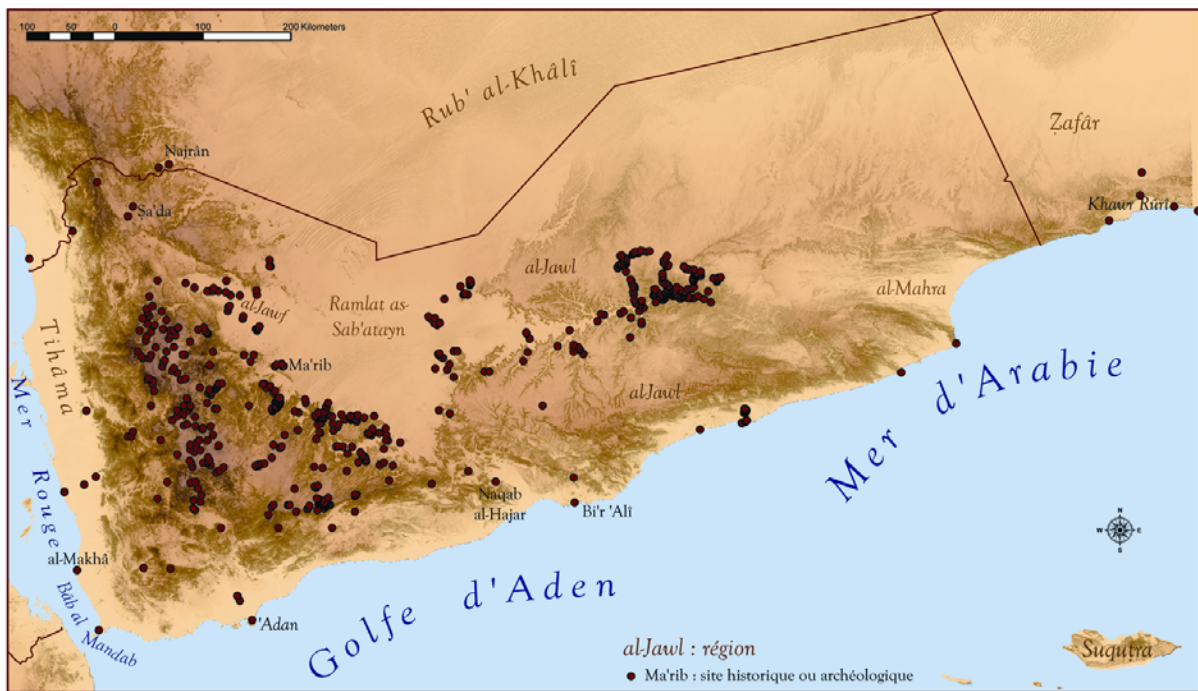


Figure 26 : carte des sites archéologiques sudarabiques publiés ainsi que ceux recensés lors des prospections de la mission française Jawf-Ḥaḍramawt (dir. S. Cleuziou, M.-L. Inizan, M. Mouton), de la mission Qataban (dir. Ch. Robin), de la mission française d'archéologie islamique (dir. A. Rougeulle).

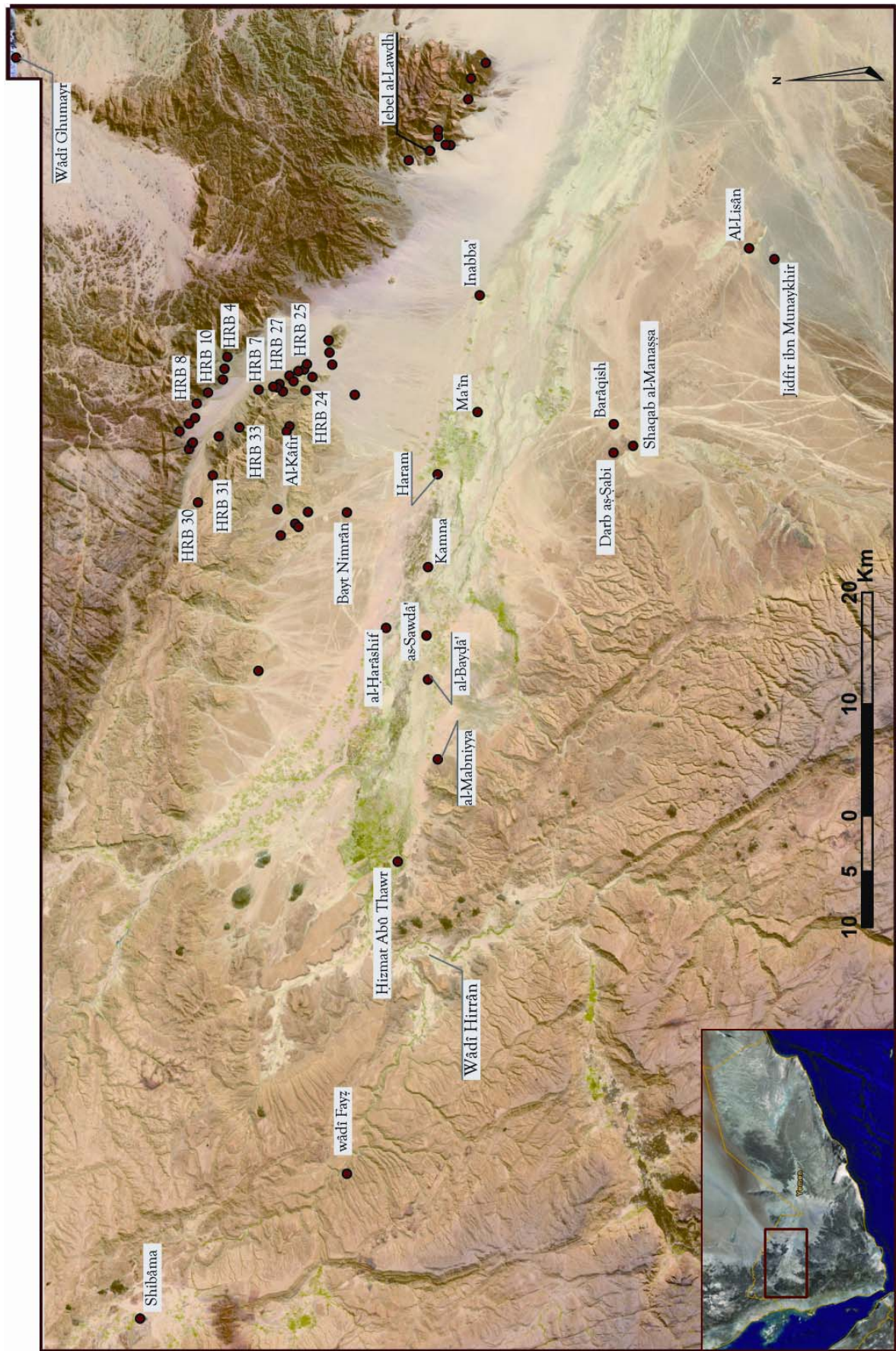


Figure 27 : carte de répartition des sites archéologiques du Jawf.

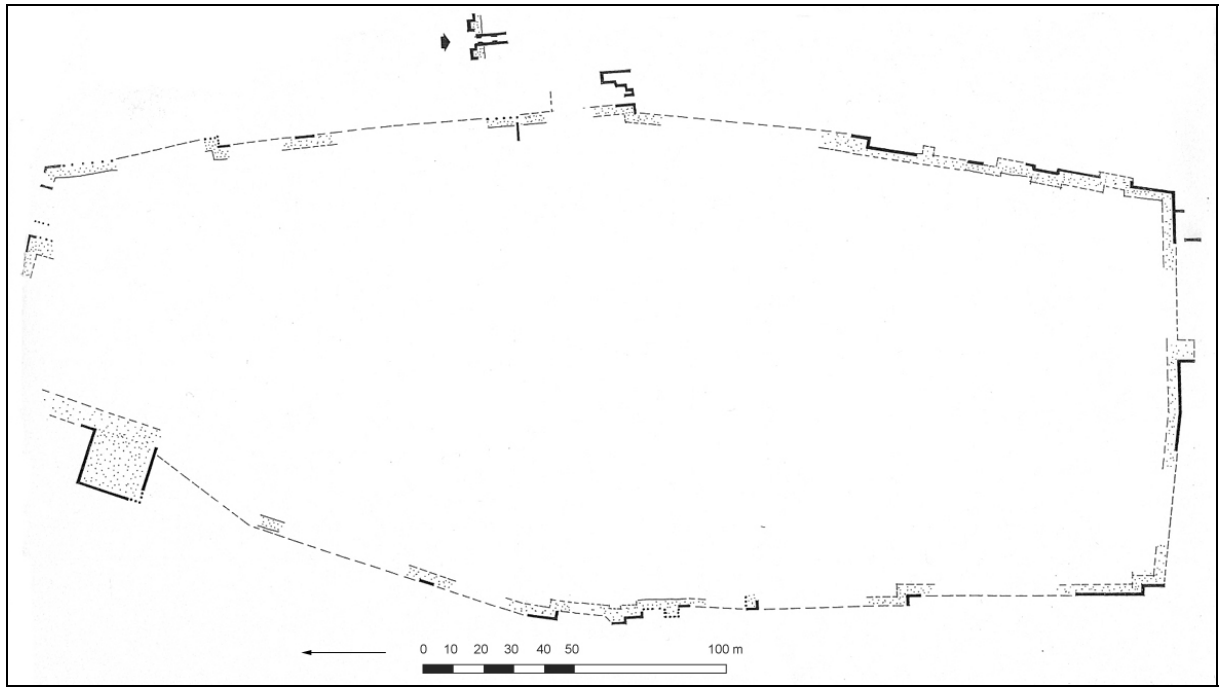


Figure 28 : plan de Kamna (J.-F. Breton, 1985, fig. 9).

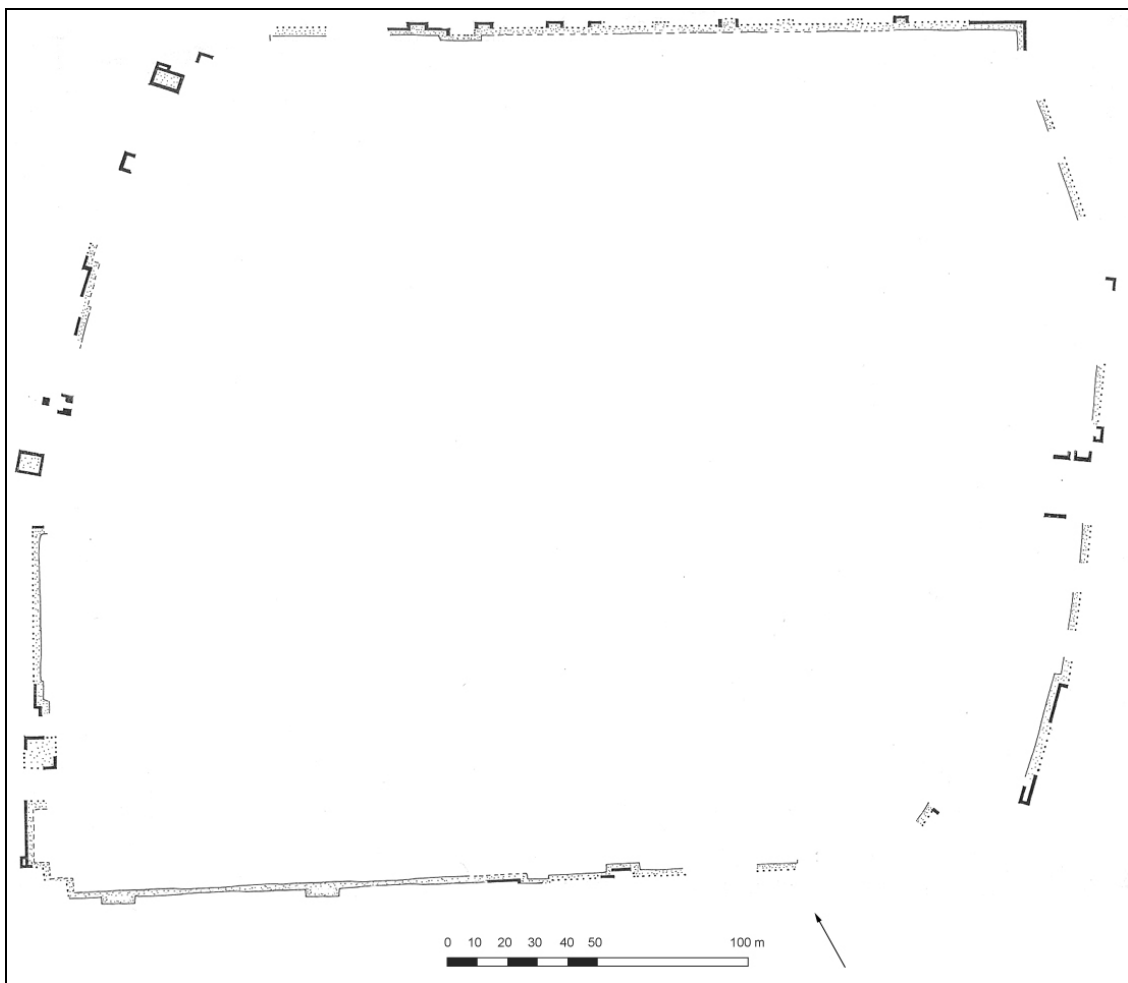


Figure 29 : plan d'as-Sawda' (J.-F. Breton, 1985, fig. 10).

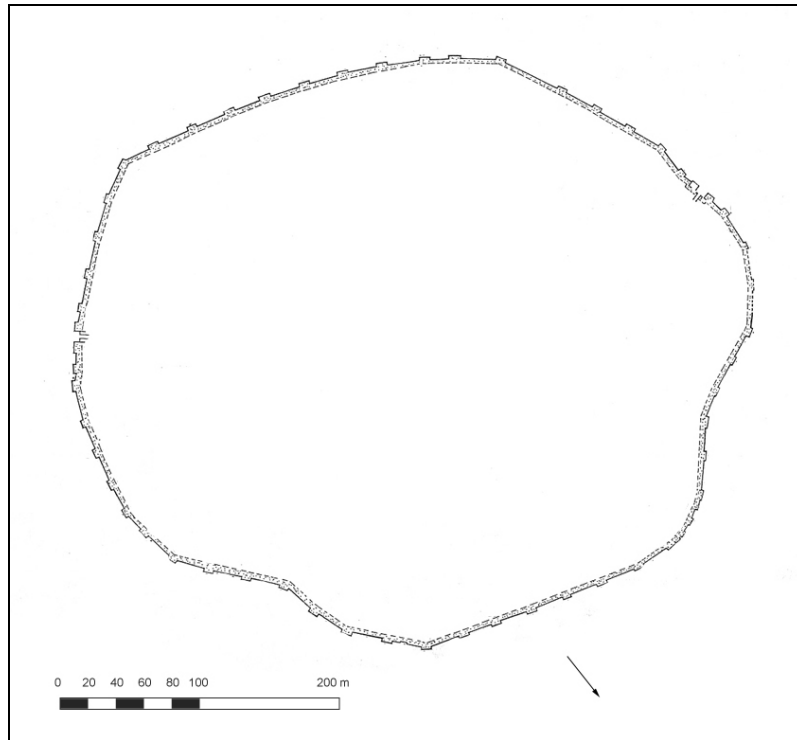


Figure 30 : plan d'al-Baydâ' (J.-F. Breton, 1985, fig. 8).

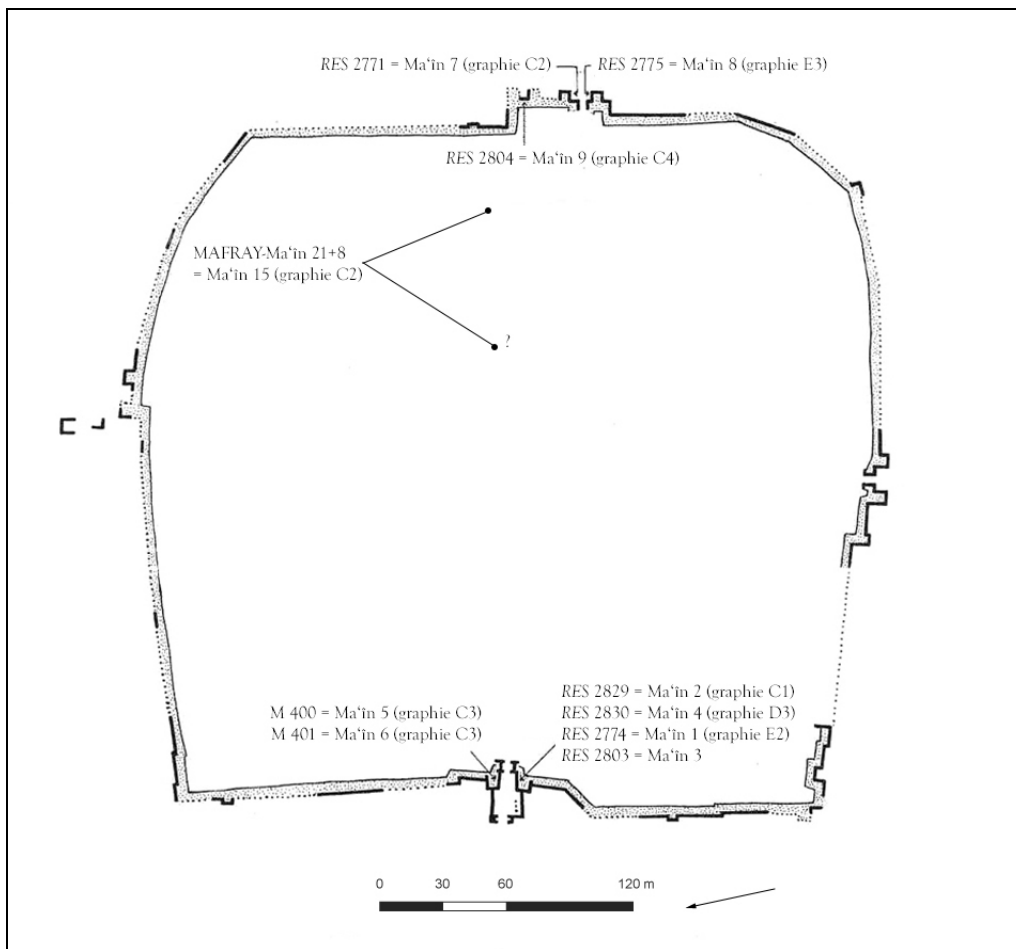


Figure 31 : plan de Ma'in (d'après J.-F. Breton, 1994 a, fig. 41, complétée avec F. Bron, 1998).



Figure 32 : plan de Barâqish (J.-F. Breton, 1994 a, fig. 42).

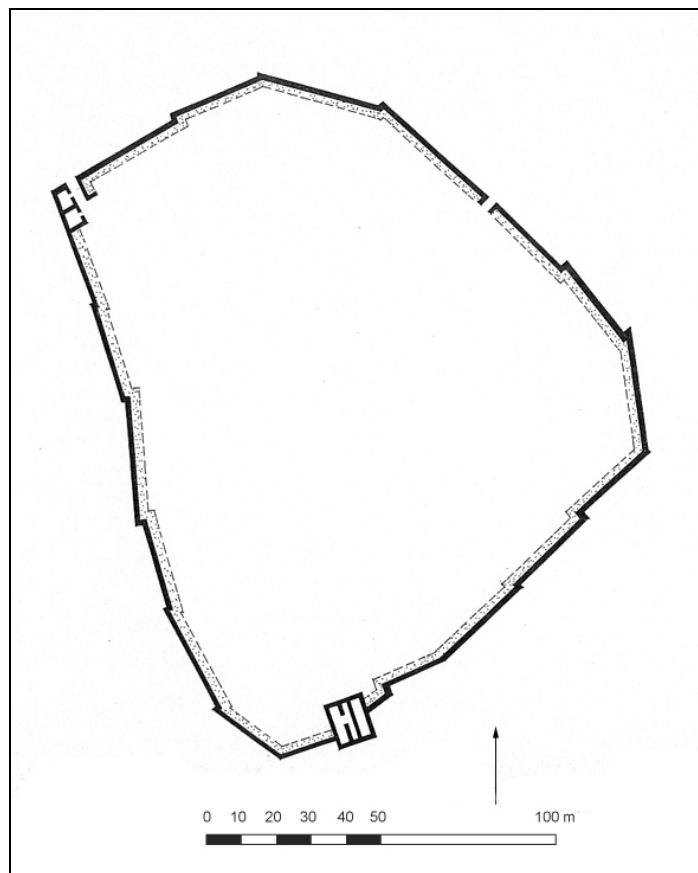
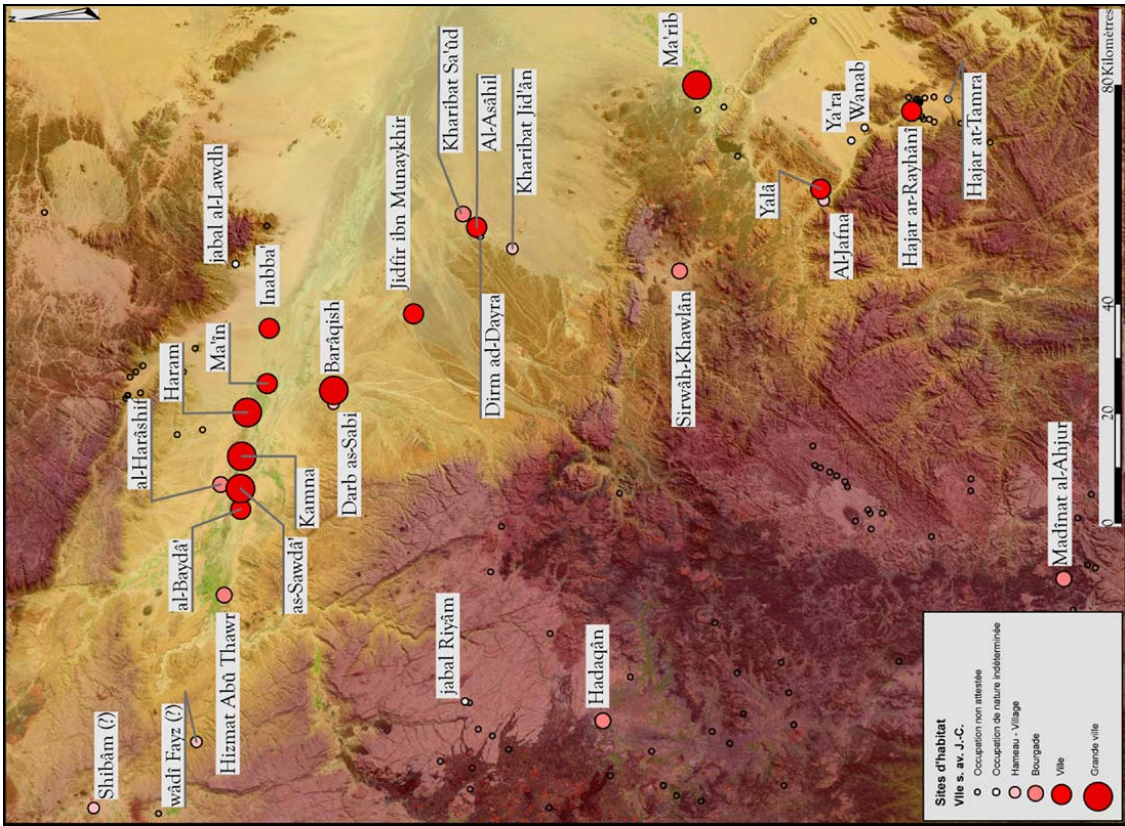
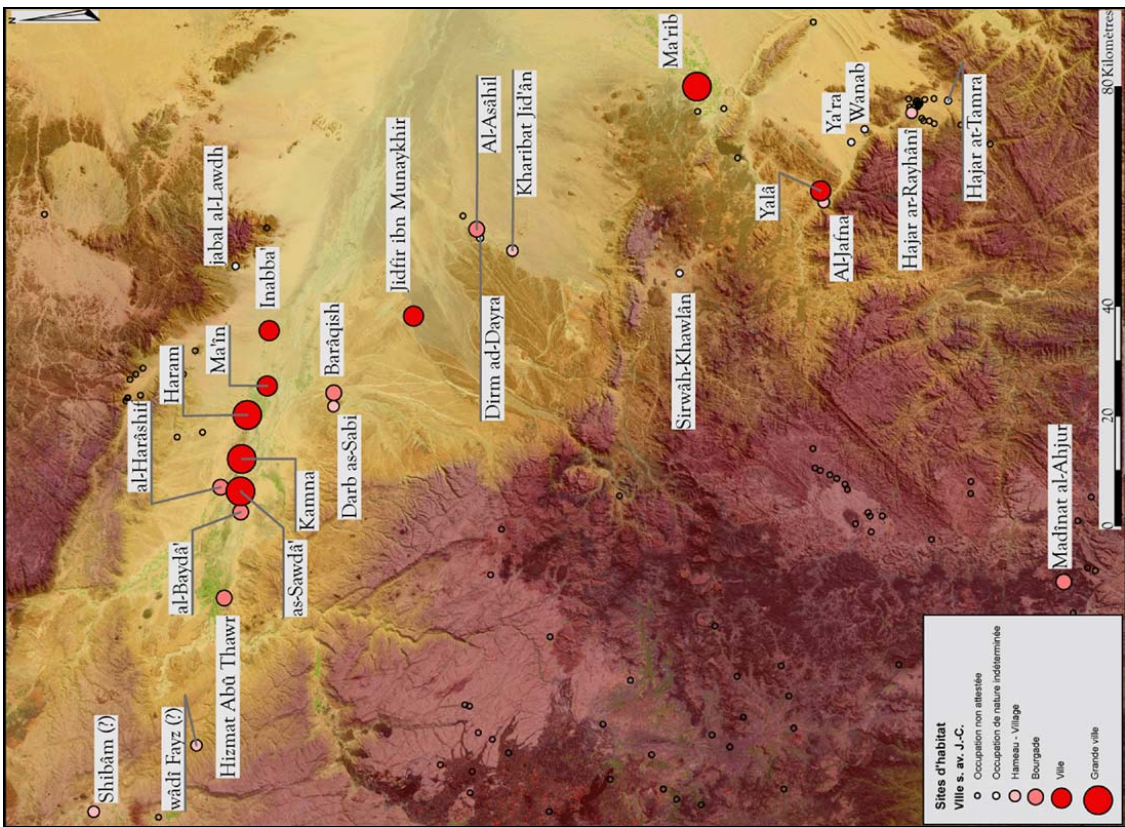


Figure 33 : plan de Jidfir Ibn Munaykhir (J.-F. Breton, 1985, fig. 6).



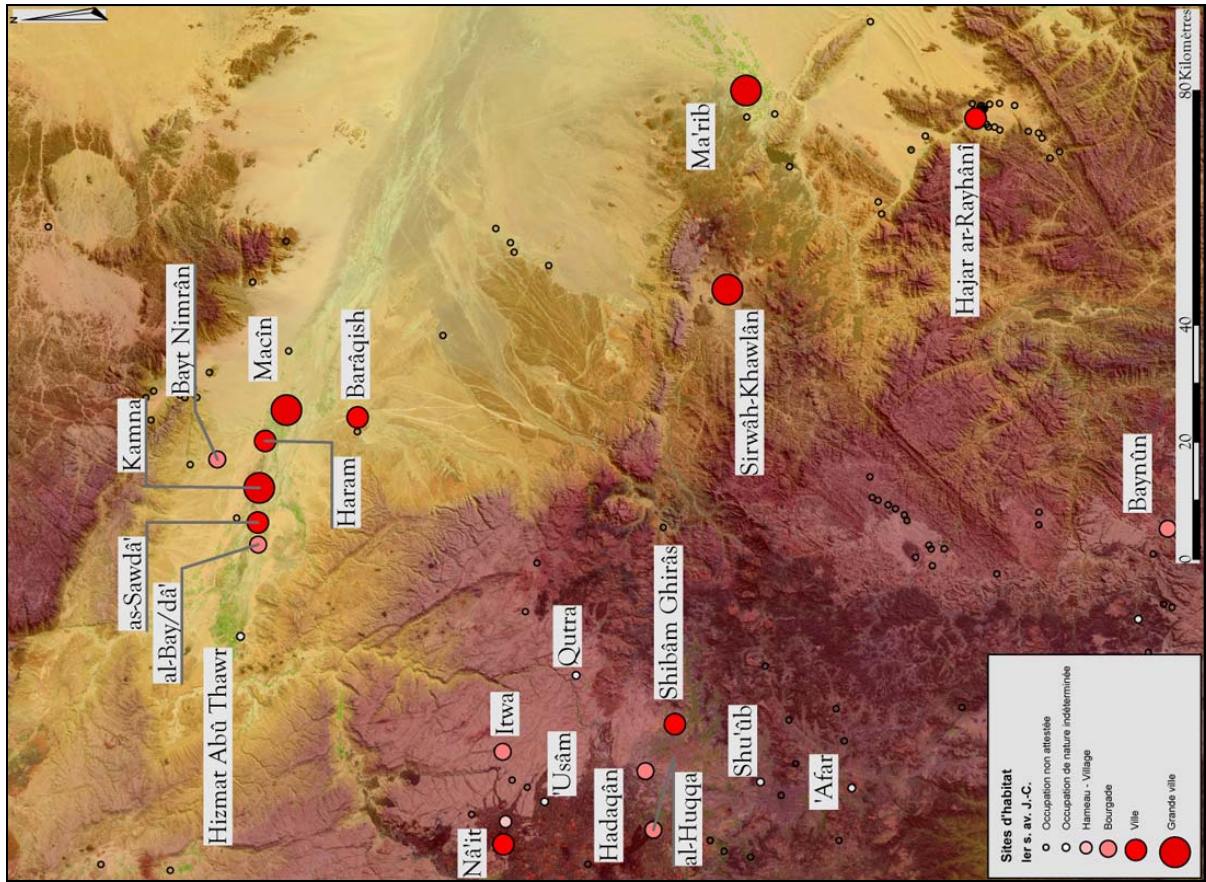
B



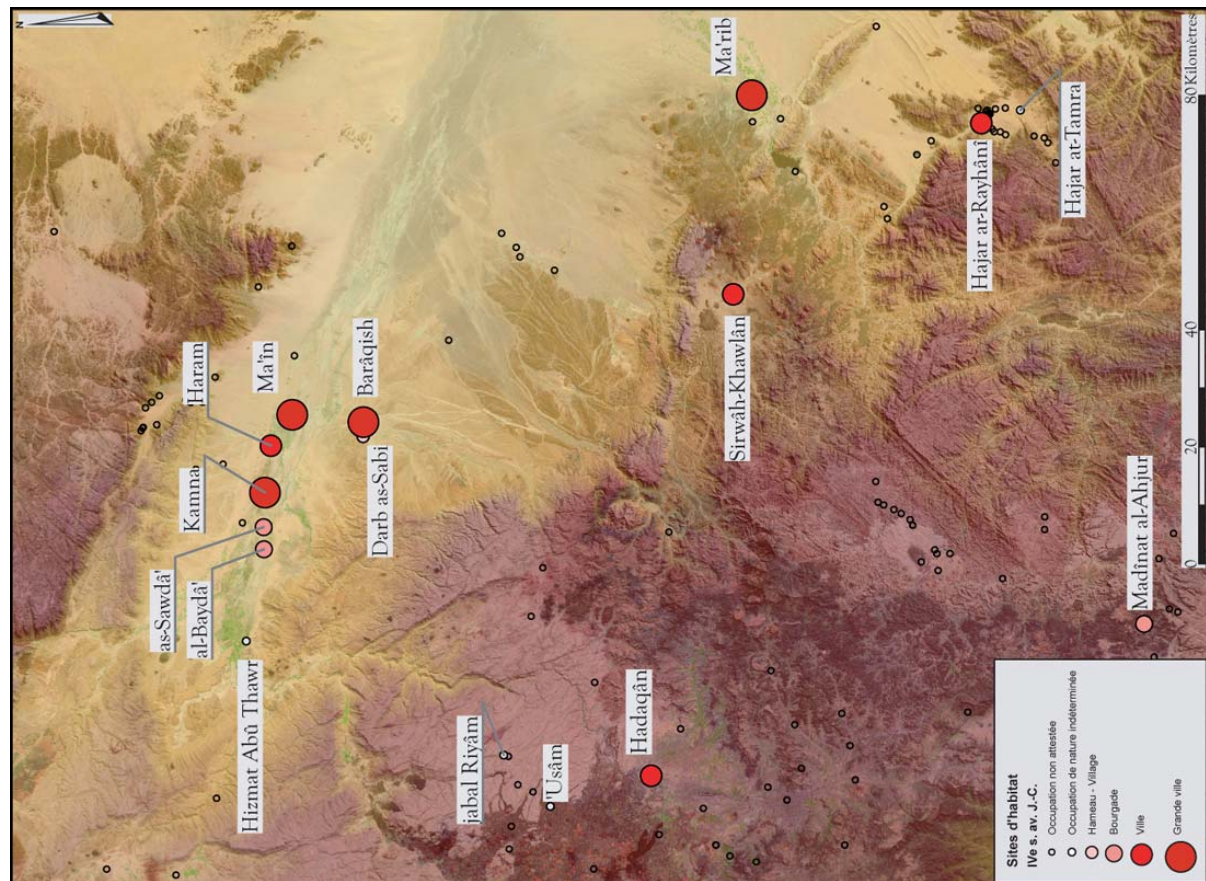
A

Figure 34 A-G : cartes de l'évolution du réseau urbain dans la région du Jawf et le royaume de Saba' (Basses-Terres).

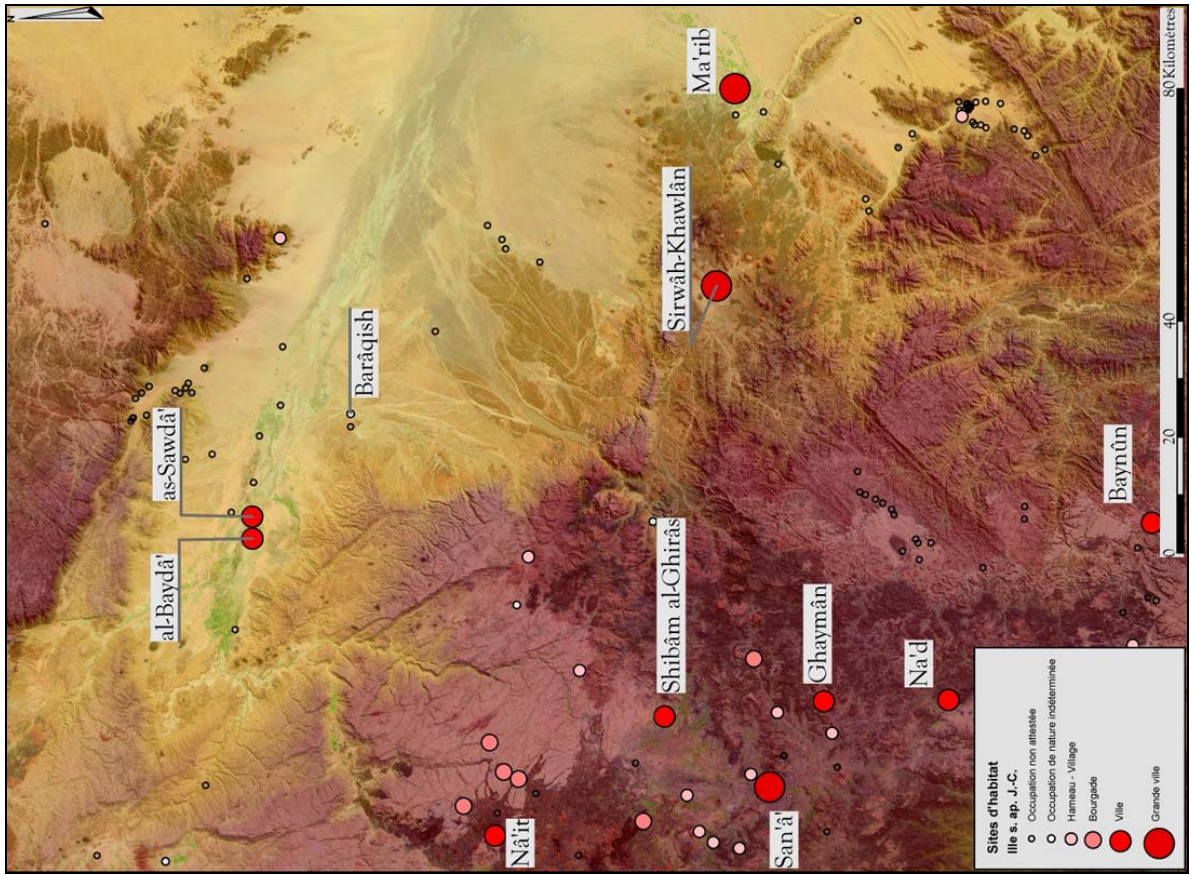
A : VIII^e s. av. J.-C. - B : VII^e s. av. J.-C. - C : IV^e s. av. J.-C. - D : I^{er} s. av. J.-C. - E : I^{er} s. ap. J.-C. - F : III^e s. ap. J.-C. - G : V^e s. ap. J.-C.



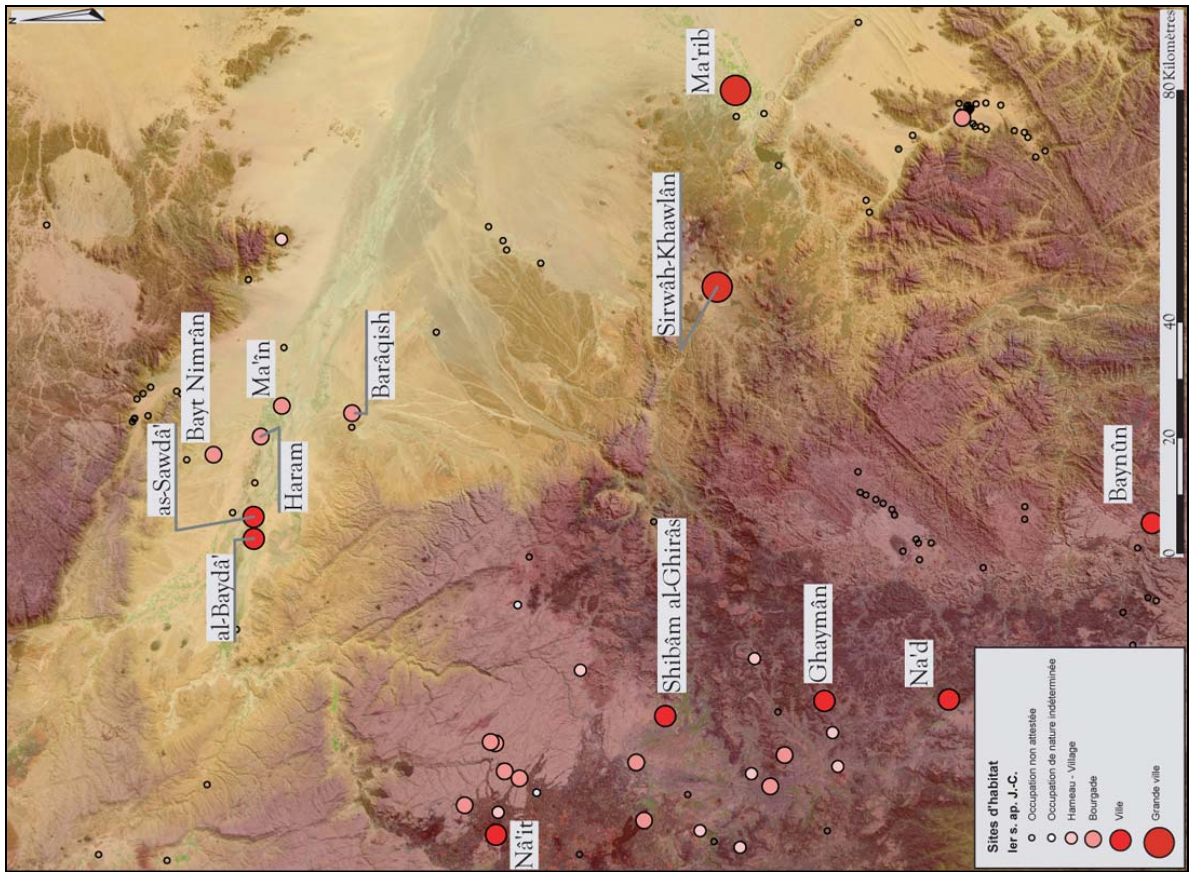
D



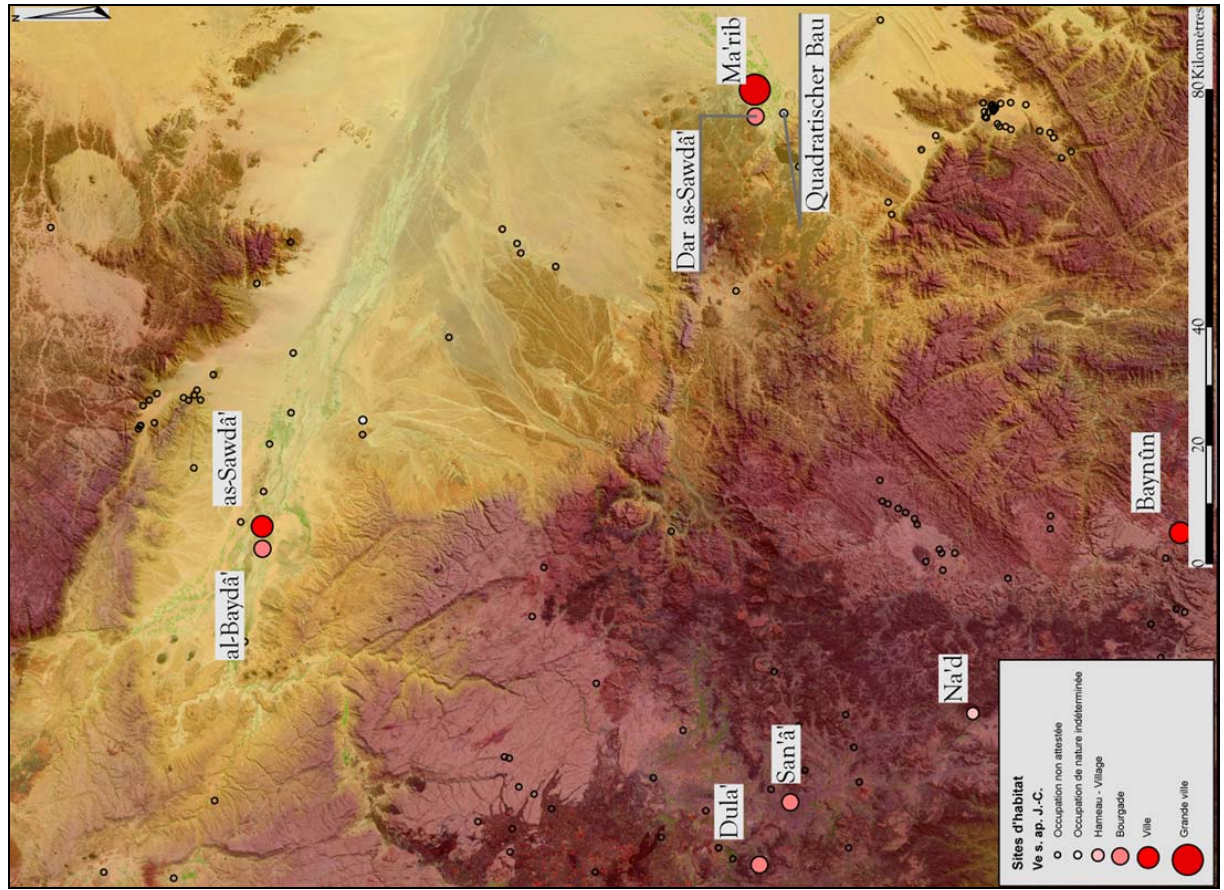
C



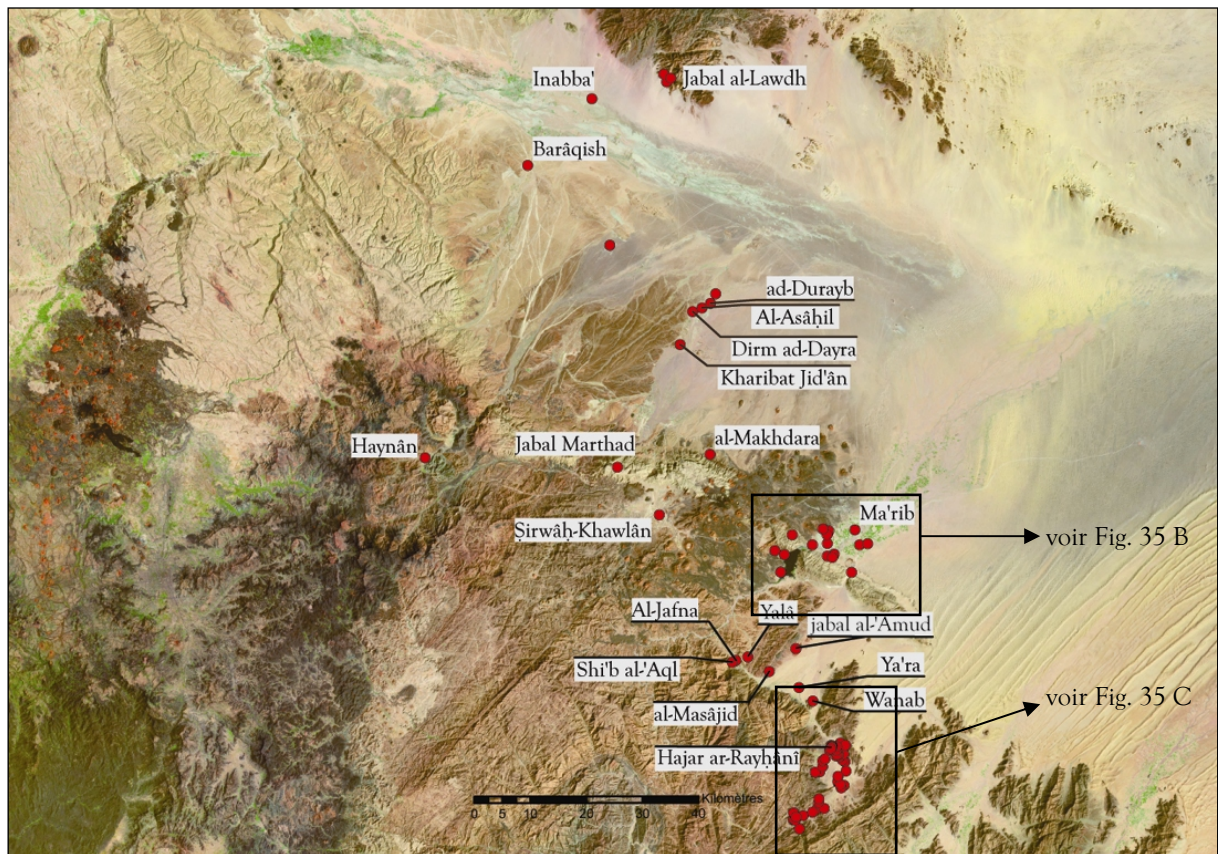
F



E

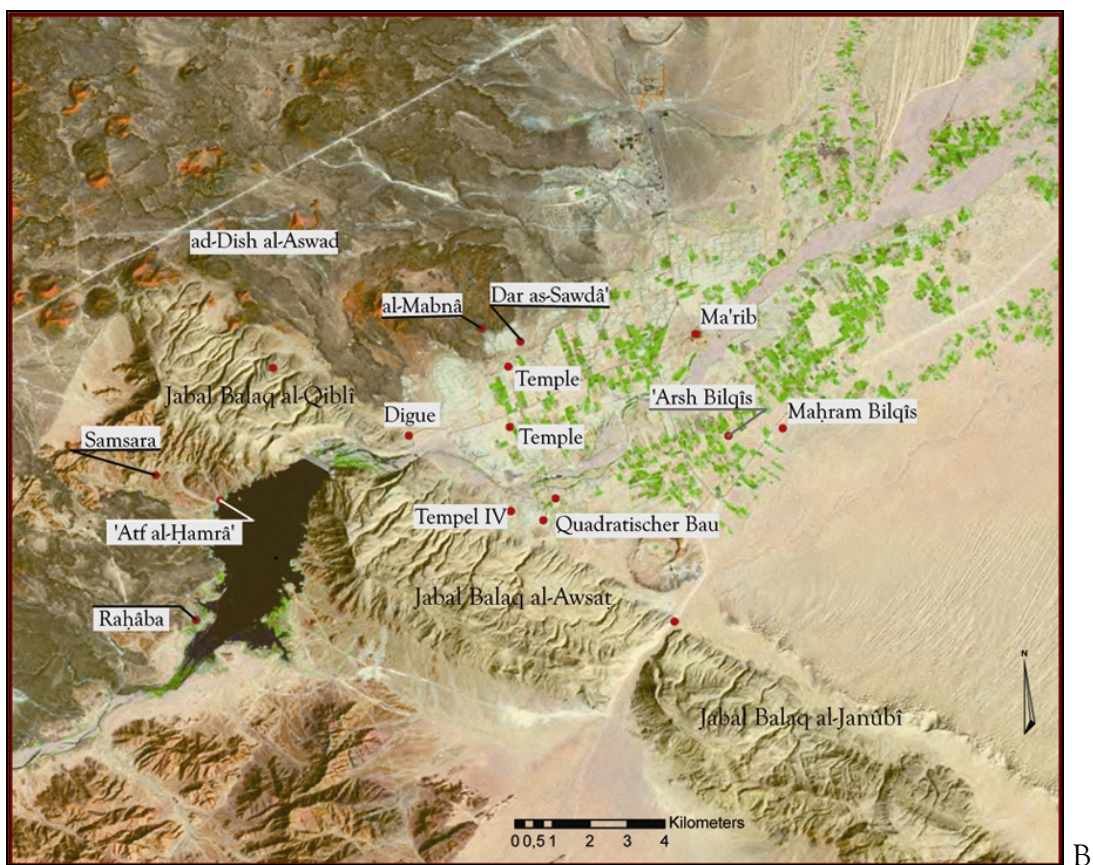


G

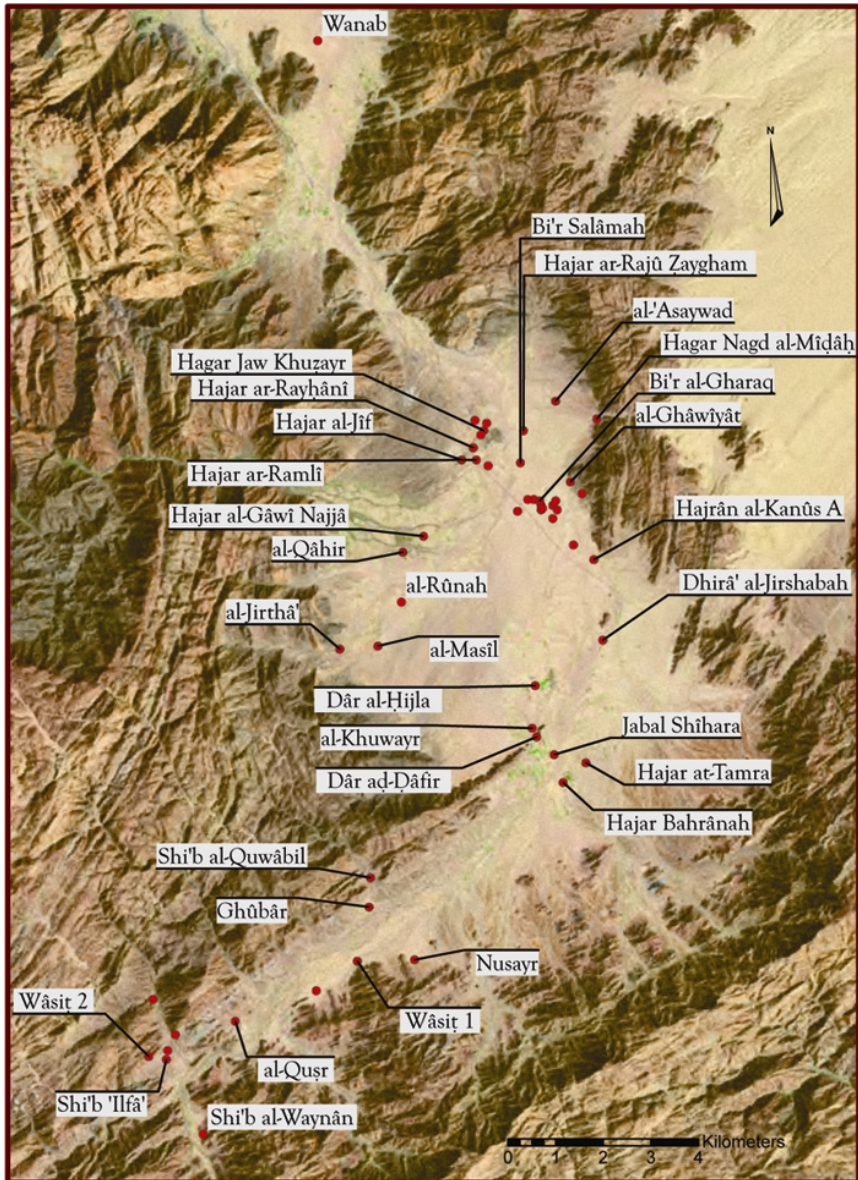


A

Figure 35 A-C : cartes de répartition des sites archéologiques des Basses-Terres sabéennes.
 A : Carte de l'ensemble des Basses-Terres sabéennes. - B : Détail de l'oasis de Ma'rib. - C : Détail du wâdî al-Jûba.



B



C

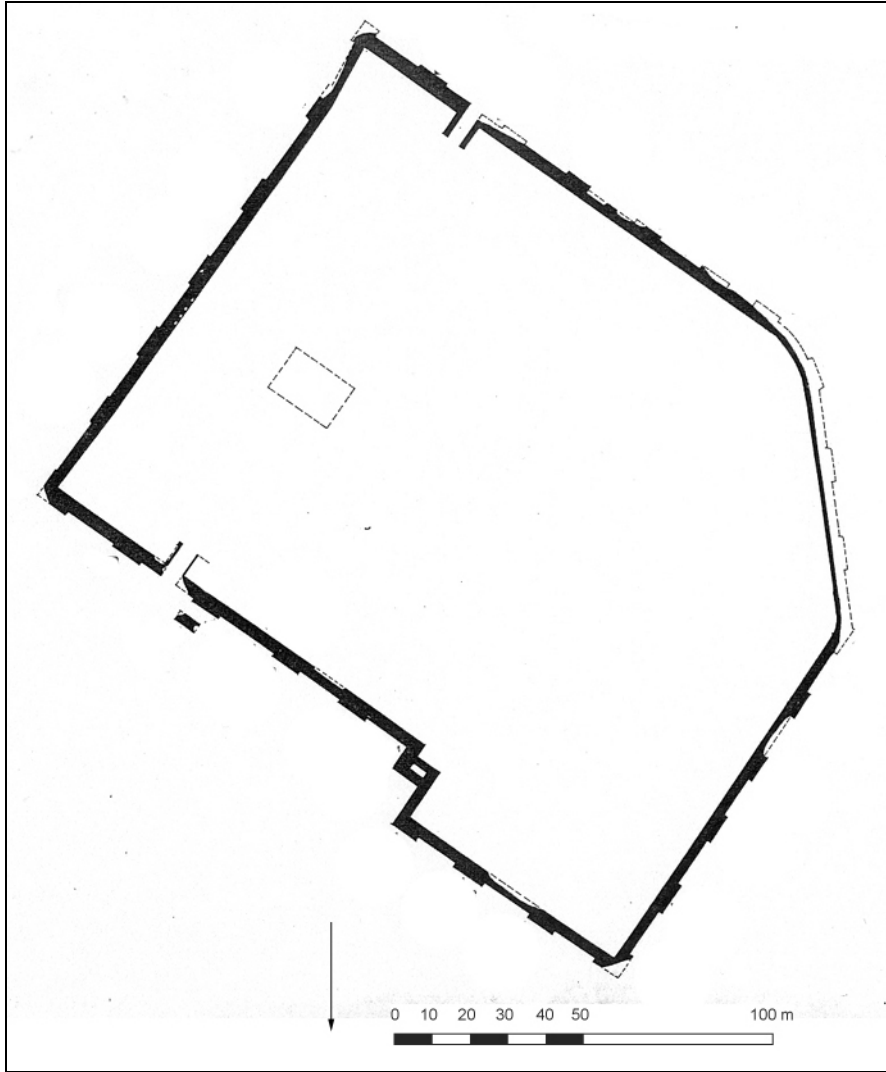


Figure 36 : plan de Kharibat Sa'ud (J.-F. Breton, 1985, fig. 4).

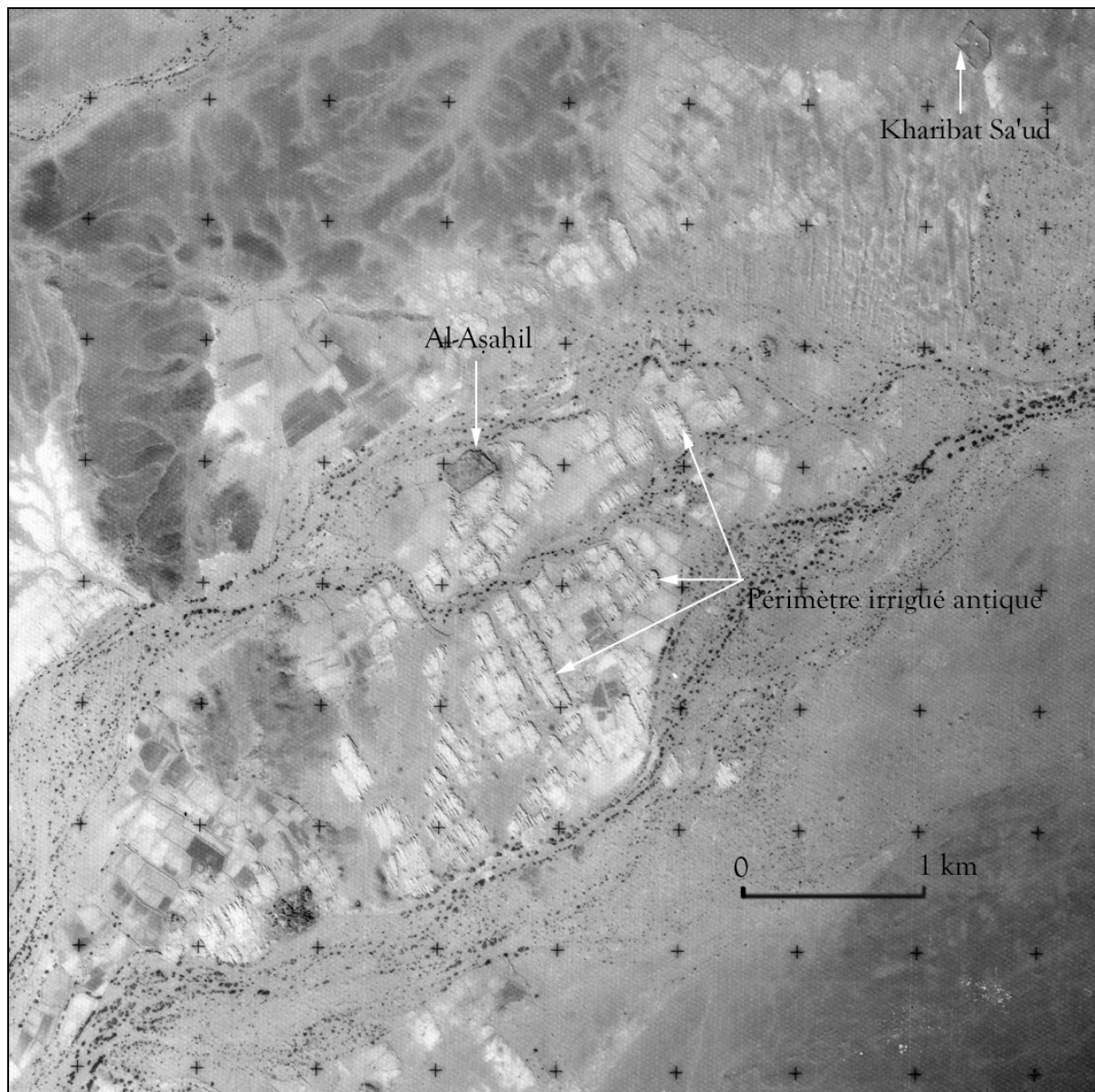


Figure 37 : périmètre irrigué du wâdî Raghwân (d'après une vue appartenant au fonds du CEFAS).

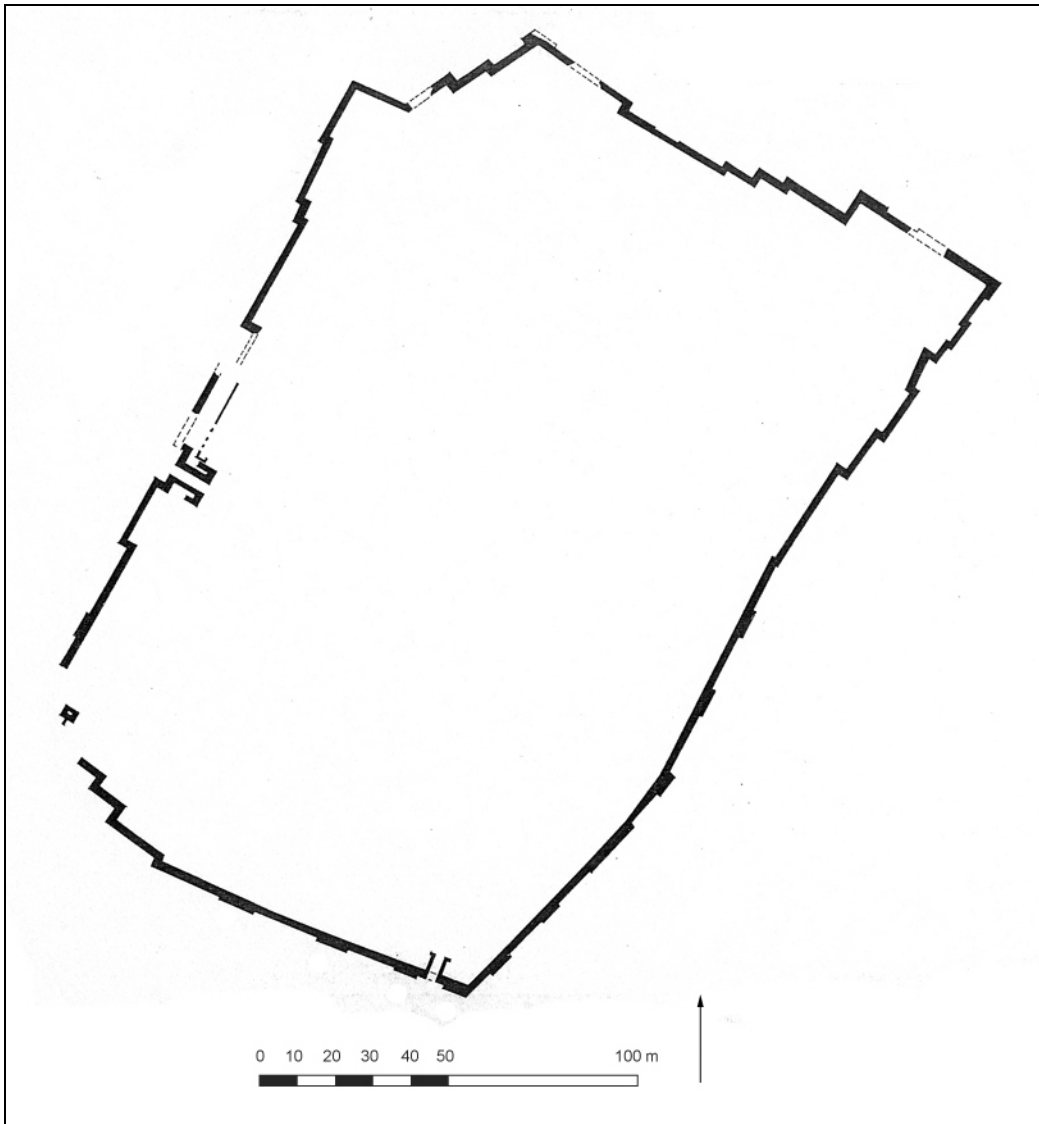
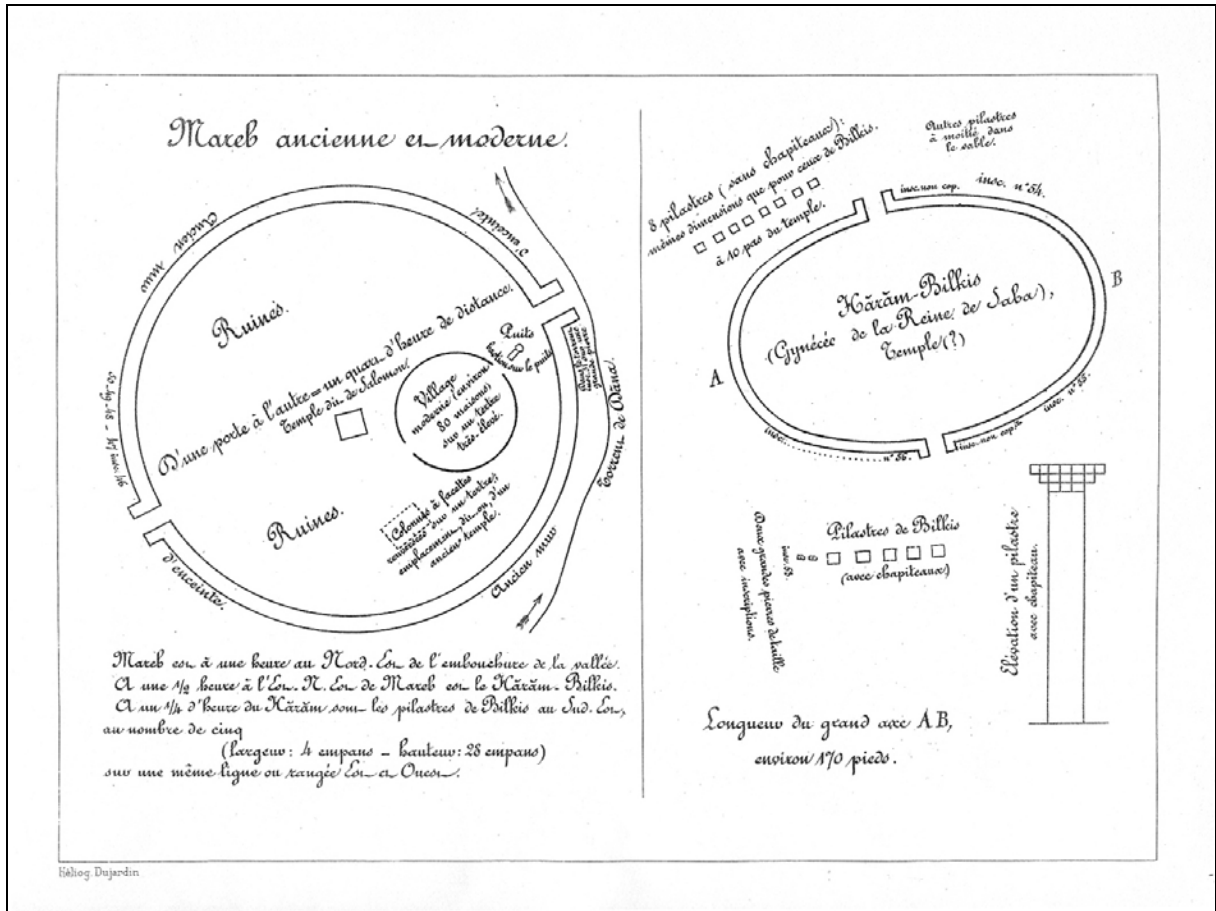
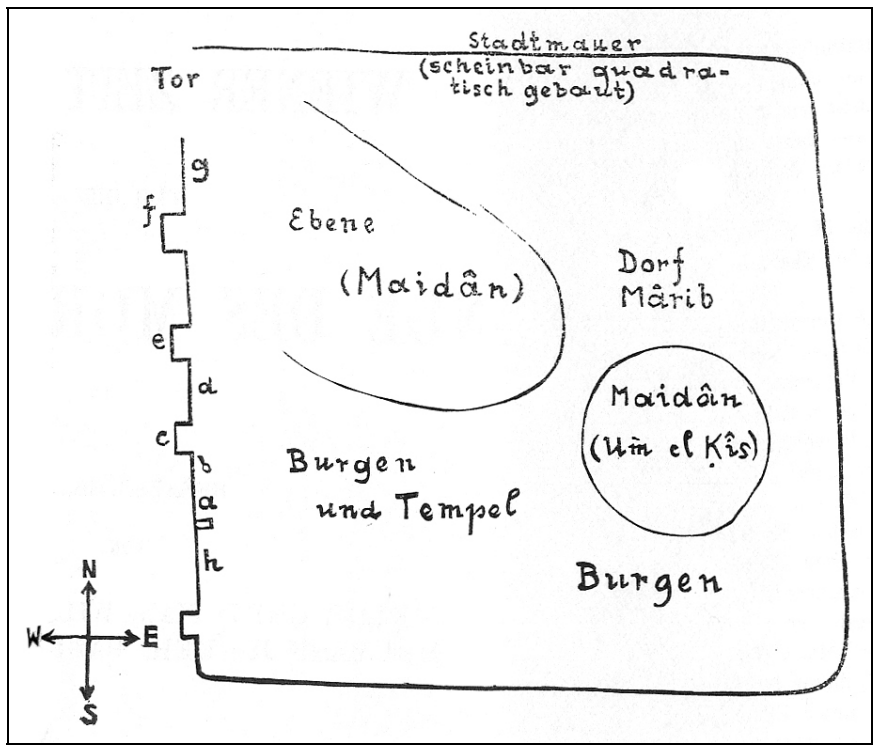


Figure 38 : plan d'al-Asâhîl (J.-F. Breton, 1985, fig. 5).



A



B

Figure 39 : plans de Ma'rib par Th. Arnaud (A) et E. Glaser (B) (M. Höfner, 1938, fig. 1).



Figure 40 : photographie aérienne du site de Ma'rib (J.-F. Breton, 1994 a, pl. 3).

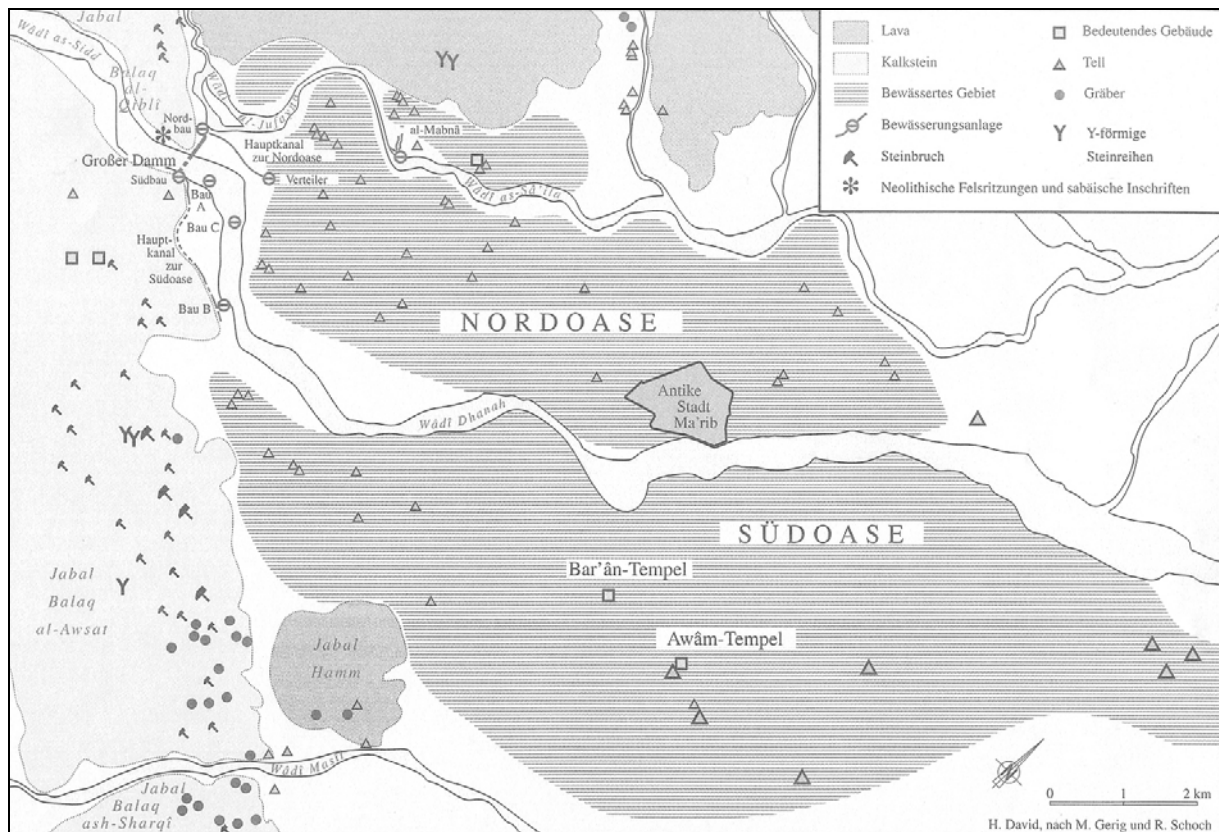


Figure 41 : oasis de Ma'rib (H. Hitgen, 2005, p. 18).

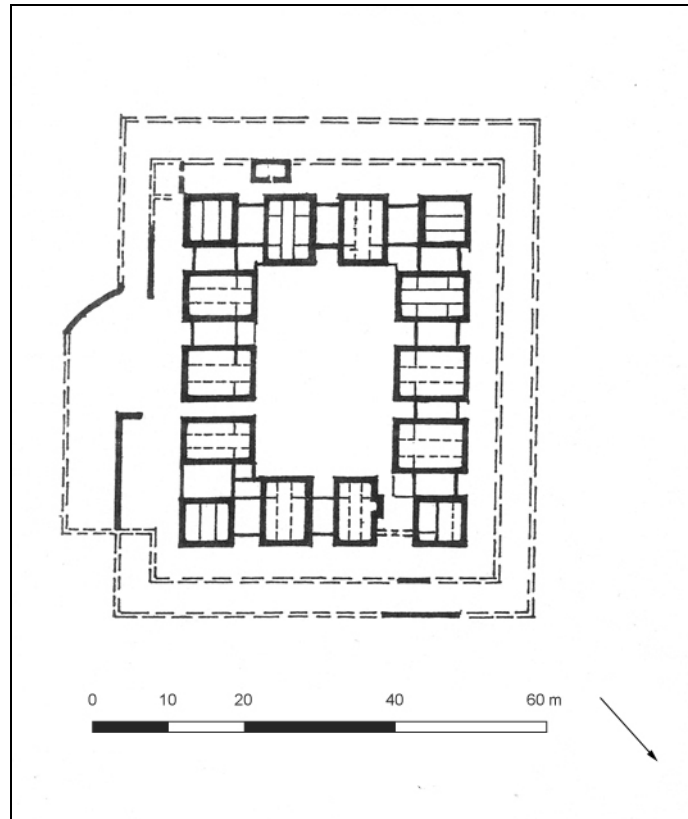


Figure 42 : plan de Dâr as-Sawdá' (J.-F. Breton, 1991 a, fig. 3).

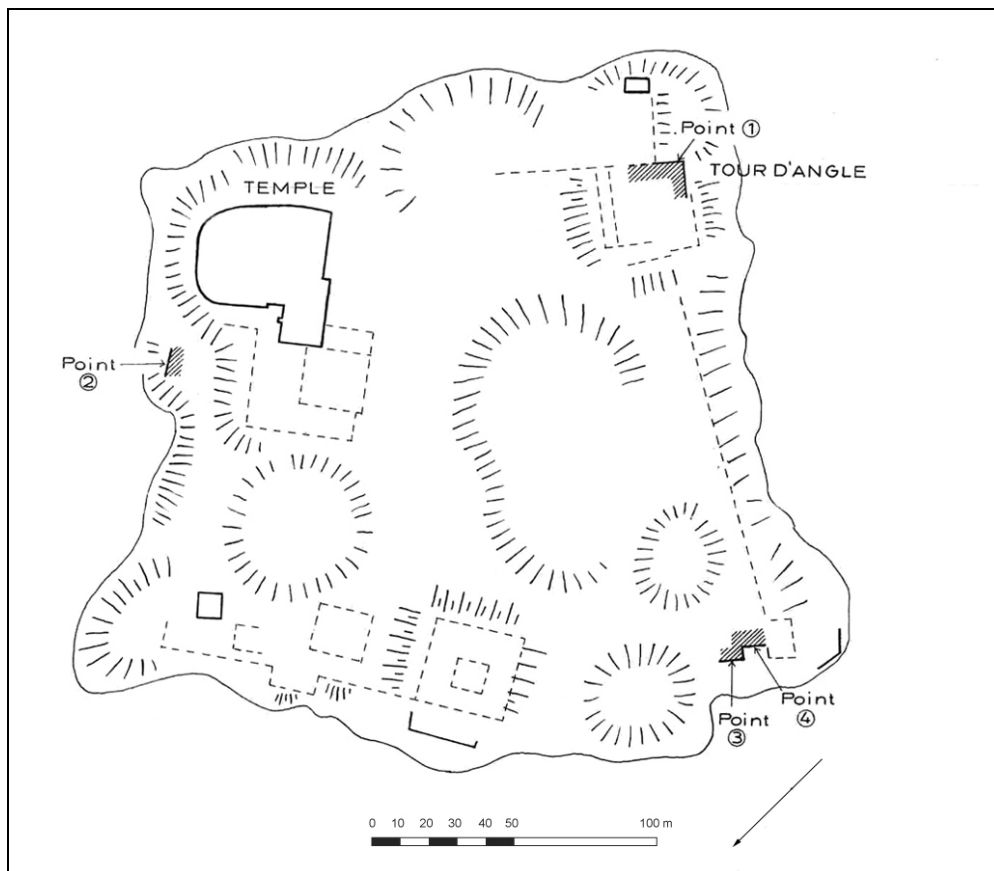


Figure 43 : plan de Şirwâh-Khawlân (J.-F. Breton, 1994 a, fig. 37).

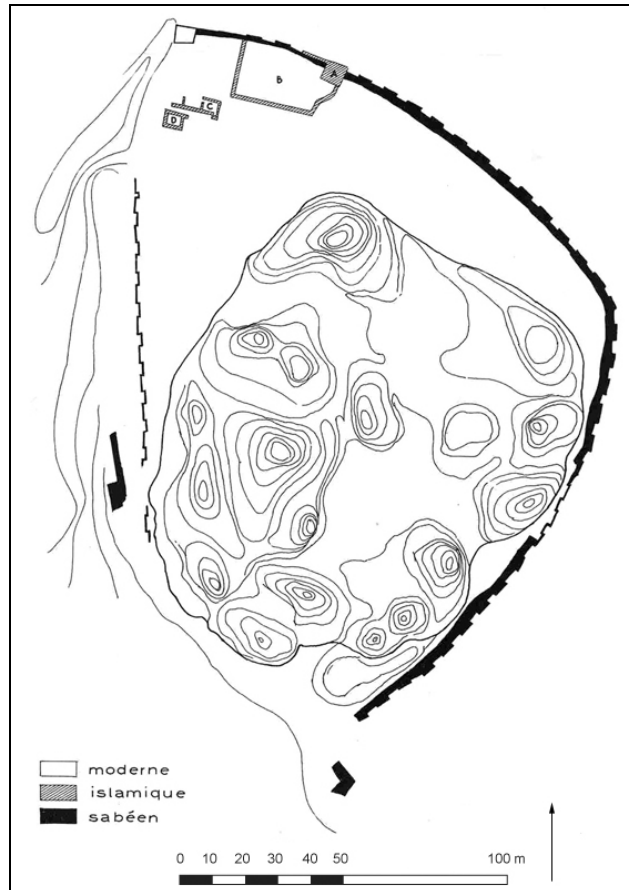


Figure 44 : plan de Yalâ (J.-F. Breton, 1994 a, 35).

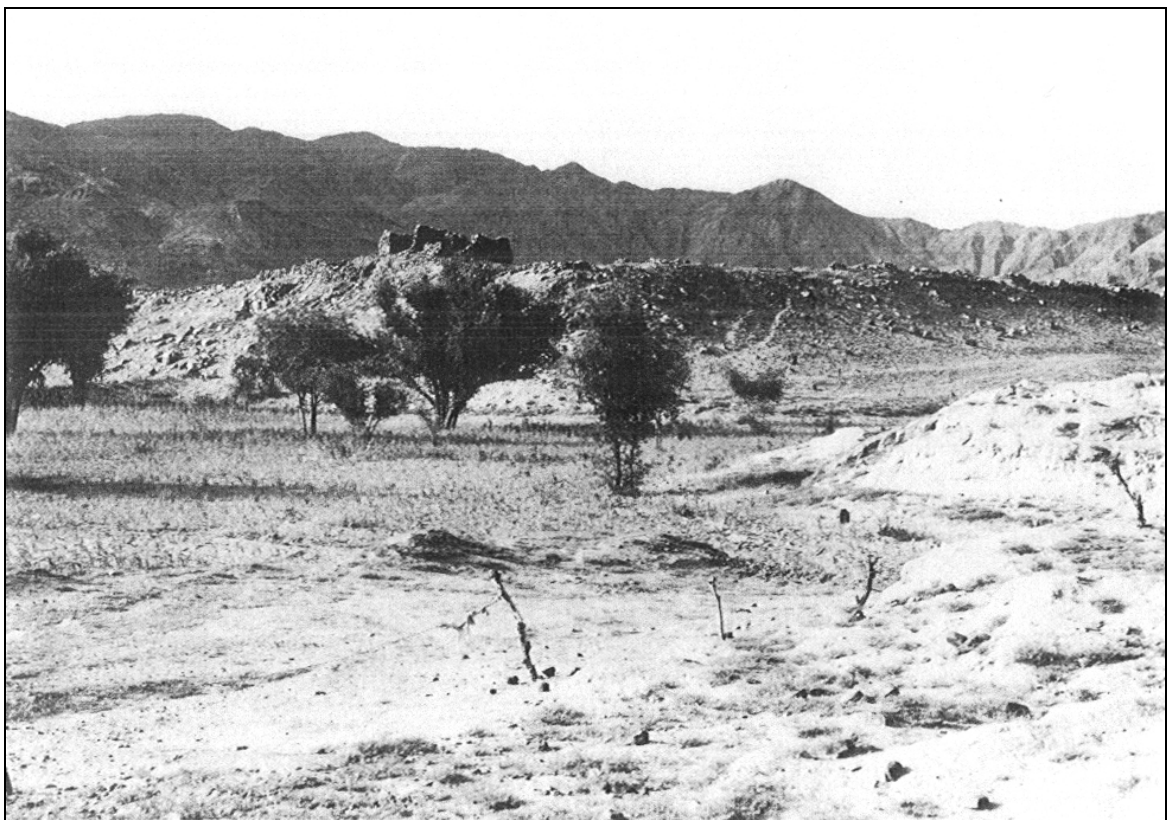


Figure 45 : vue de Hajar ar-Rayhâni (W. D. Glanzman & A. O. Ghaleb, 1987, pl. 1).

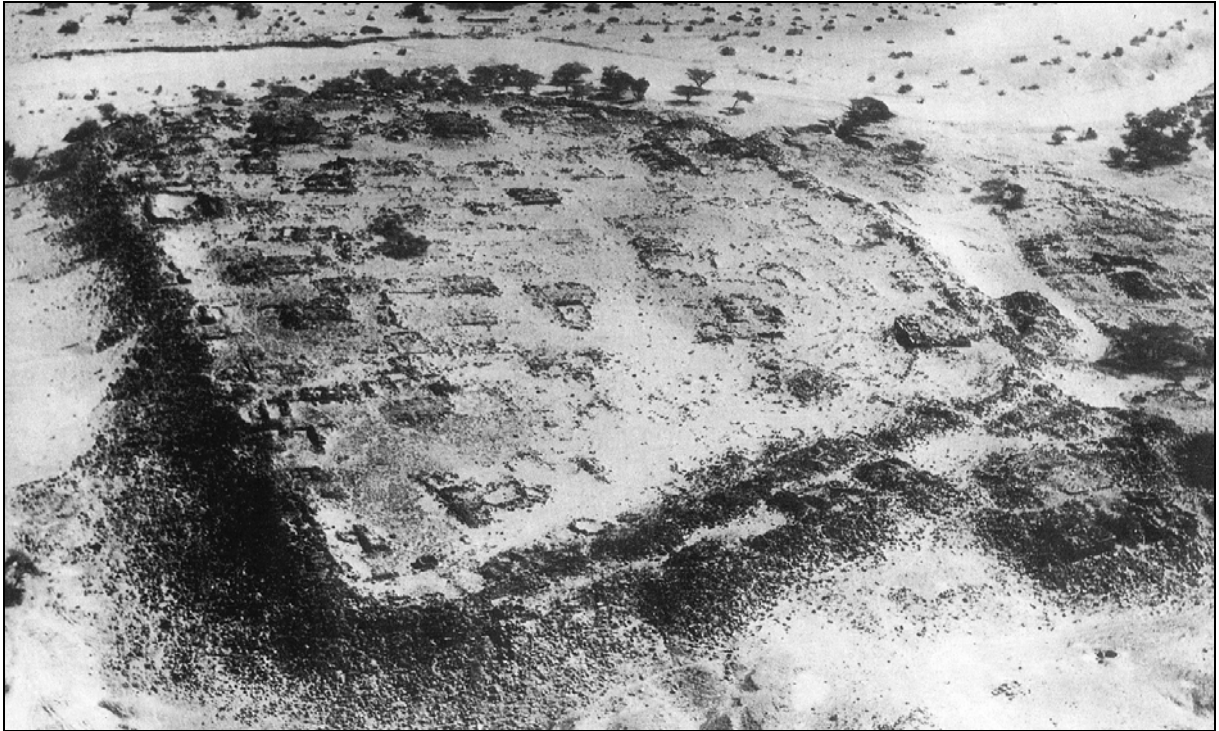


Figure 47 : vue aérienne du site de Ḥinû az-Zurayr (D. B. Doe, 1971, fig. 114).



Figure 48 : plan de Ḥinû az-Zurayr (J.-F. Breton, 1985, fig. 56).



Figure 49 : phases d'extension supposées et restitution de la voirie de Hînu az-Zurayr (d'après J.-F. Breton, 1985, fig. 56).

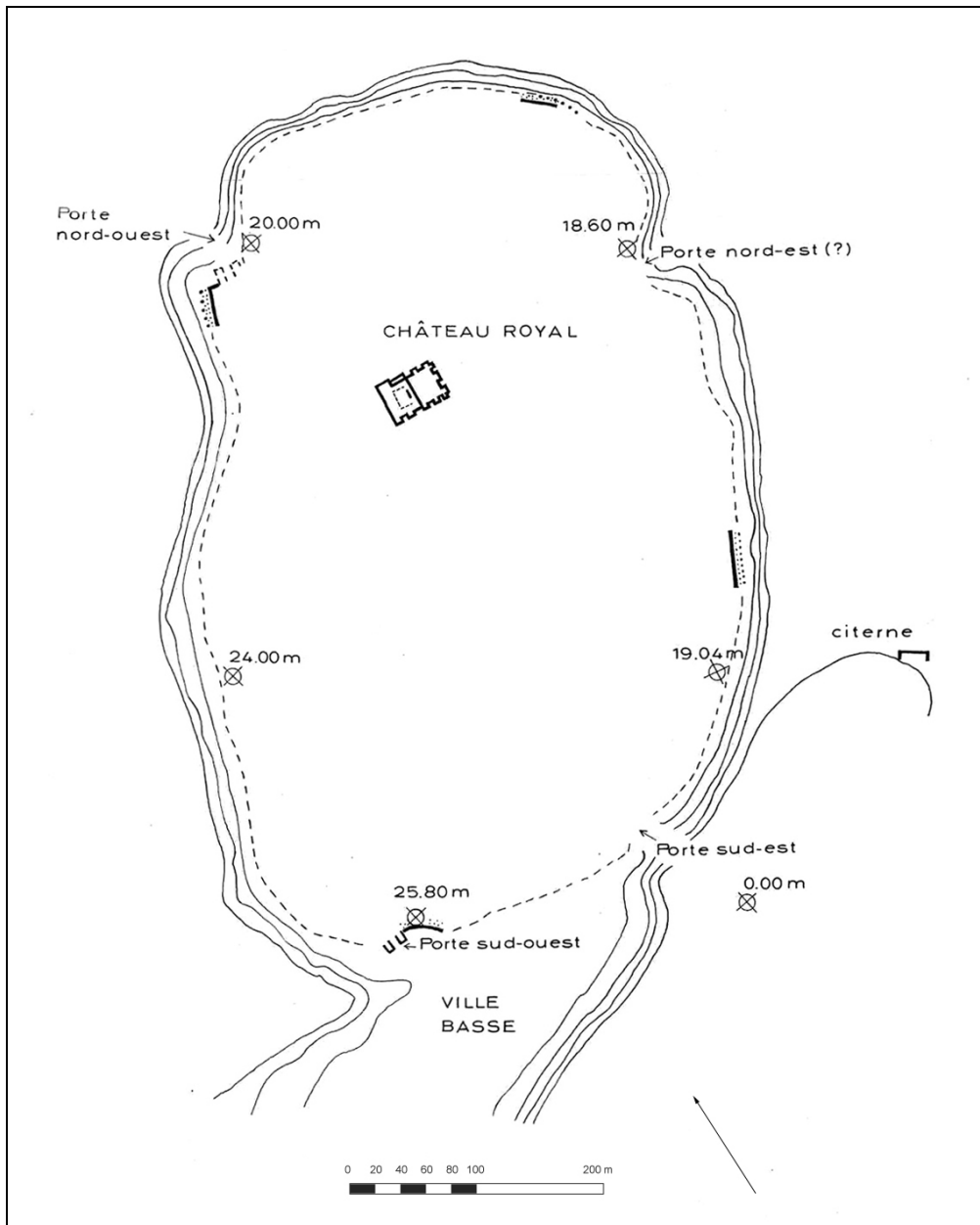


Figure 50 : plan de Hajar Kuḥlân (J.-F. Breton, 1994 a, fig. 43).

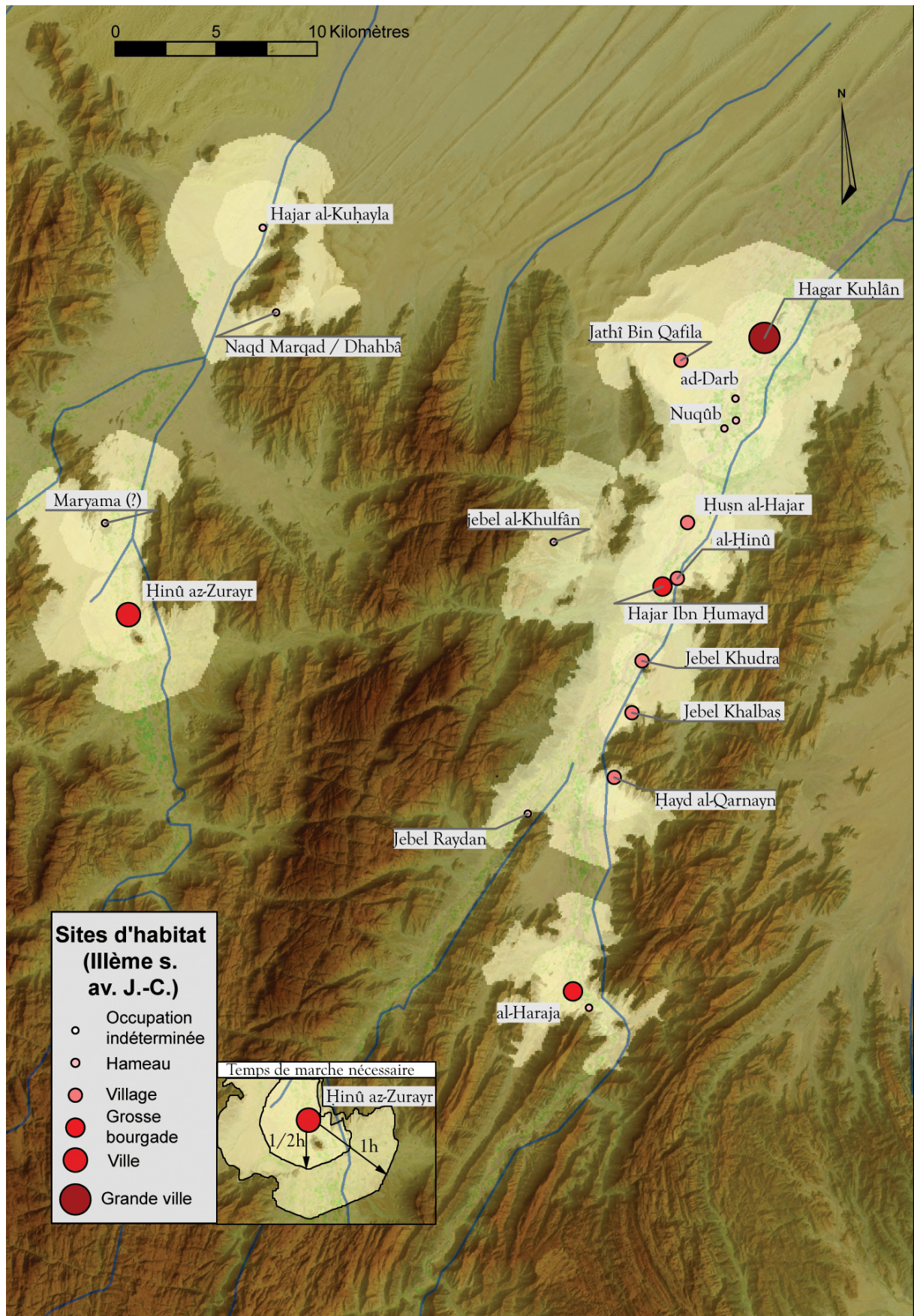


Figure 51 : carte des zones d'accessibilité depuis les sites d'habitat du III^e s. av. J.-C. dans le wādī Bayhān.

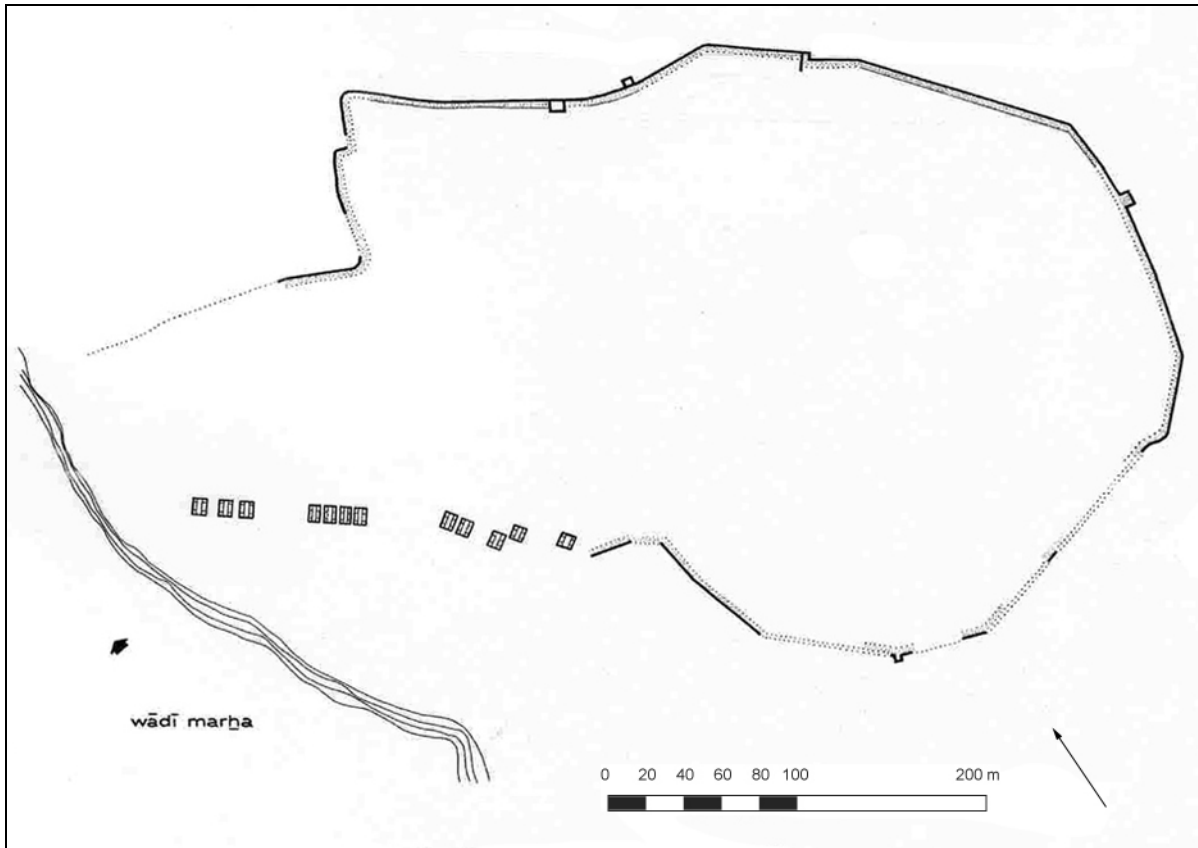


Figure 52 : plan de Hajar Yahirr (J.-F. Breton, 1994 a, fig. 4).

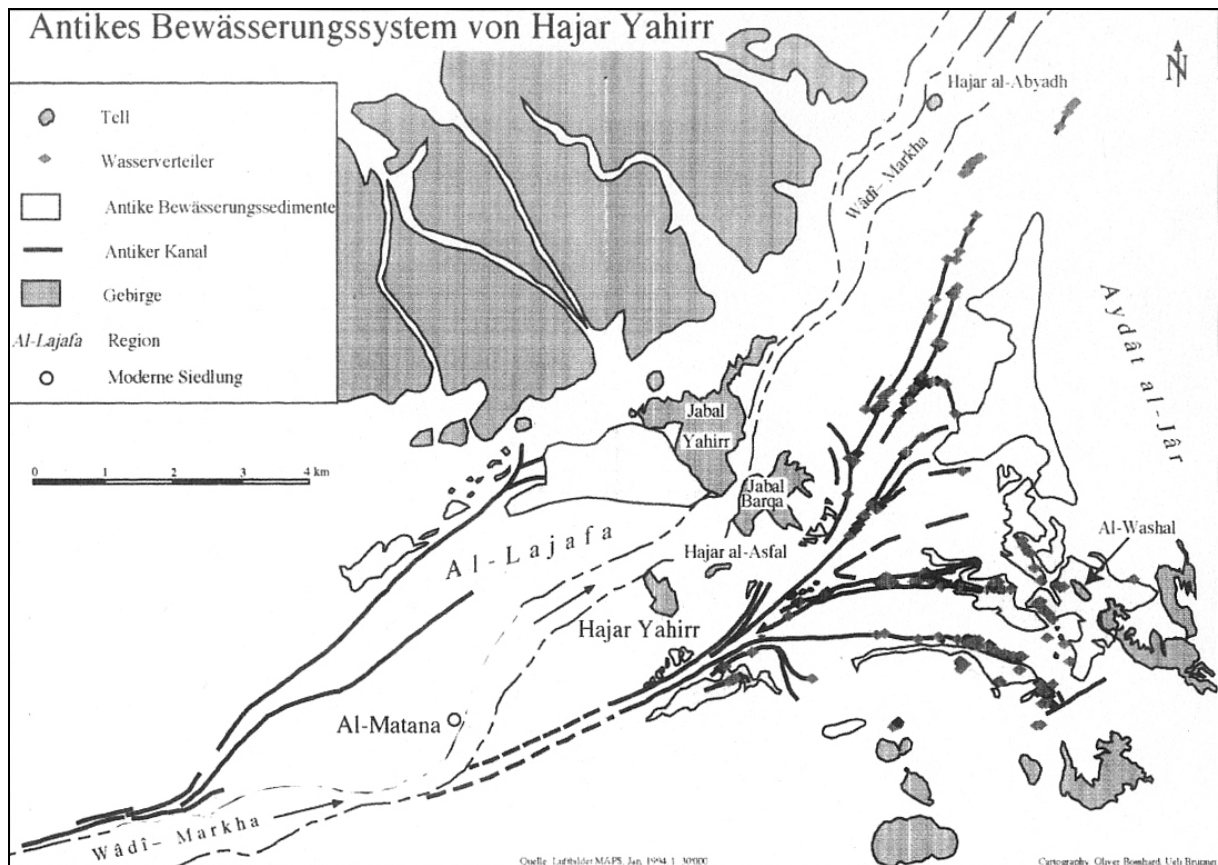


Figure 53 : périmètre irrigué de Hajar Yahirr (U. Brunner, 1999 a, p. 201).

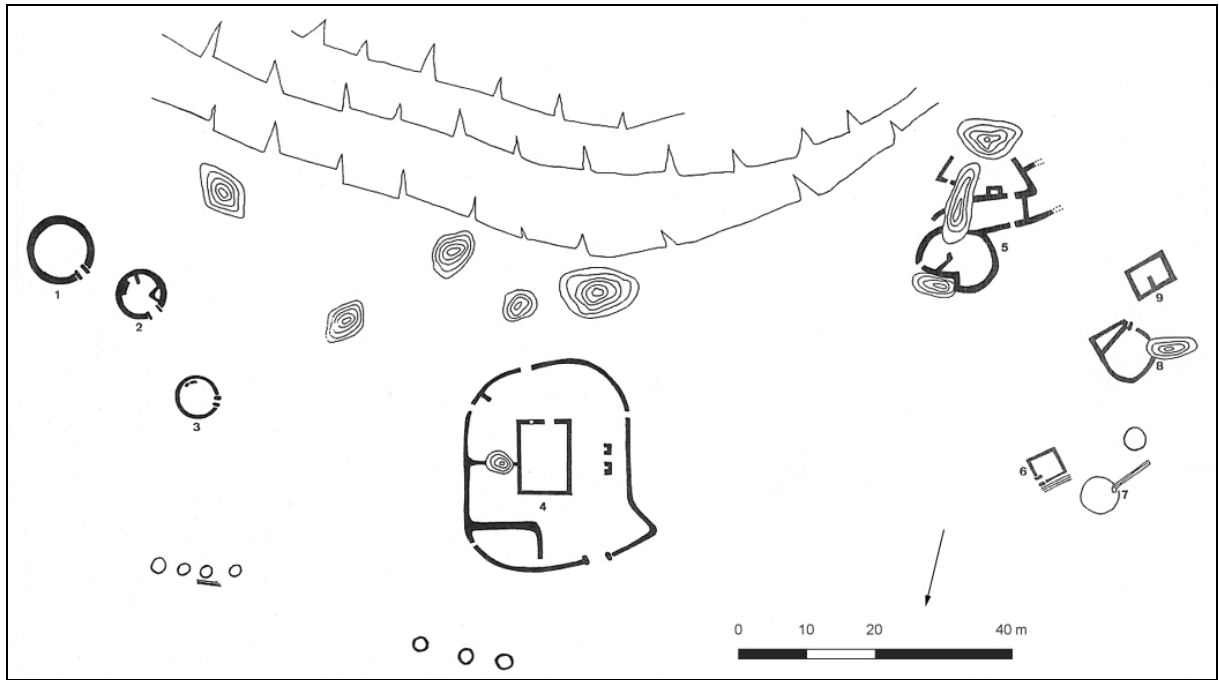


Figure 54 : plan de Rumâha (J.-F. Breton, 1994 a, fig. 16).

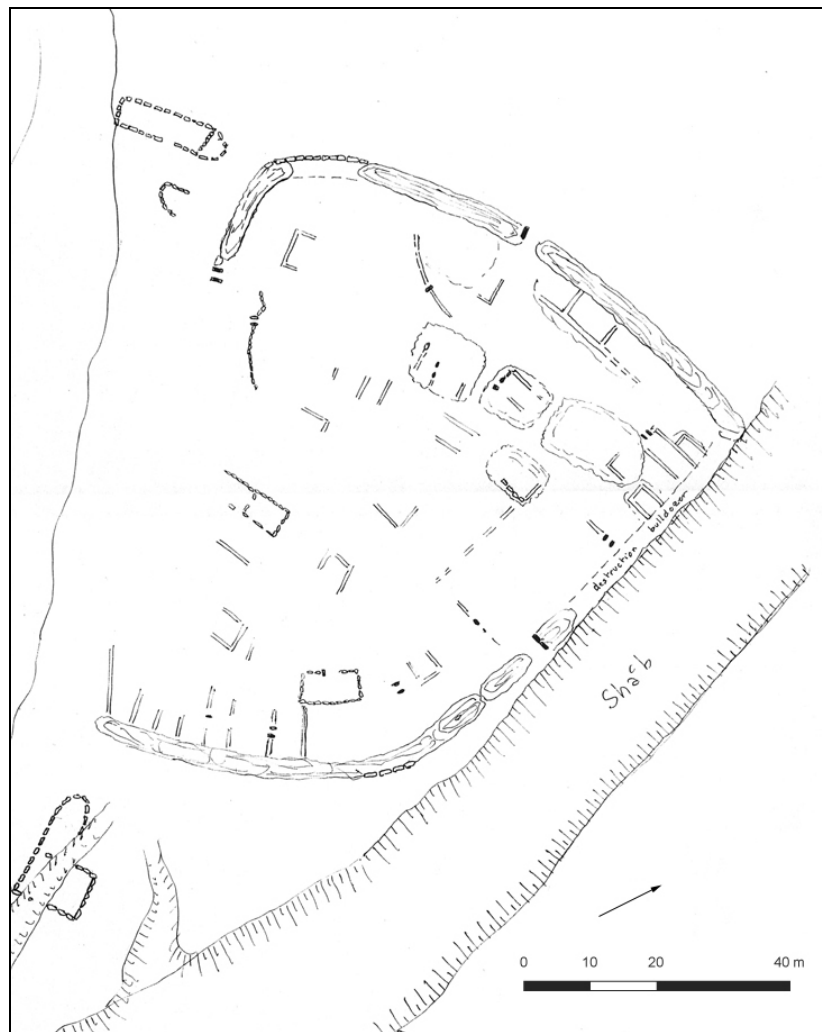


Figure 55 : plan de MKH-32 (S. Cleuziou & M.-L. Inizan, 1992).

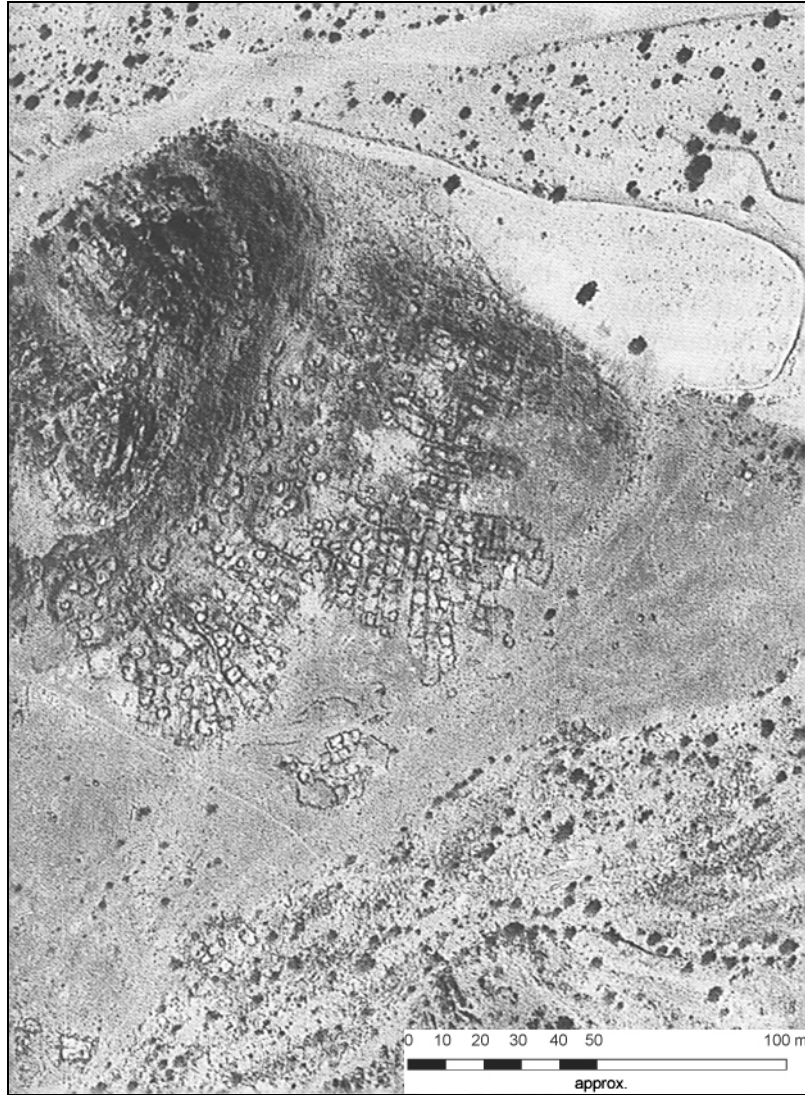


Figure 56 : vue aérienne de Qarn al-Madâra (U. Brunner, 1997 b, fig. 8).

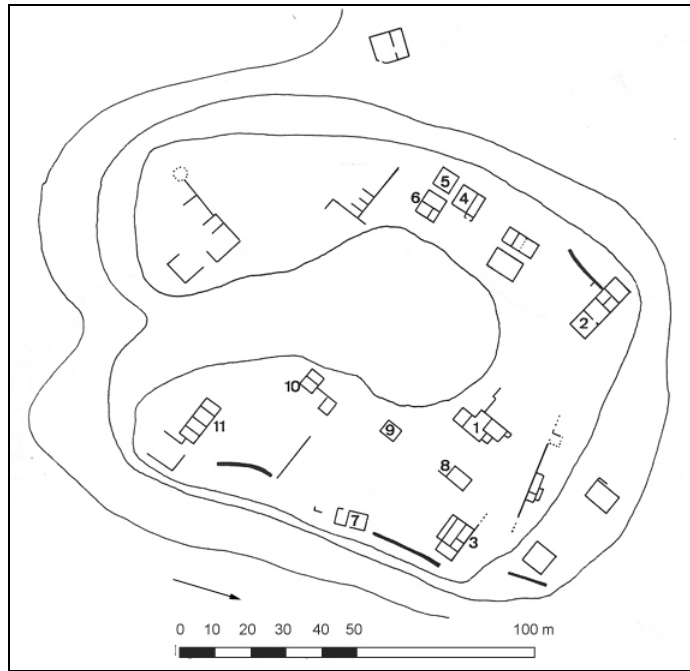


Figure 57 : plan de Hajar aş-Şafrâ' (J.-F. Breton & al. (éds), 1998, fig. 6).

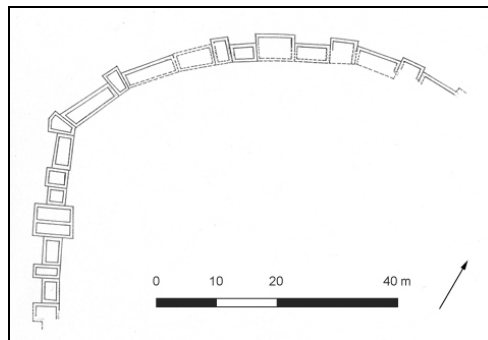


Figure 58 : plan de Hajar Arra (J.-F. Breton, 1985, fig. 54).

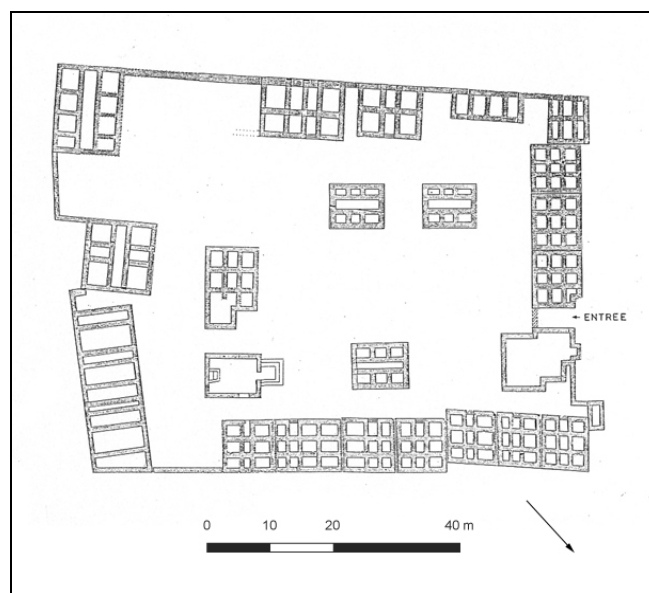


Figure 59 : plan de Hajar Khamûma (J.-F. Breton, 1985, fig. 53).

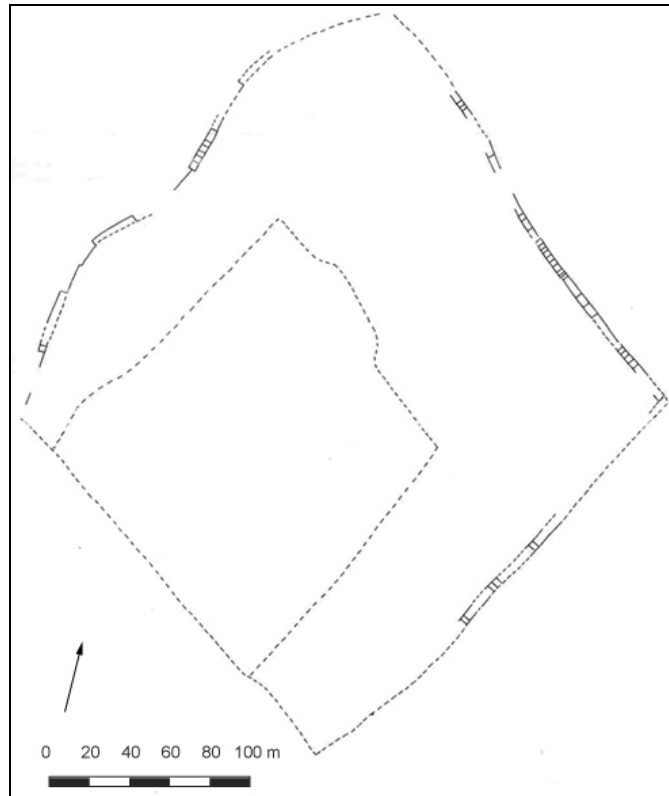


Figure 60 : plan de Hajar am-Barka (J.-F. Breton, 1994 a, fig. 36).

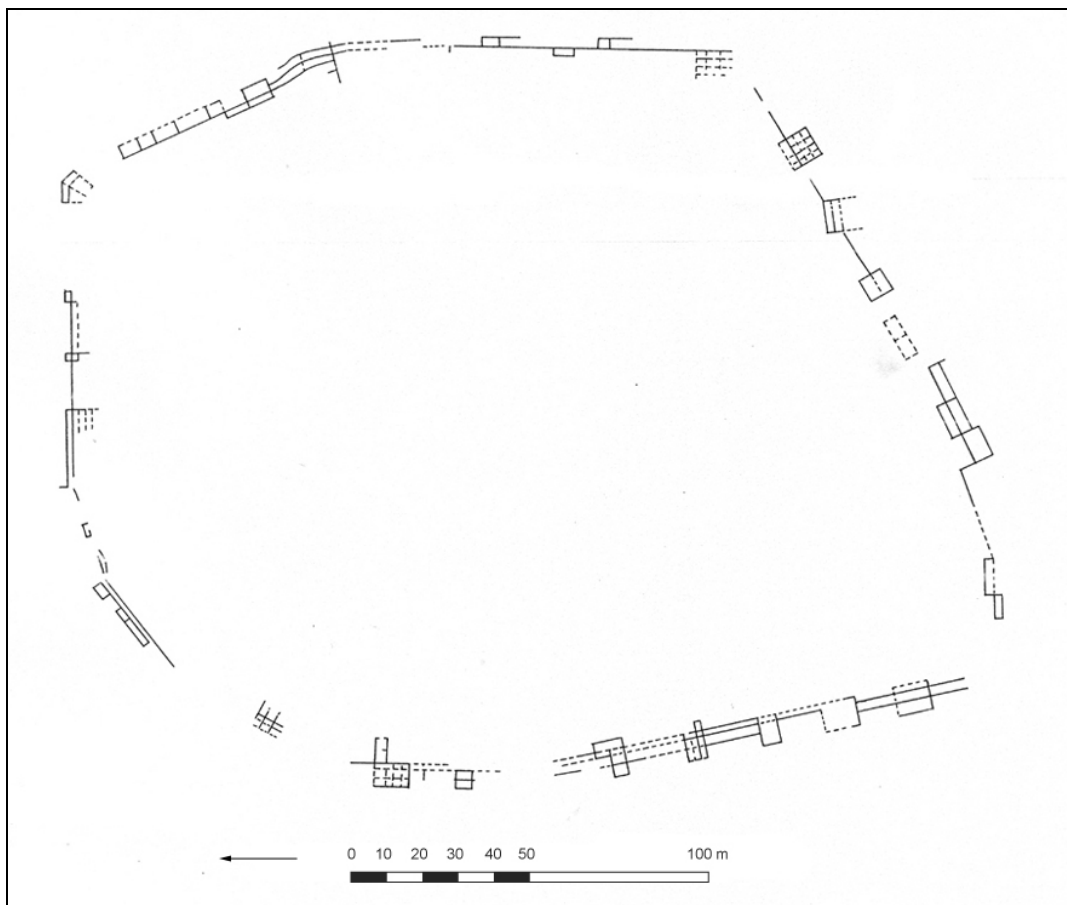


Figure 61 : plan de Hajar Ṭâlib (J.-F. Breton, 1994 a, fig. 57).

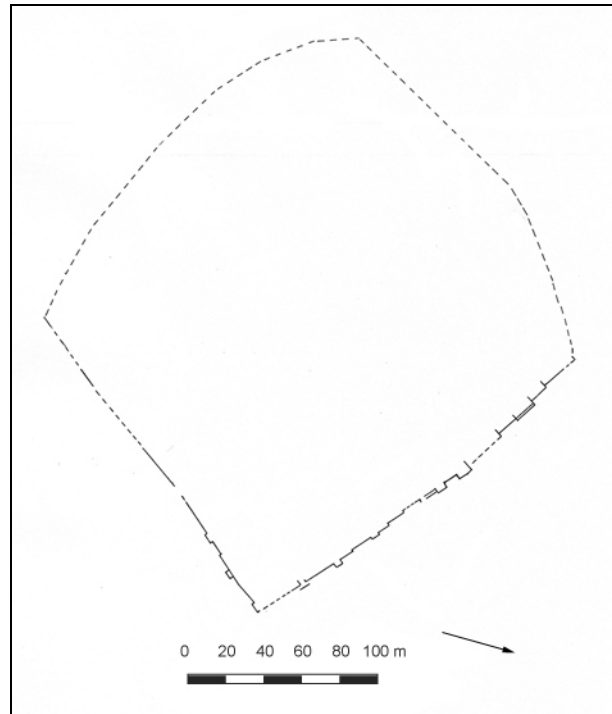


Figure 62 : plan de Hajar Lajiya (J.-F. Breton, 1994 a, fig. 56).

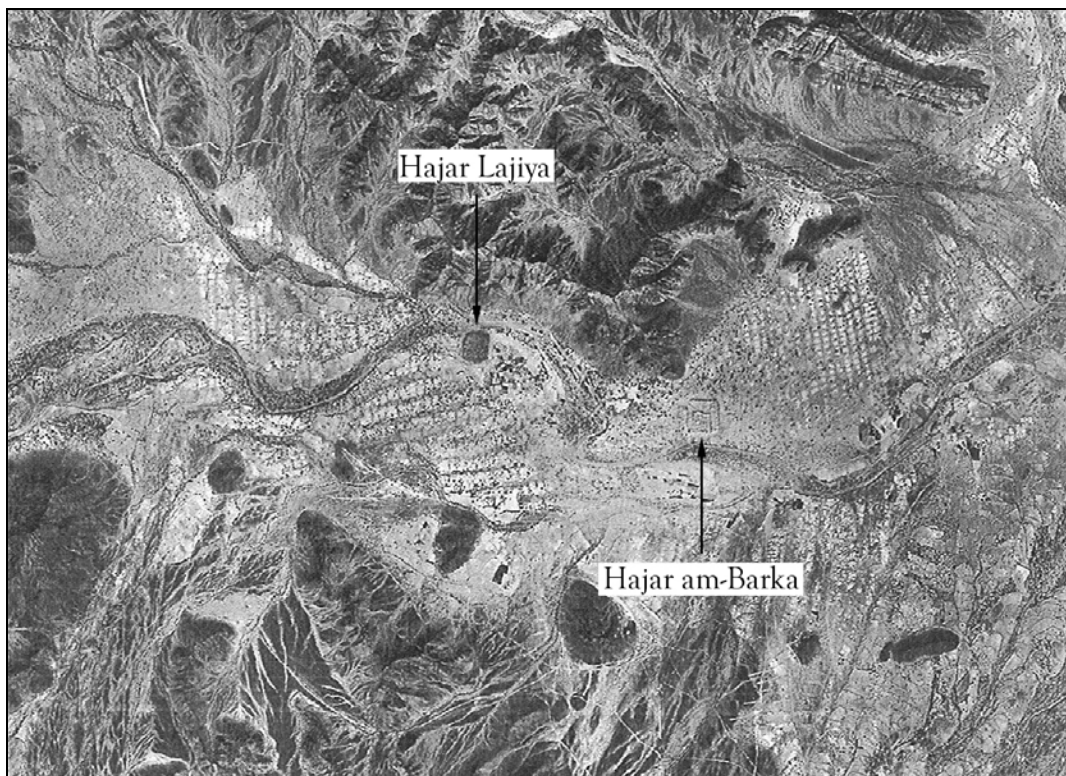
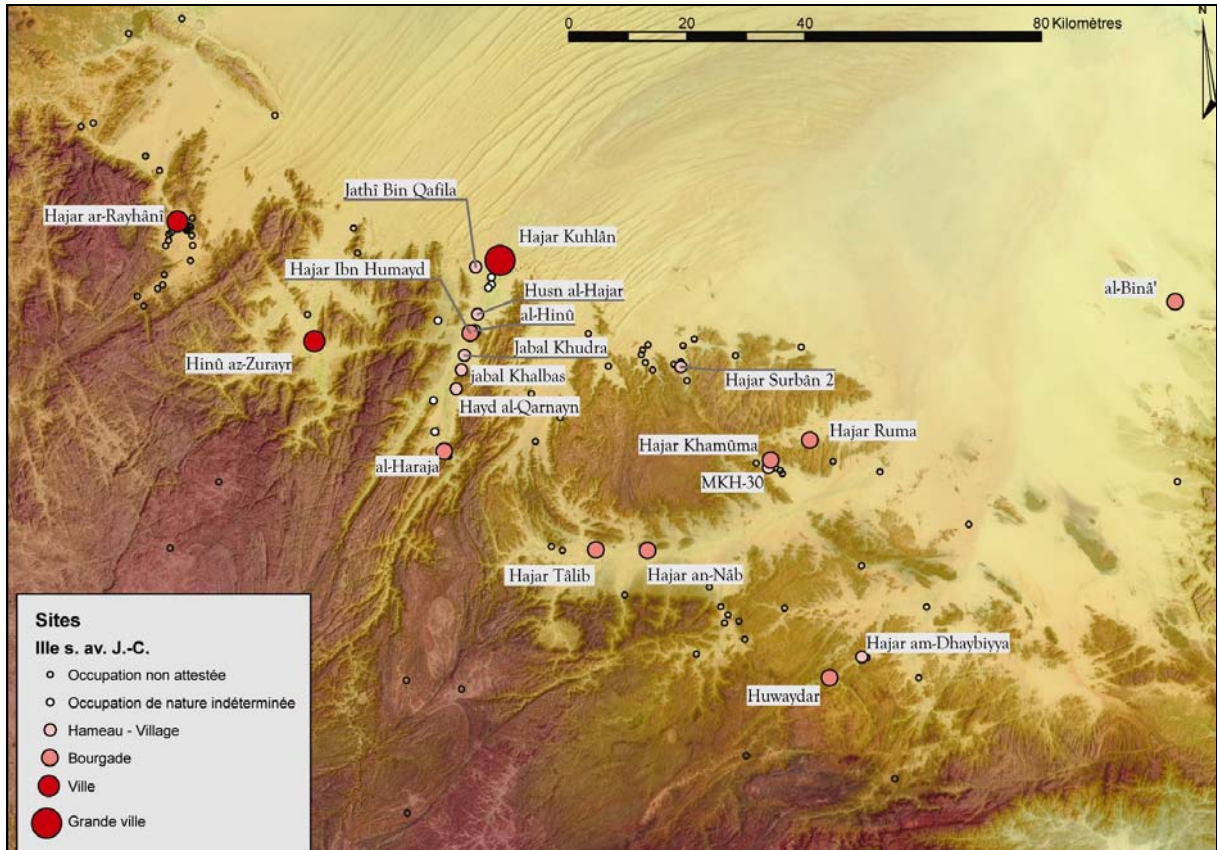
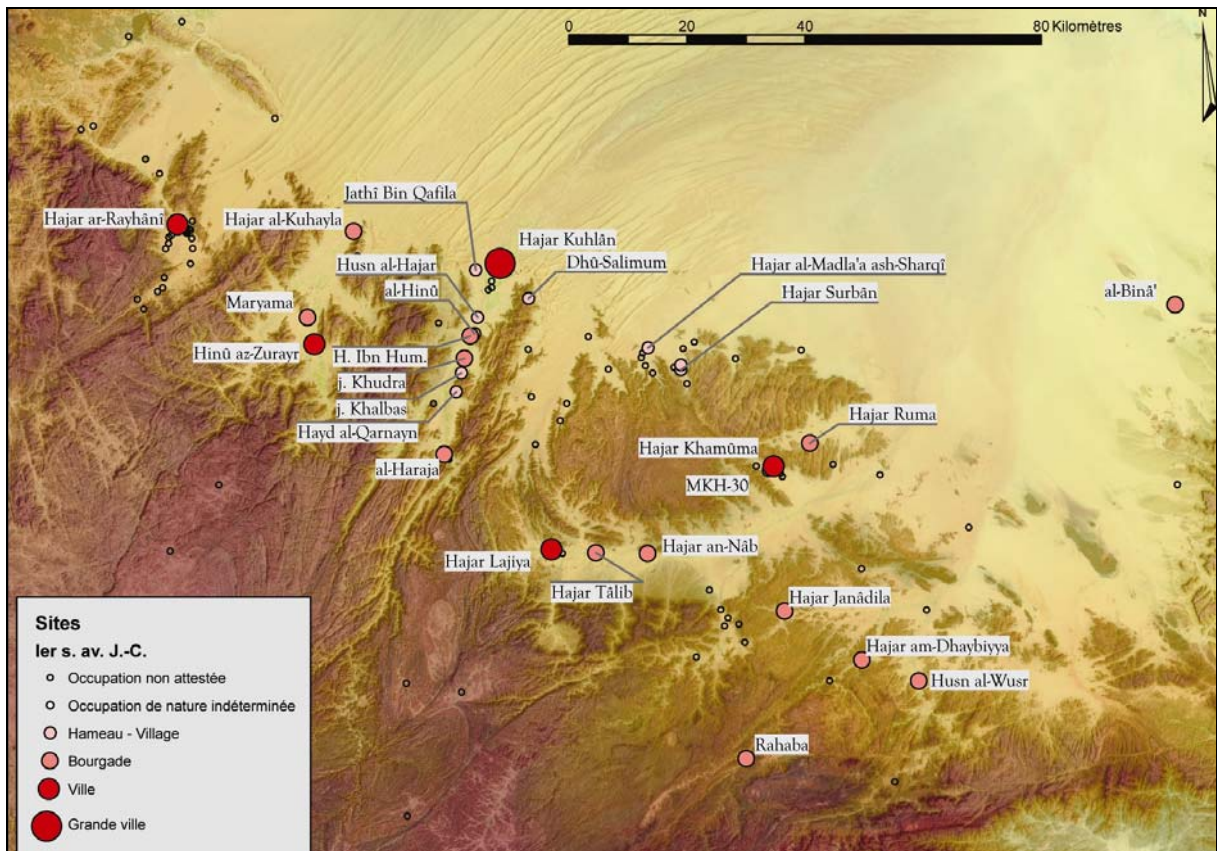


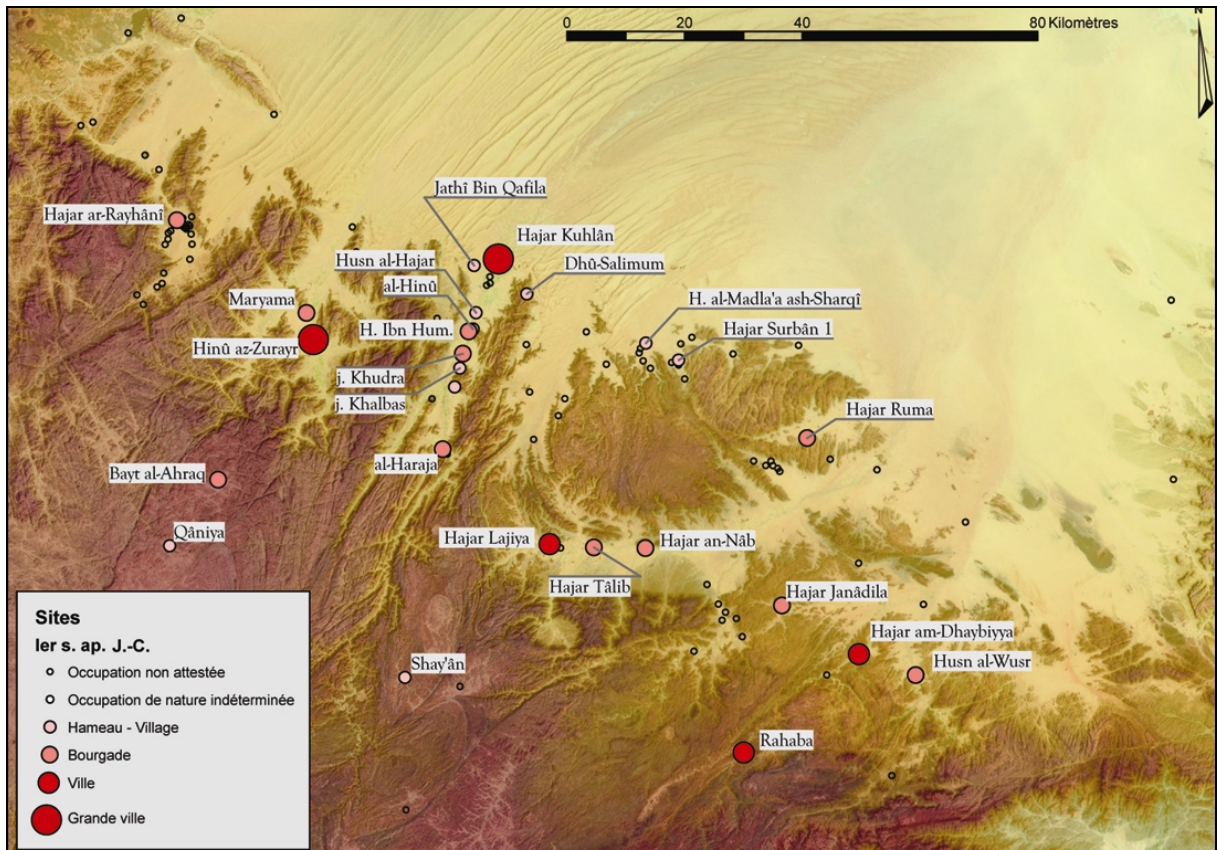
Figure 63 : vue aérienne du périmètre irrigué de Hajar Lajiya (d'après U. Brunner, 1999 a, p. 243).



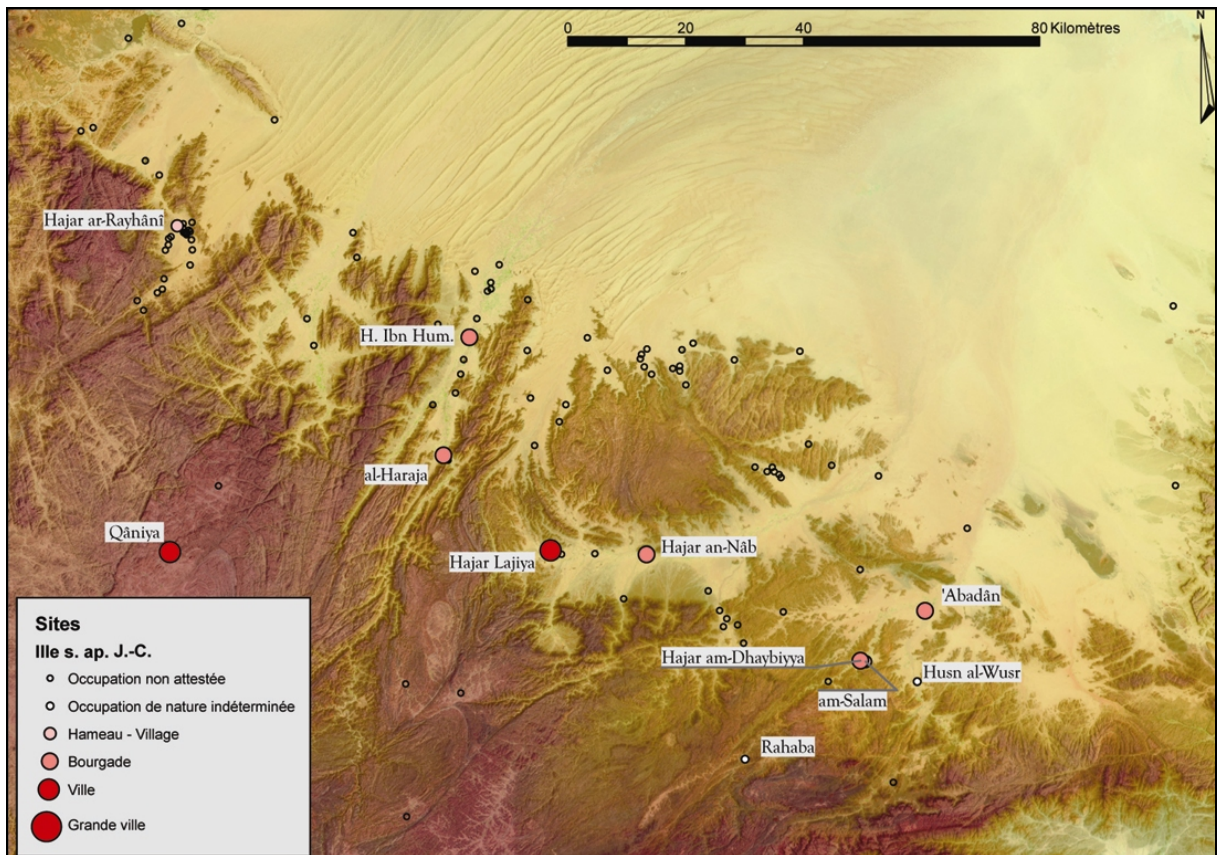
C



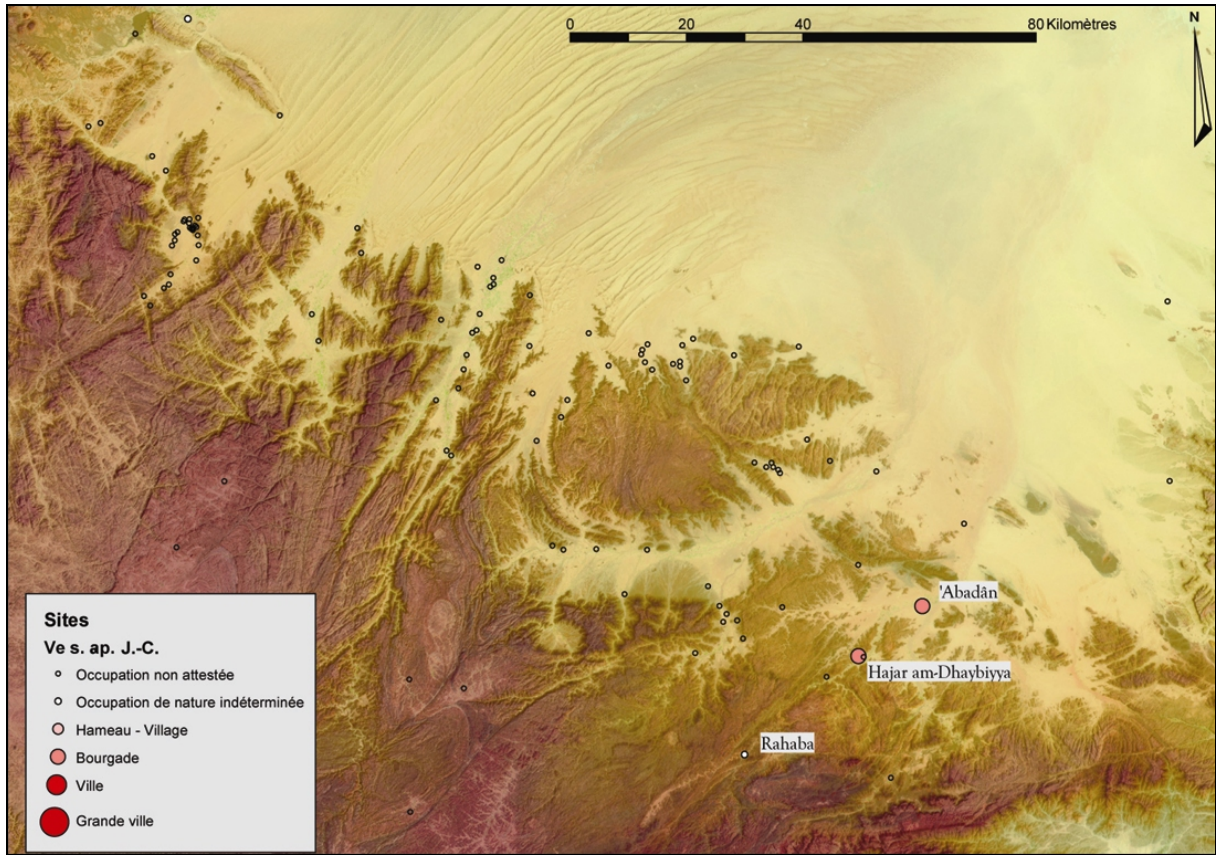
D



E



F



G

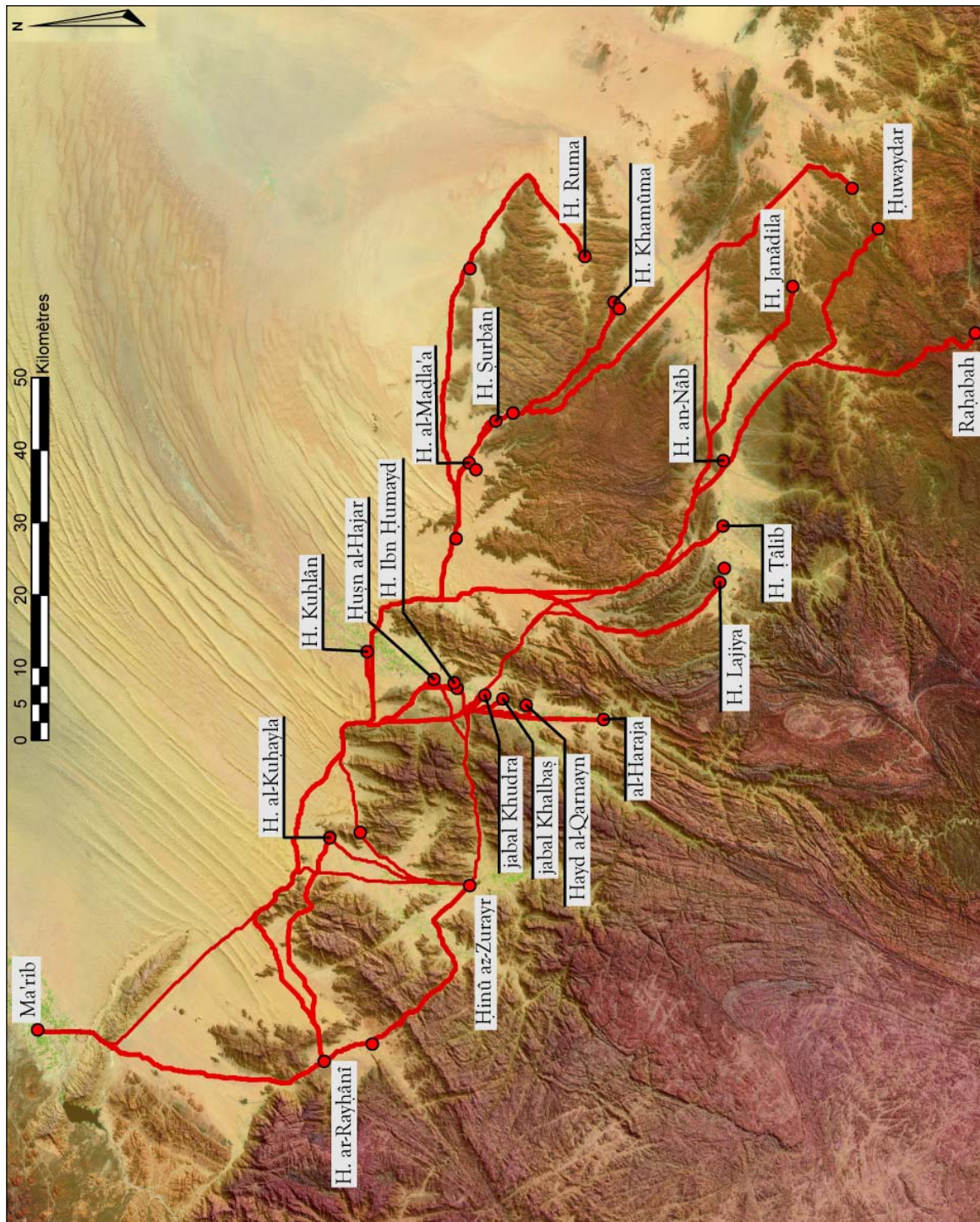
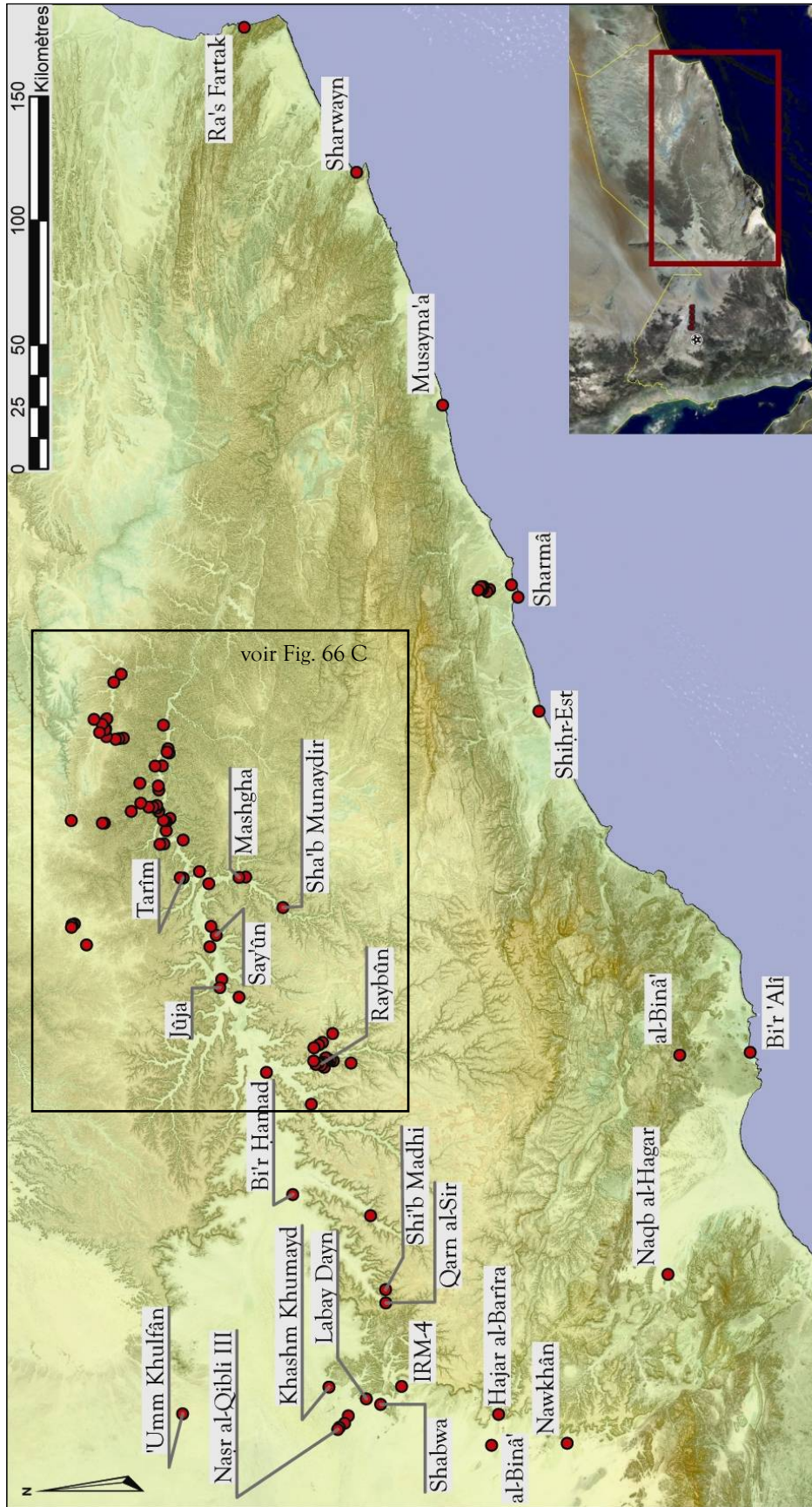


Figure 65 : carte des trajets de moindre contrainte au départ des sites de Hajar Kuḥlān, Ḥinū az-Zurayr et Hajar ar-Rayḥānī.

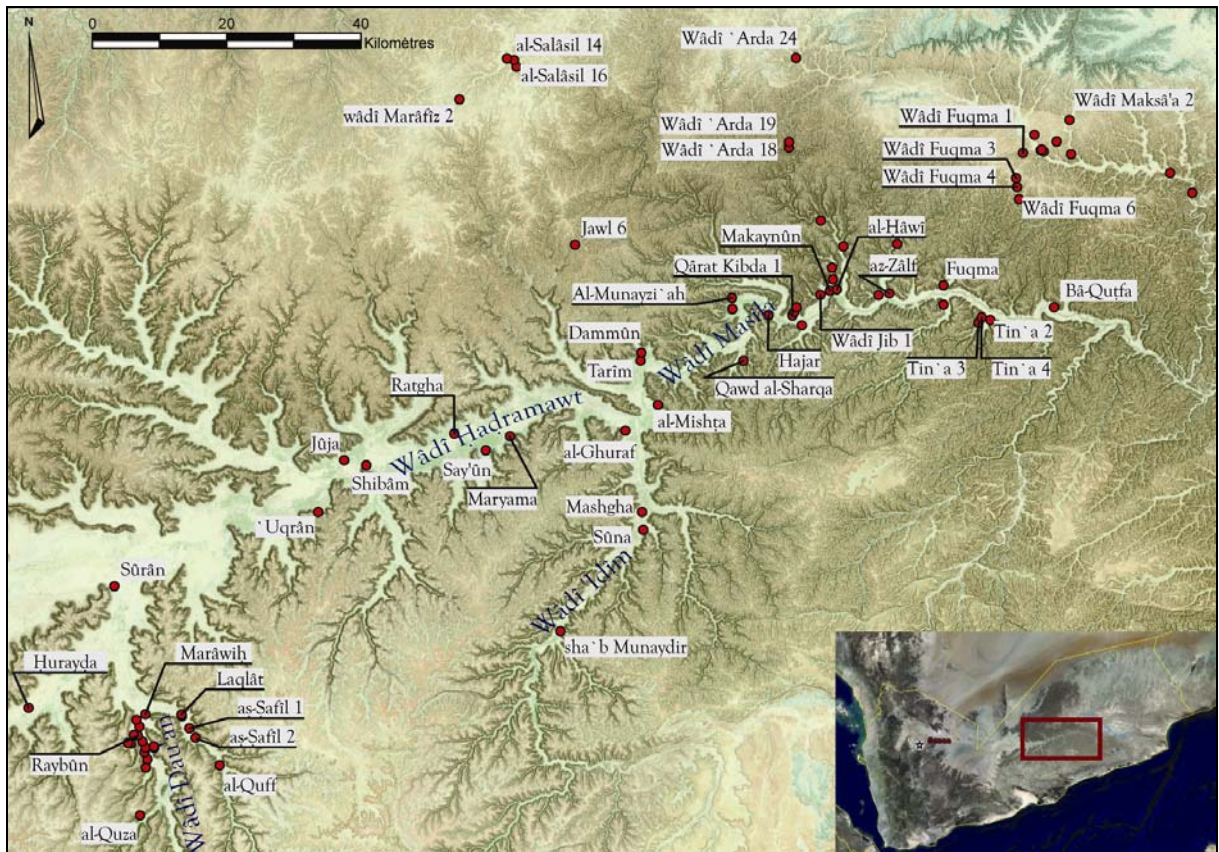


A

Figure 66 A-C : cartes de répartition des sites archéologiques du Ḥaḍramawt :
 A : ensemble du wâḍi Ḥaḍramawt - B : Zufâr - C : wâḍi Masîla.



B



C

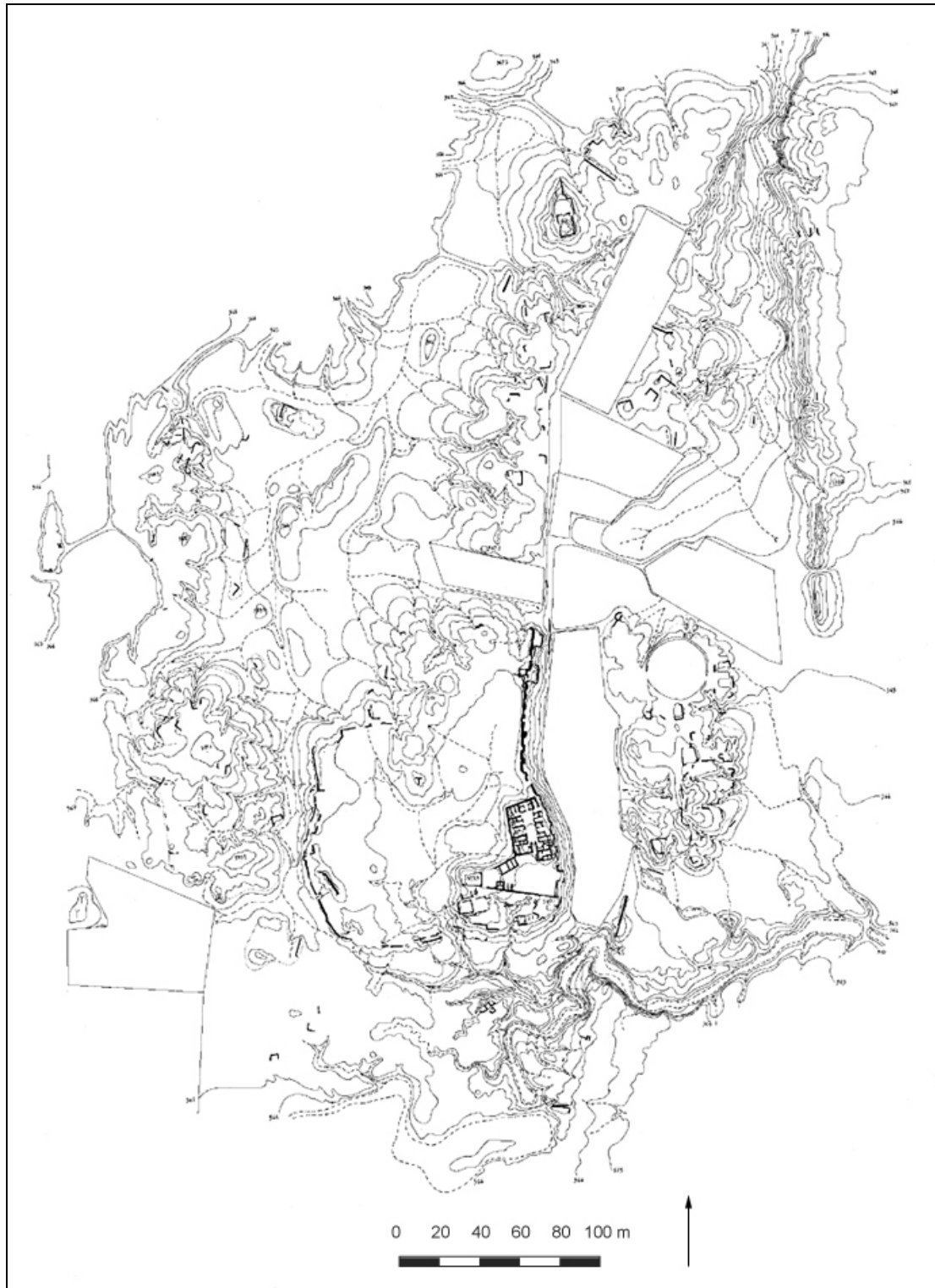


Figure 67 : plan de Makaynūn (mission archéologique française dans le Jawf-Ḥaḍramawt, V. Bernard).

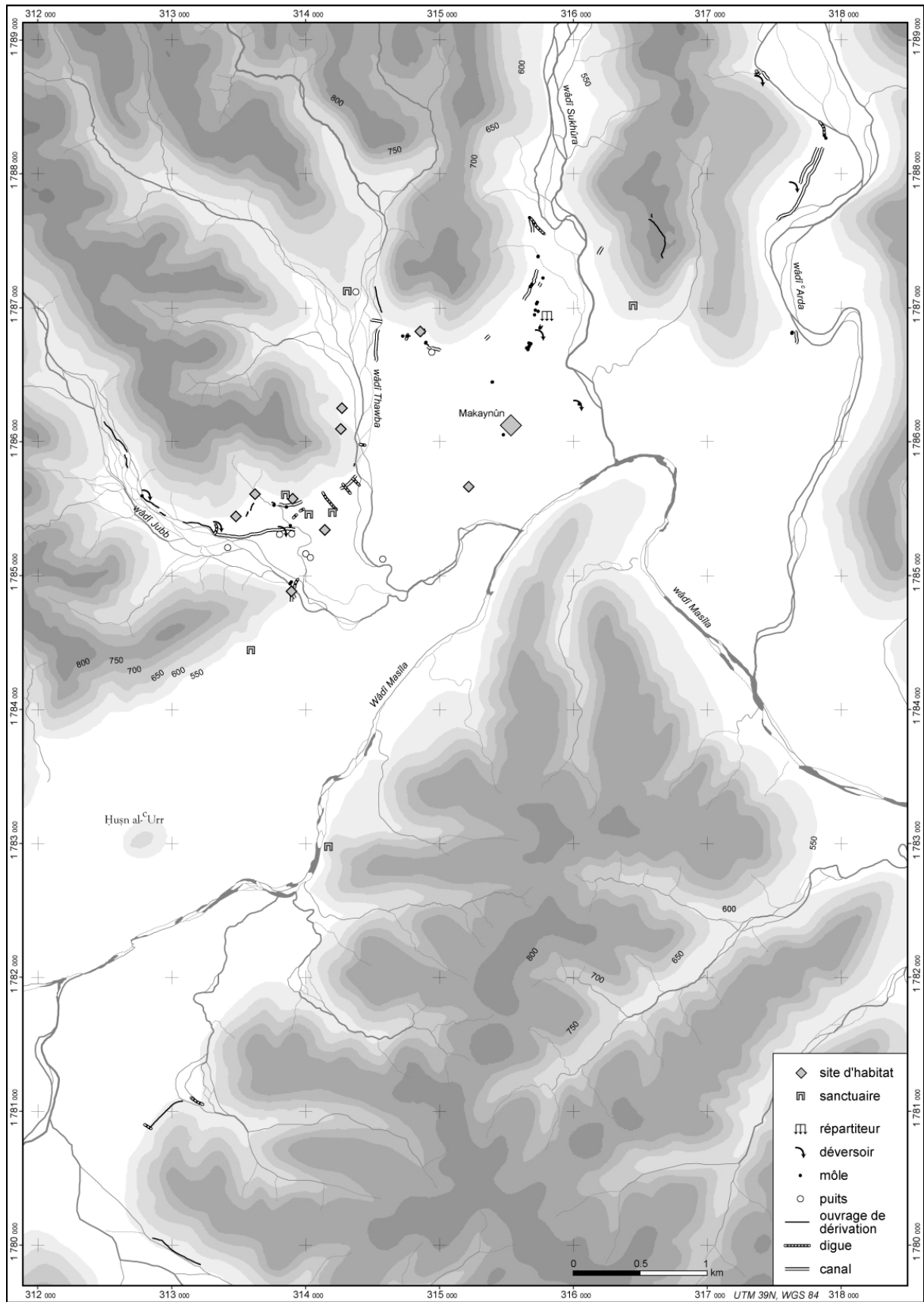


Figure 68 : carte des sites archéologiques dans le secteur de Makaynûn (mission archéologique française dans le Jawf-Ḥaḍramawt, O. Barge).

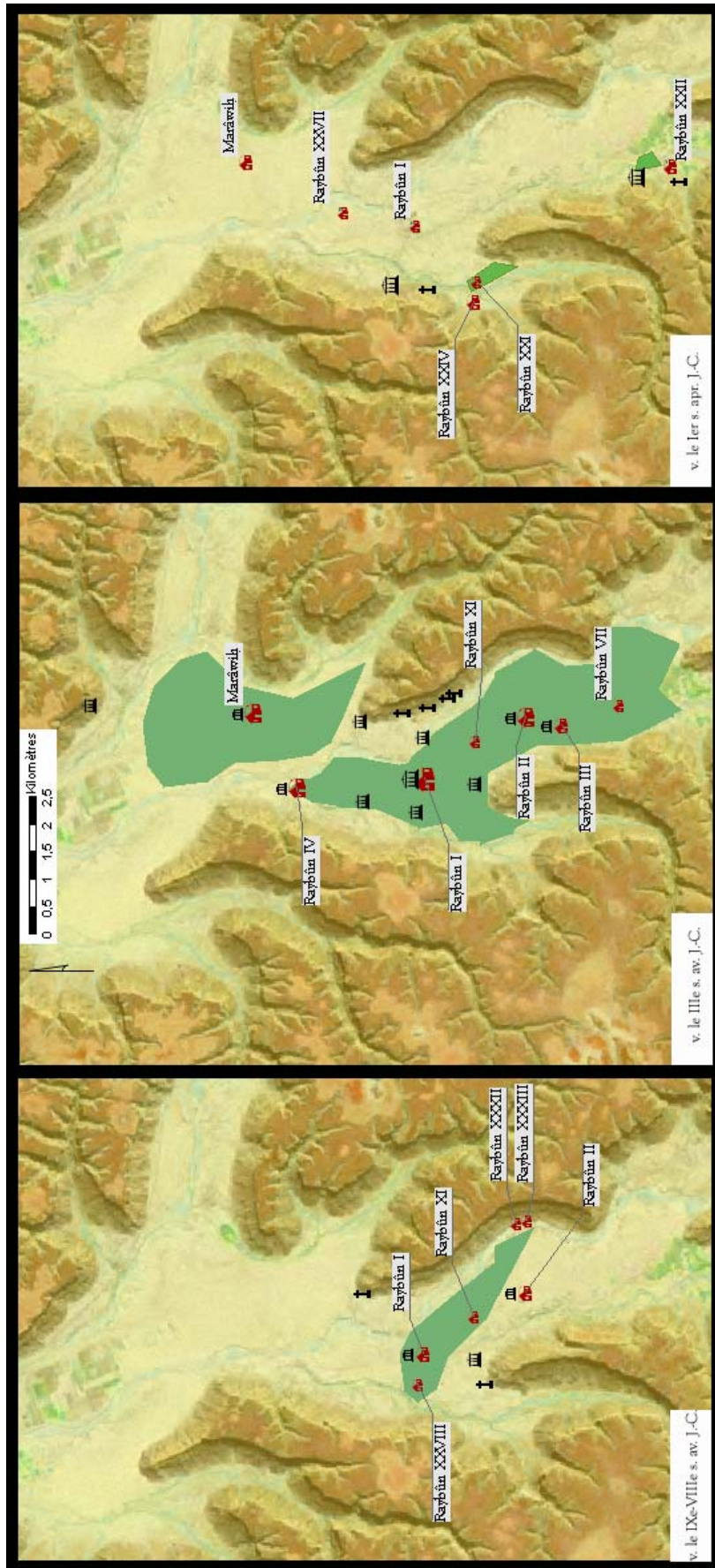


Figure 70 : restitution de l'évolution de l'oasis de Raybūn à la période préislamique.

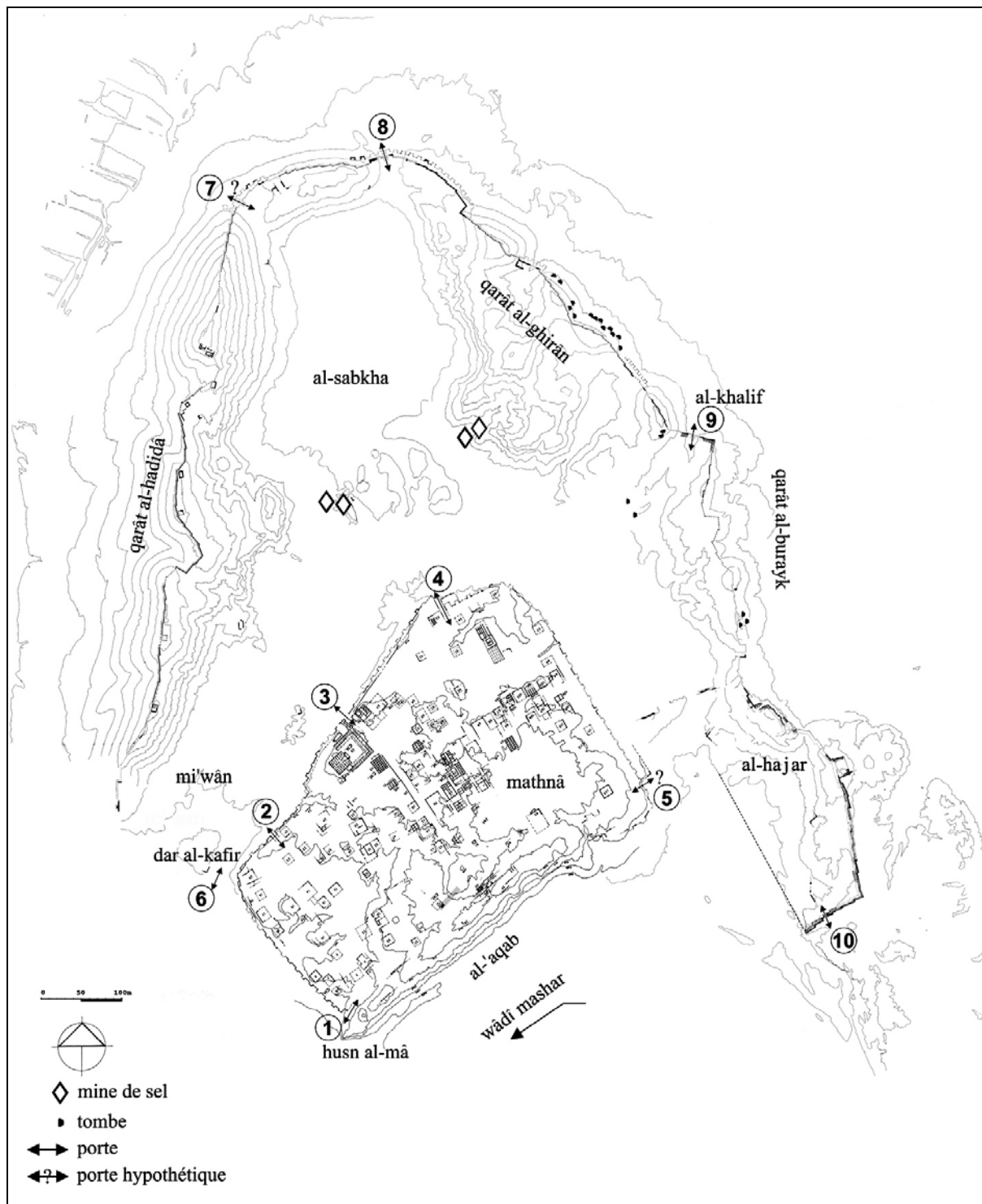


Figure 71 : plan de Shabwa (Ch. Darles, 1998, fig. 1).

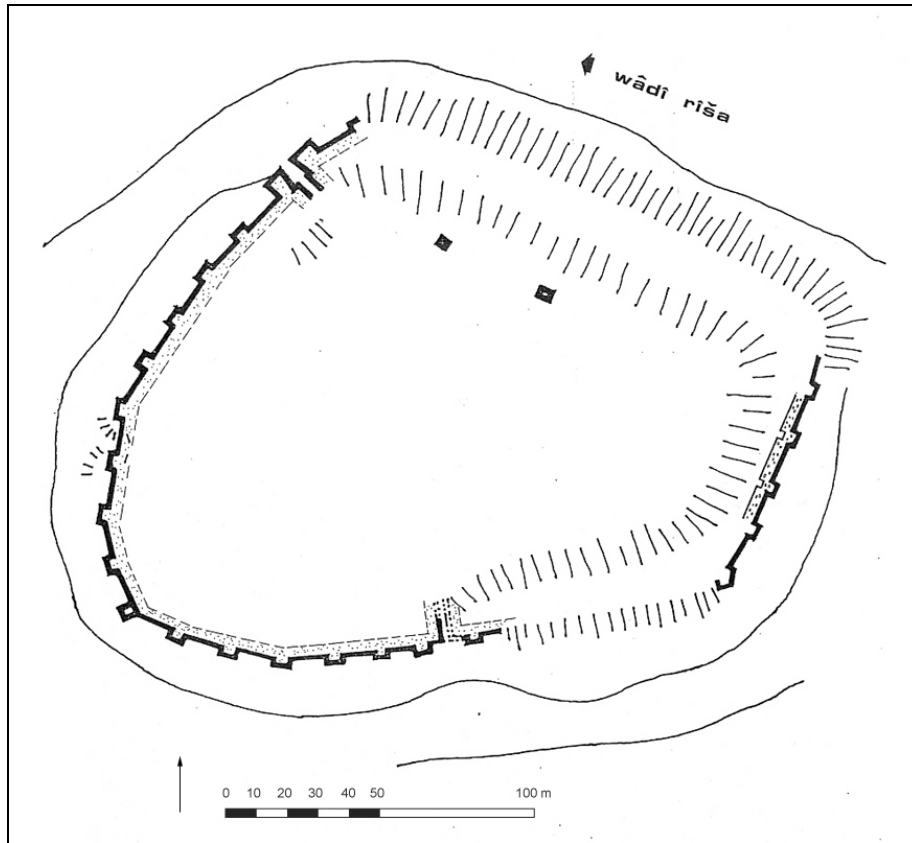


Figure 72 : plan de Hajar al-Barira (J.-F. Breton, 1985, fig. 15).

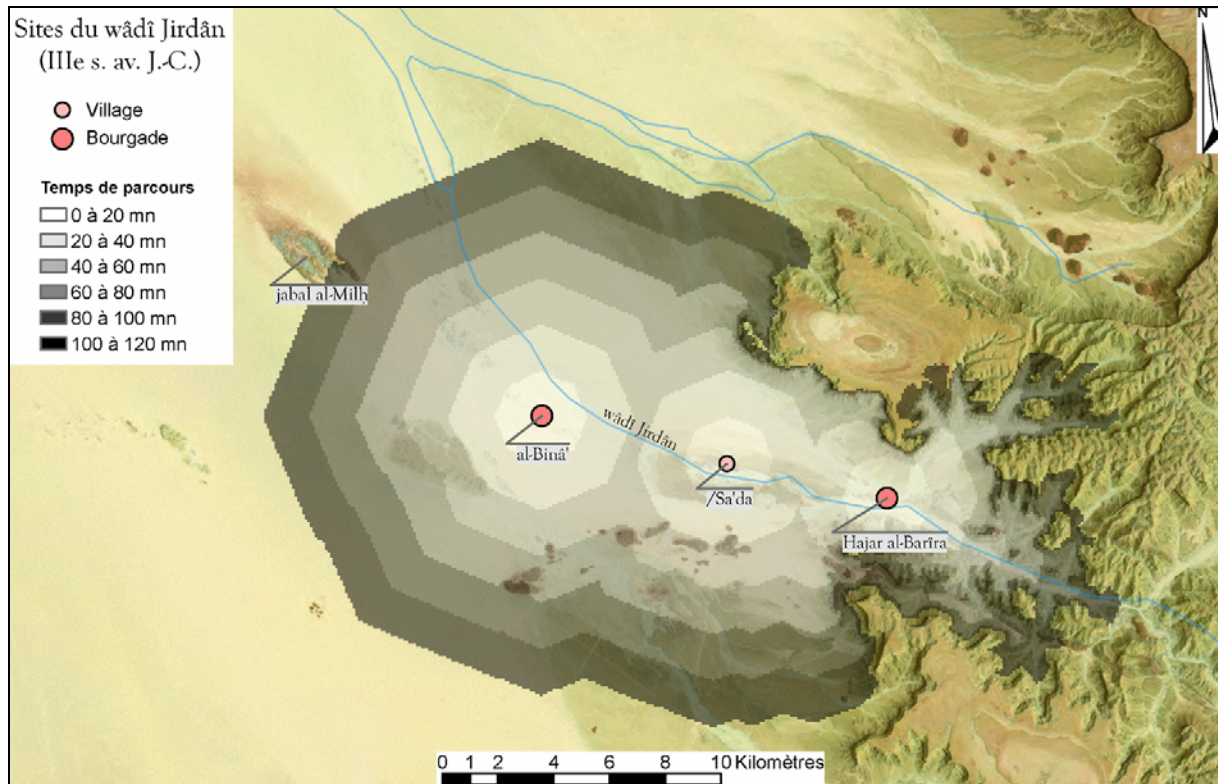


Figure 73 : carte des zones d'accessibilité autour des sites du wādī Jirdān.



Figure 74 : plan de Naqb al-Hajar (J.-F. Breton, 1994 a, fig. 51).

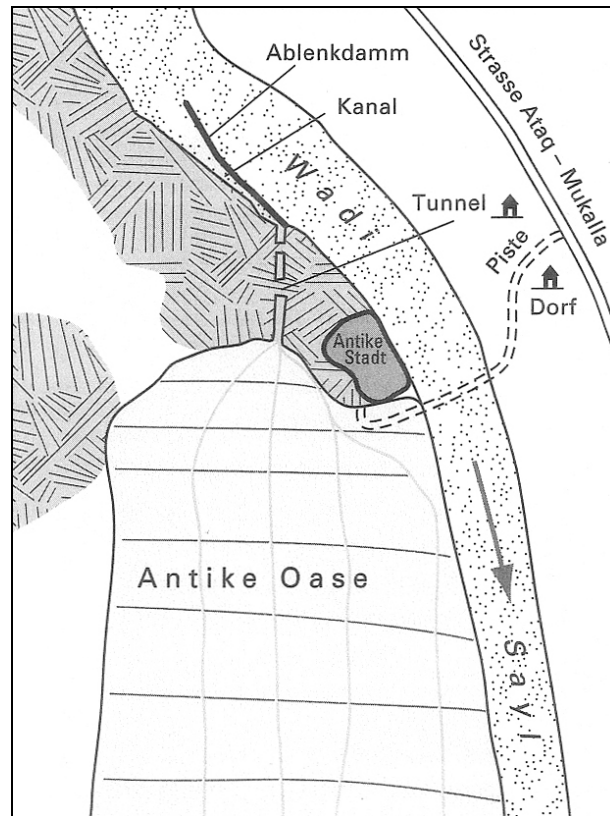


Figure 75 : croquis du périmètre irrigué de Naqb al-Hajar (U. Brunner, 1999 b, p. 50).

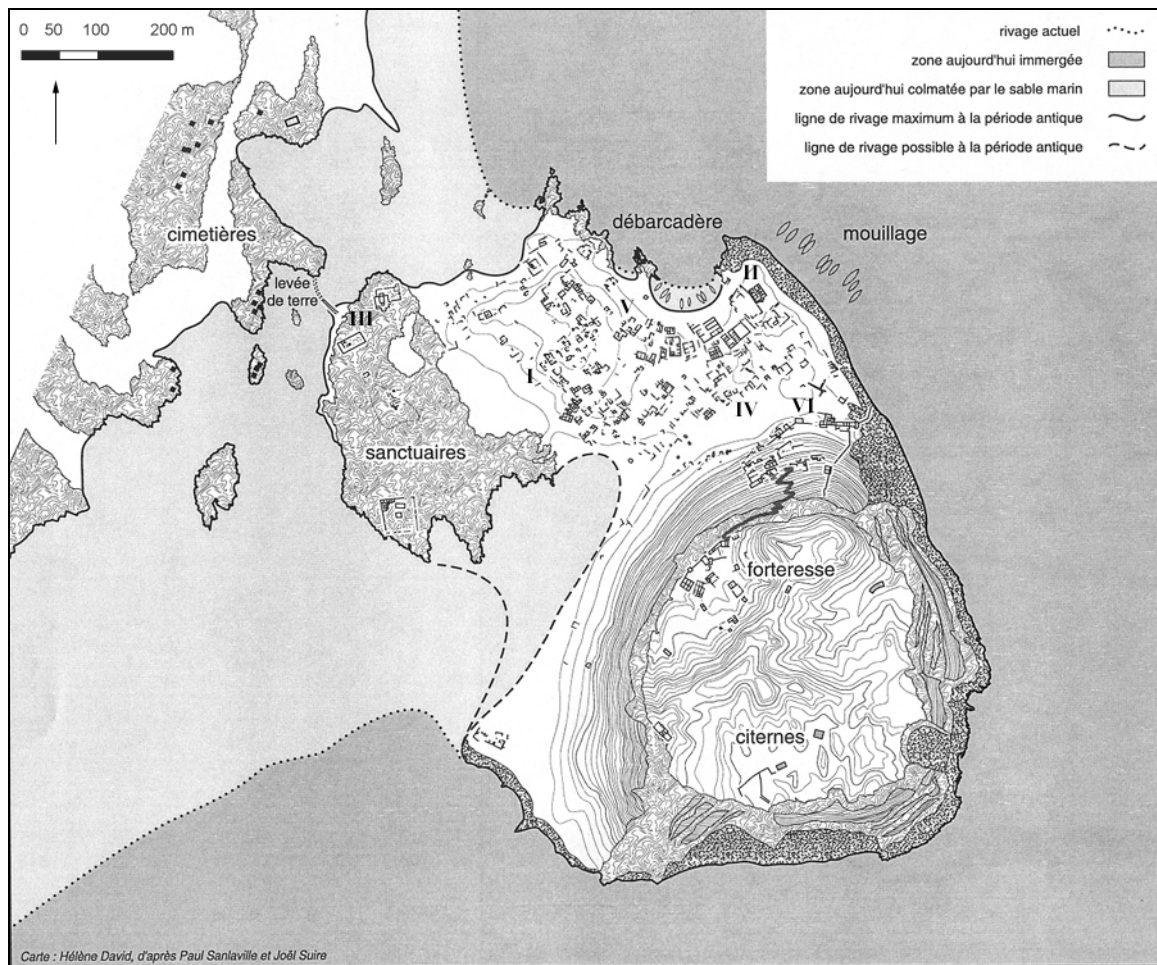


Figure 76 : plan de Bi'r 'Alī avec restitution de la ligne du rivage à la période préislamique (M. Mouton, P. Sanlaville & J. Suire, à paraître, fig. 5 ; numérotation des secteurs d'après A. V. Sedov, 1992, fig. 1).

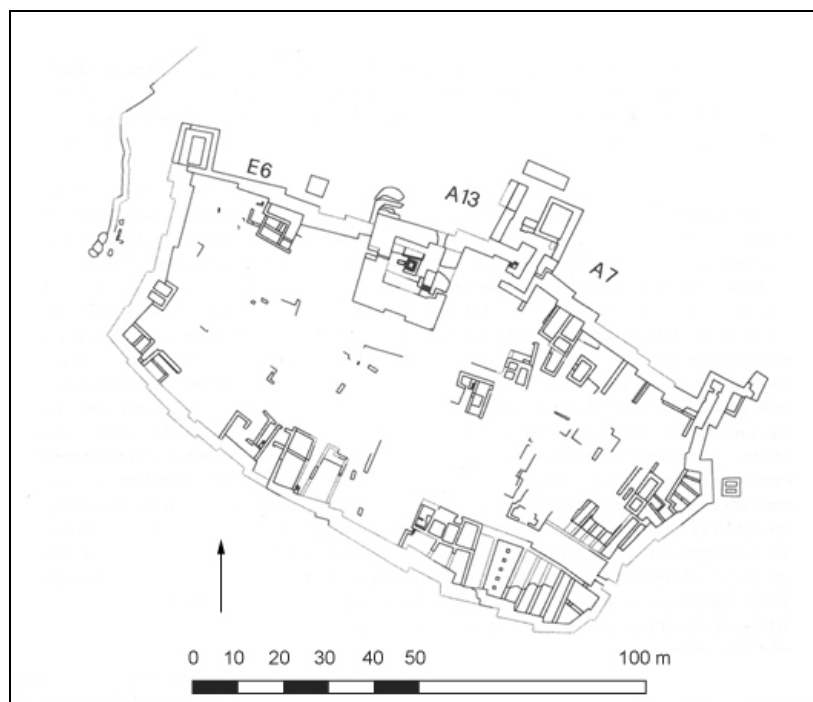
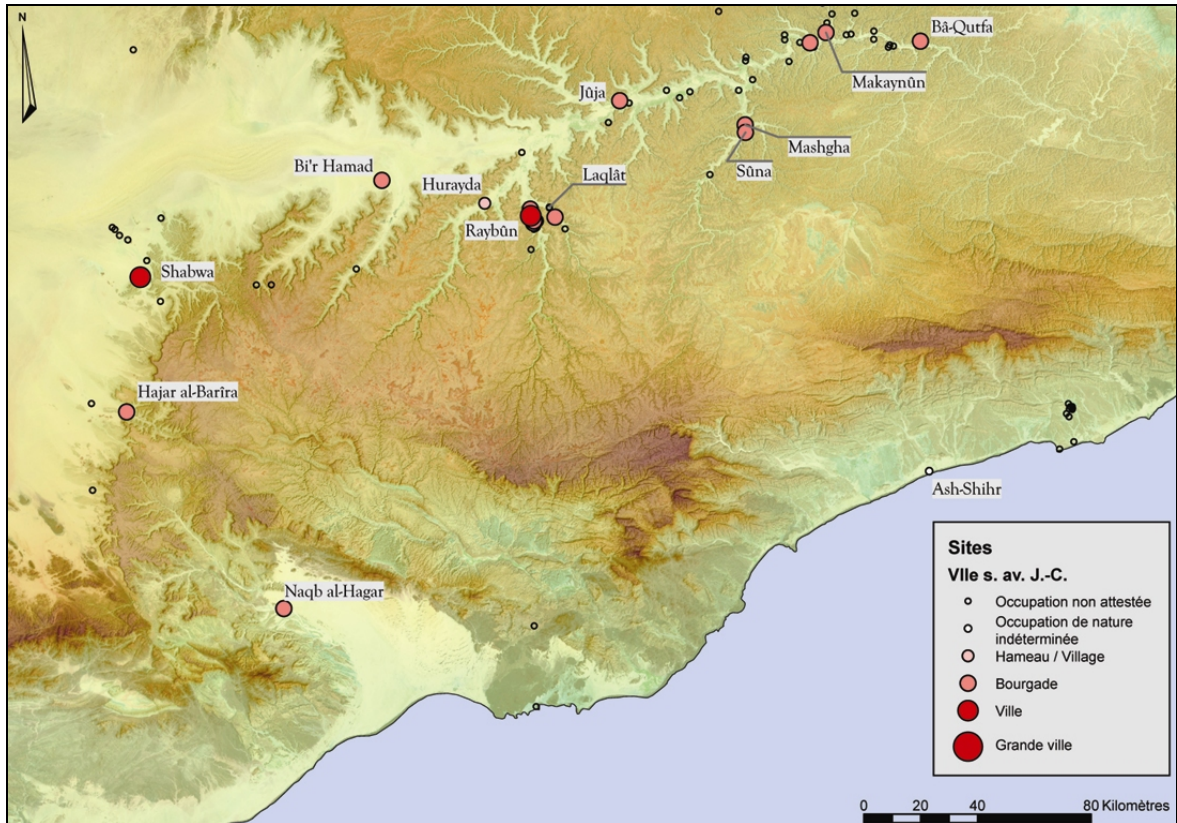
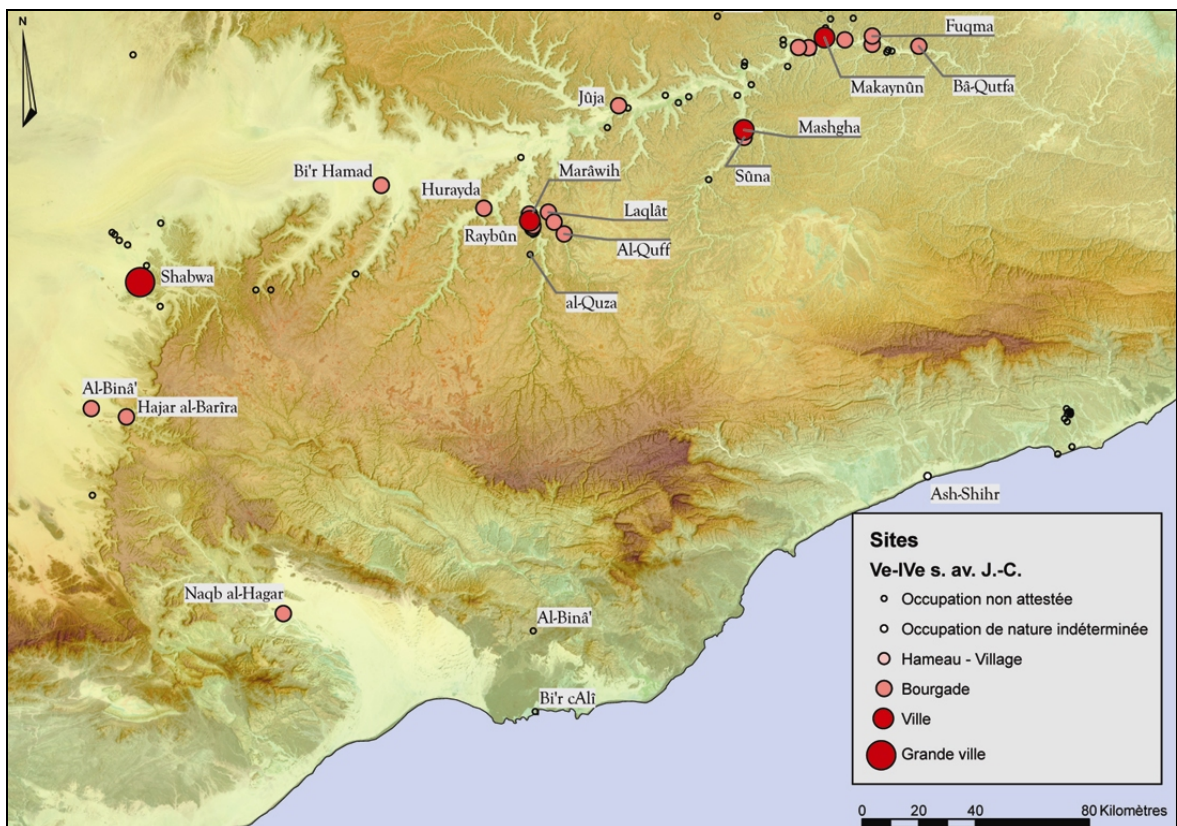


Figure 77 : plan de Khawr Rûrî (A. V. Sedov & Ch. Benvenuti, 2002, fig. 1).



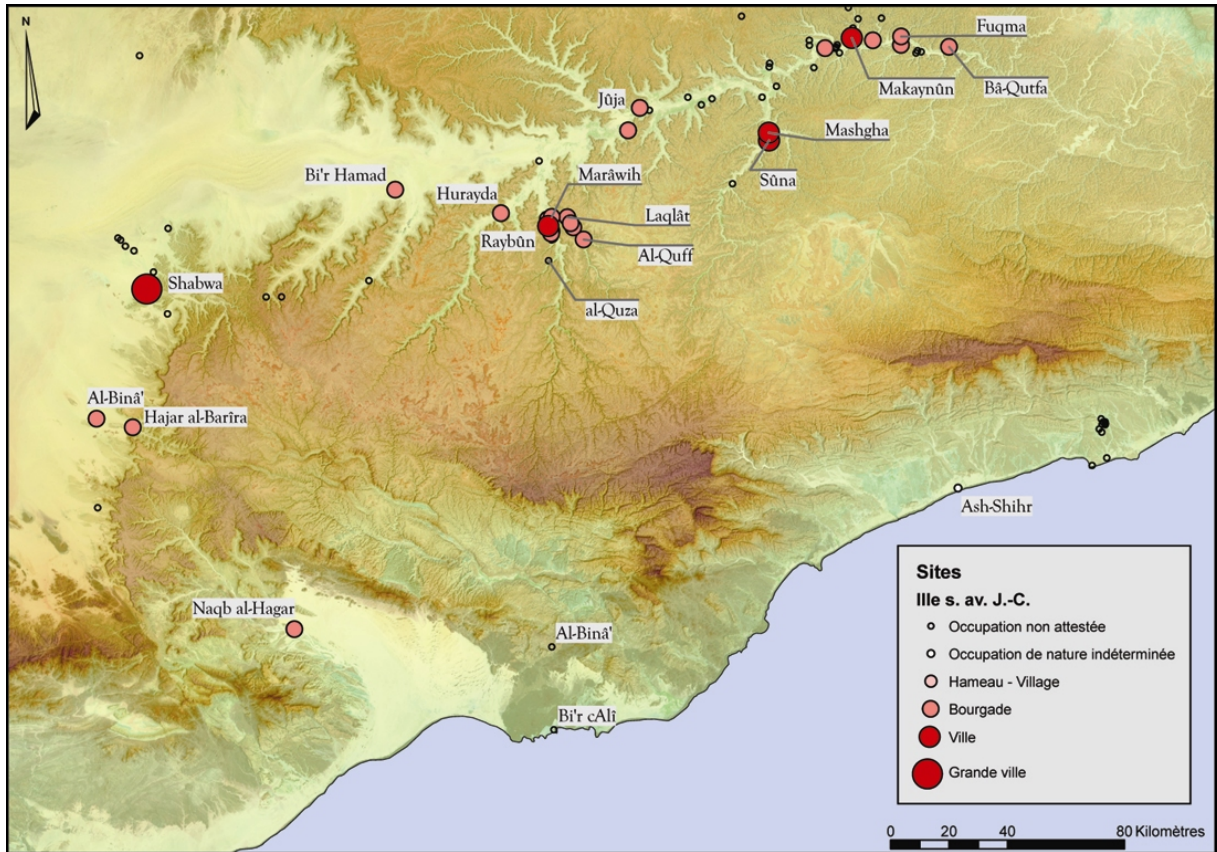
A



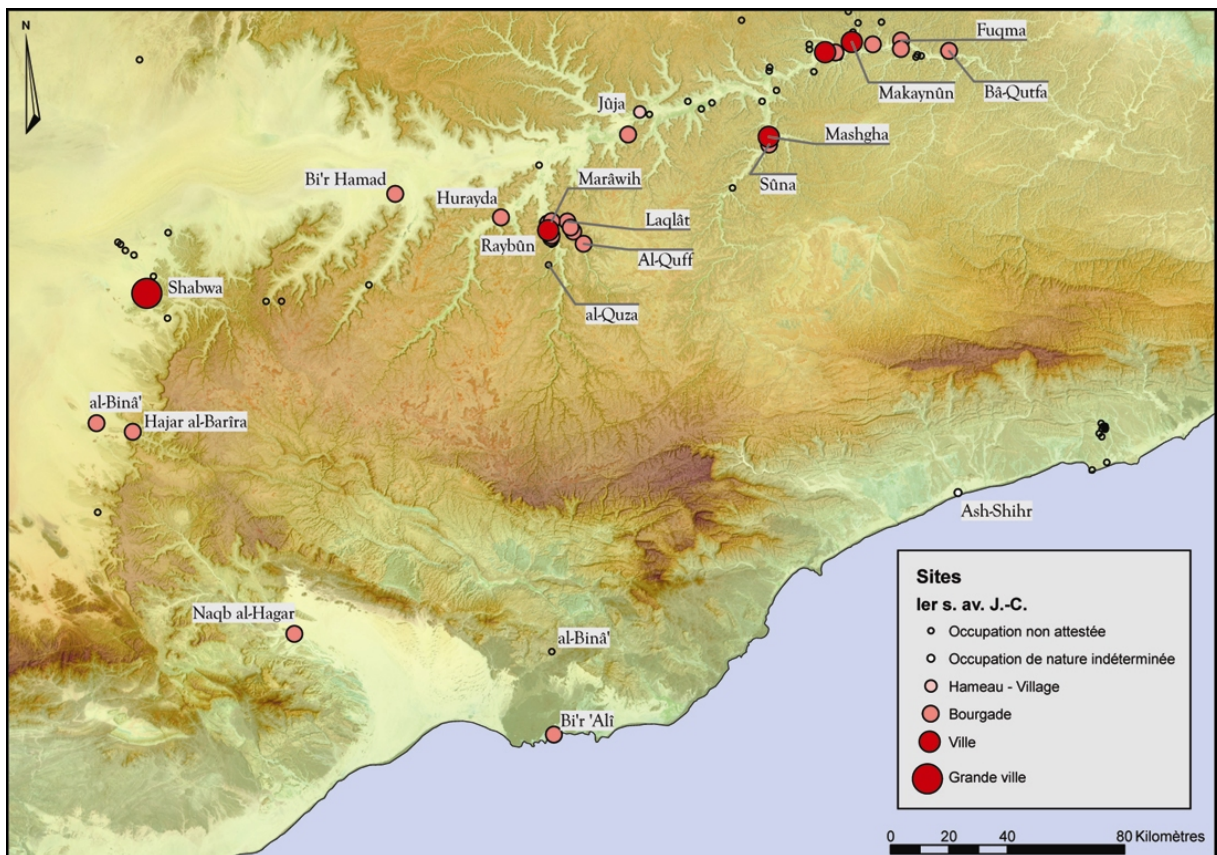
B

Figure 78 A-G : cartes de l'évolution du réseau urbain du Ḥaḍramawt.

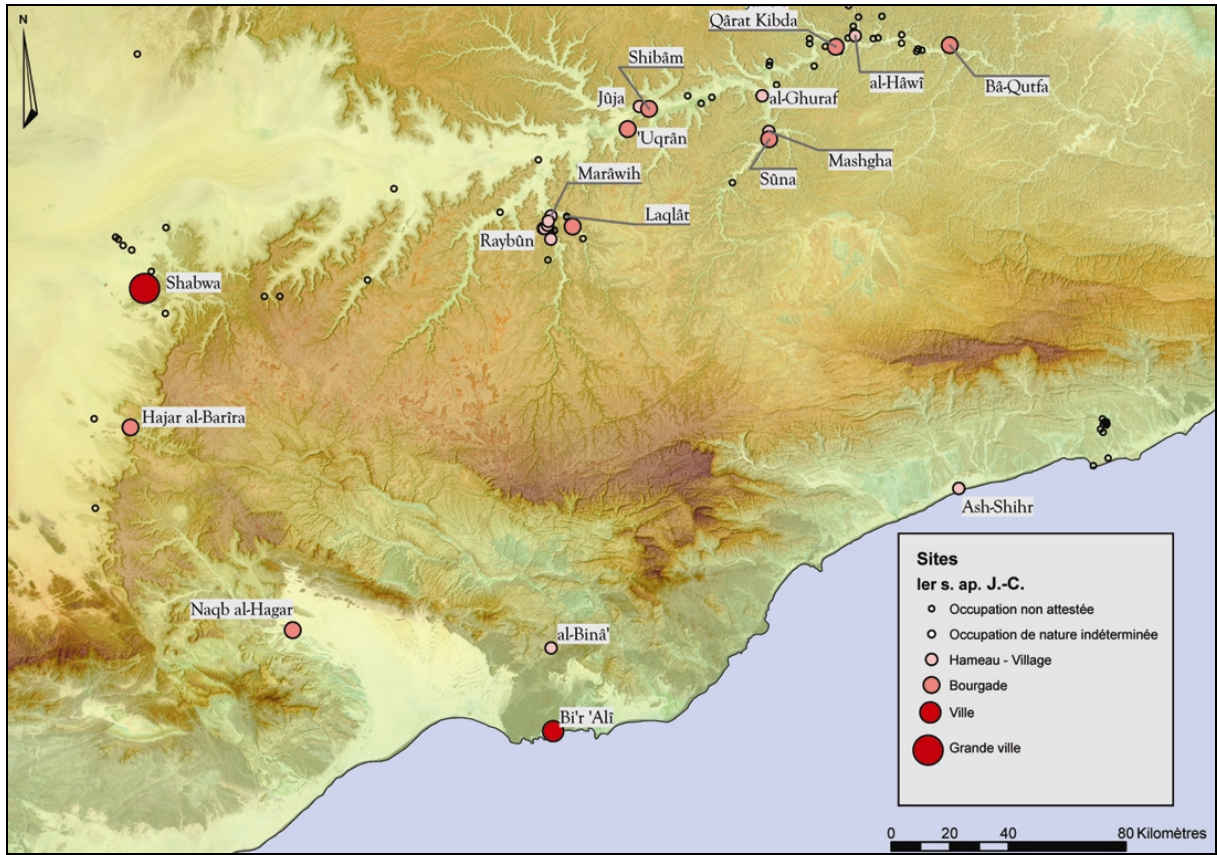
A : VII^e s. av. J.-C. - B : V^e s. av. J.-C. - C : III^e s. av. J.-C. - D : I^{er} s. av. J.-C. - E : I^{er} s. ap. J.-C. - F : III^e s. ap. J.-C. - G : V^e s. ap. J.-C.



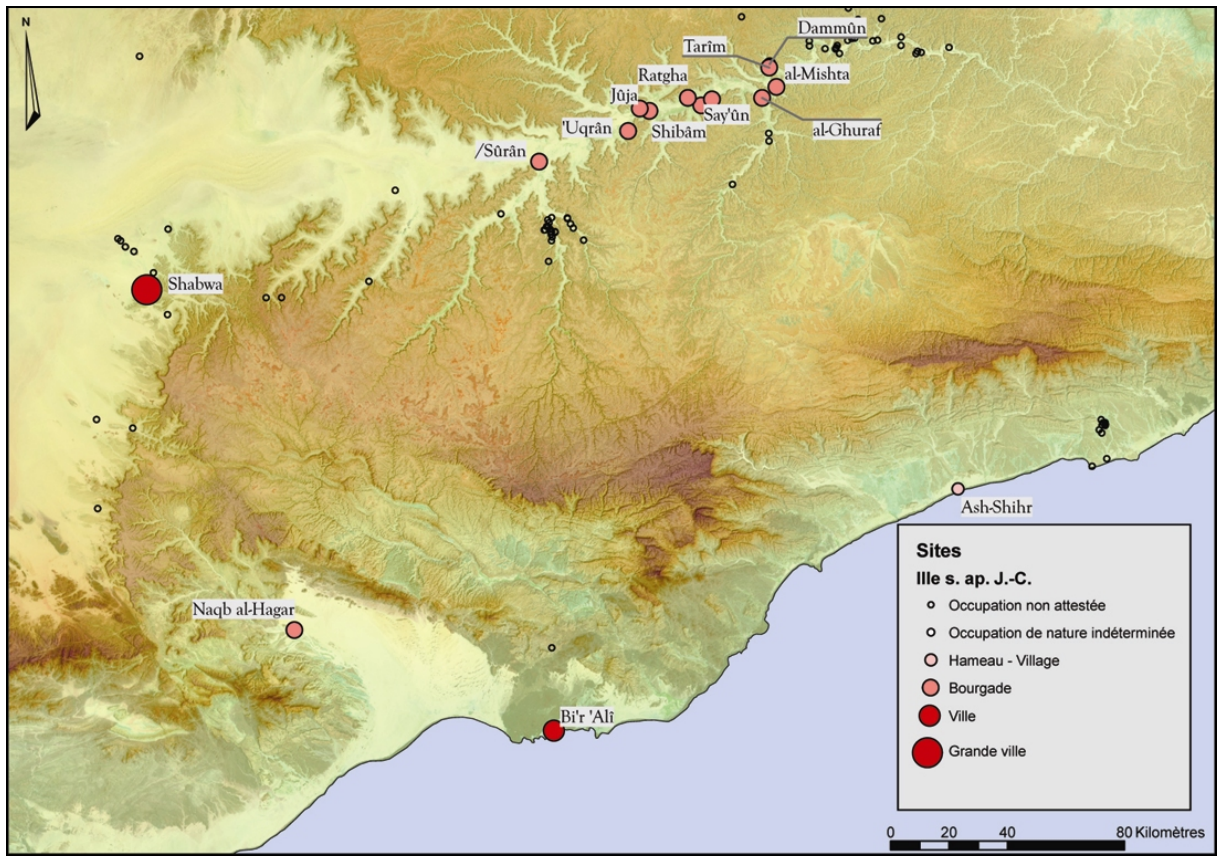
C



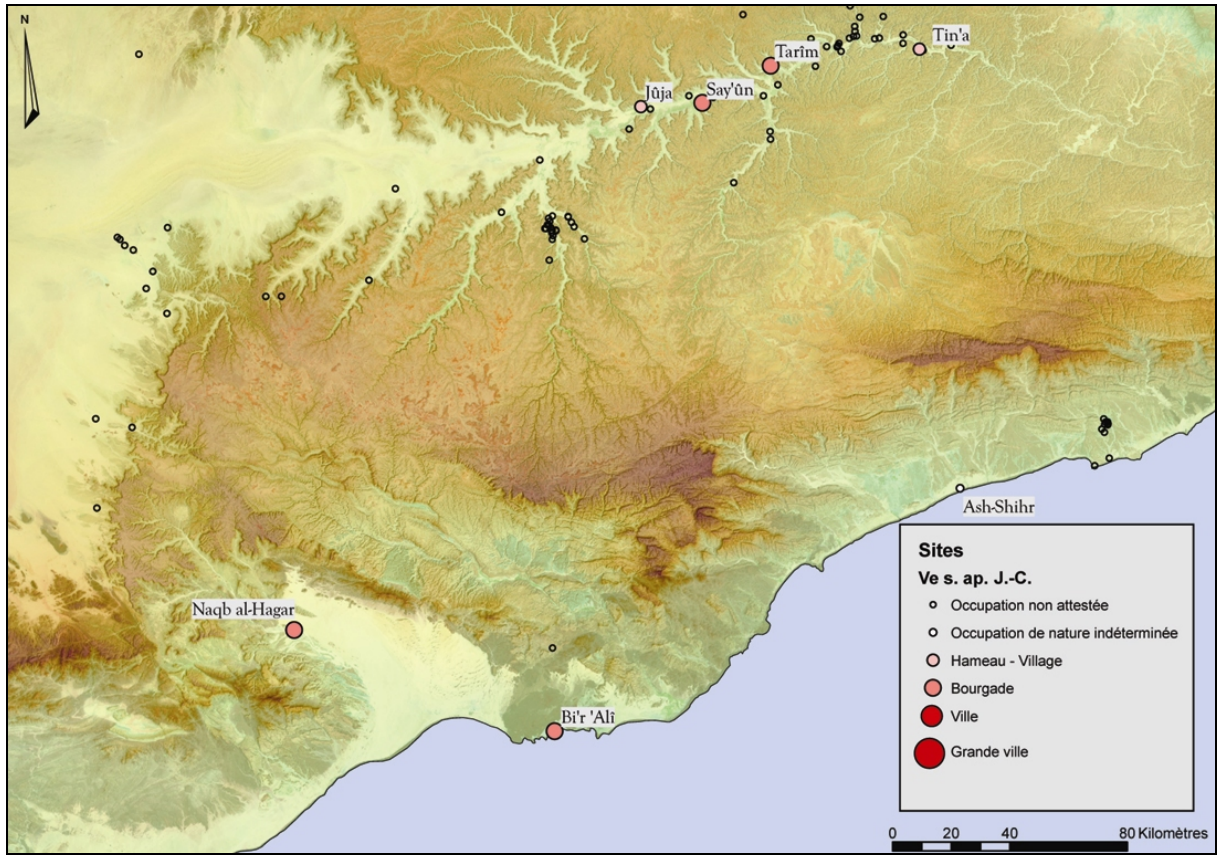
D



E



F



G

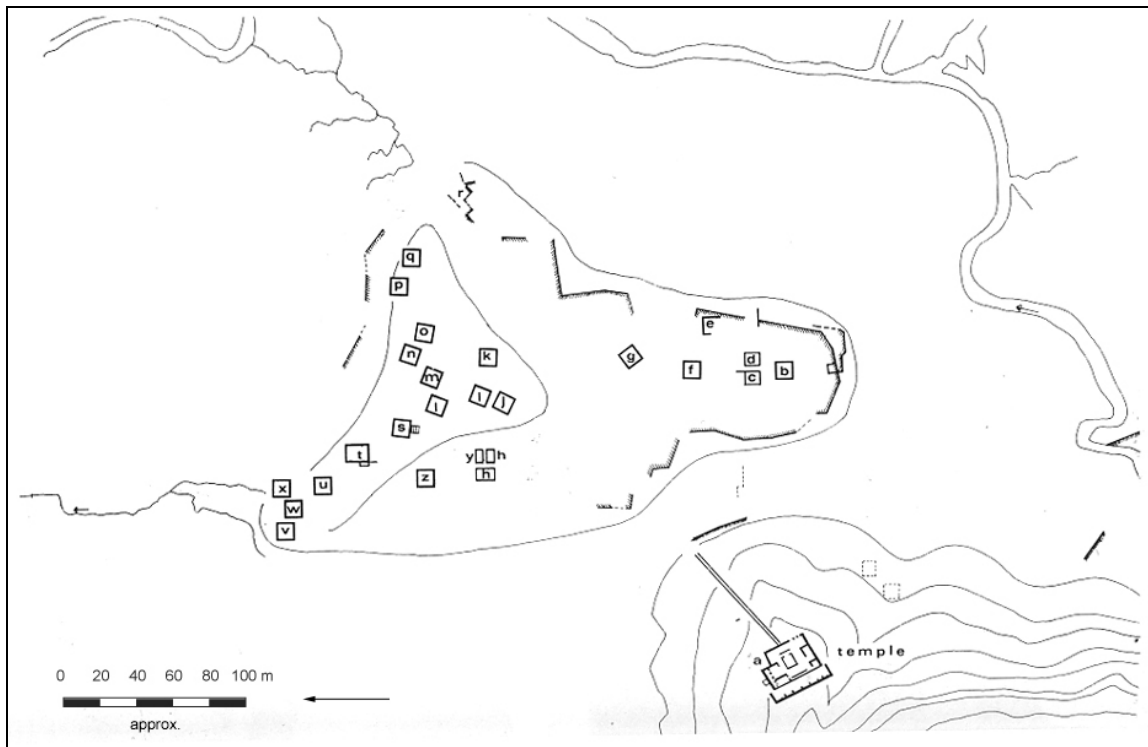


Figure 79 : plan de Hajar.

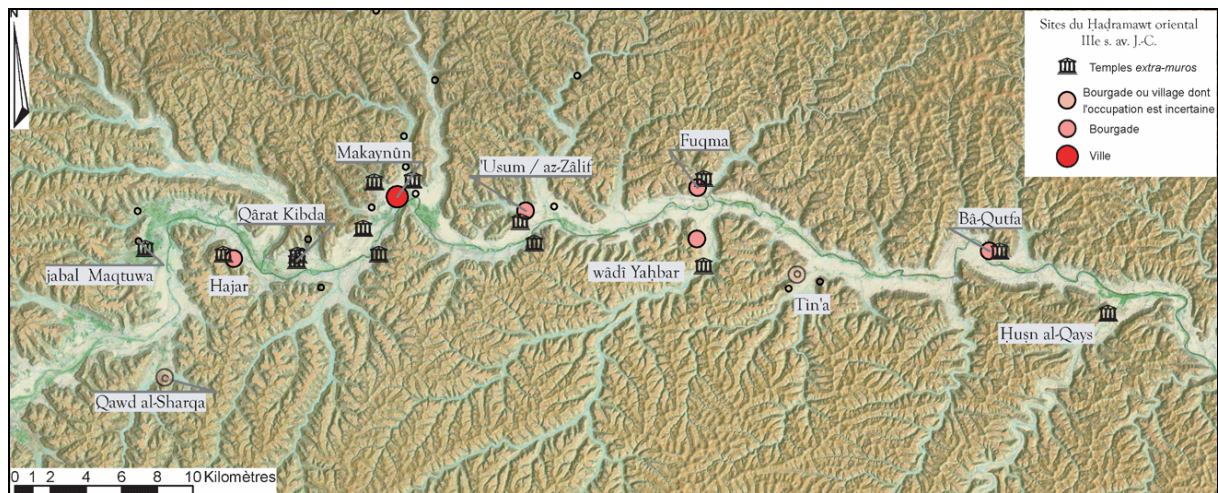


Figure 80 : carte de répartition des sites du Ḥaḍramawt oriental au III^e s. av. J.-C.

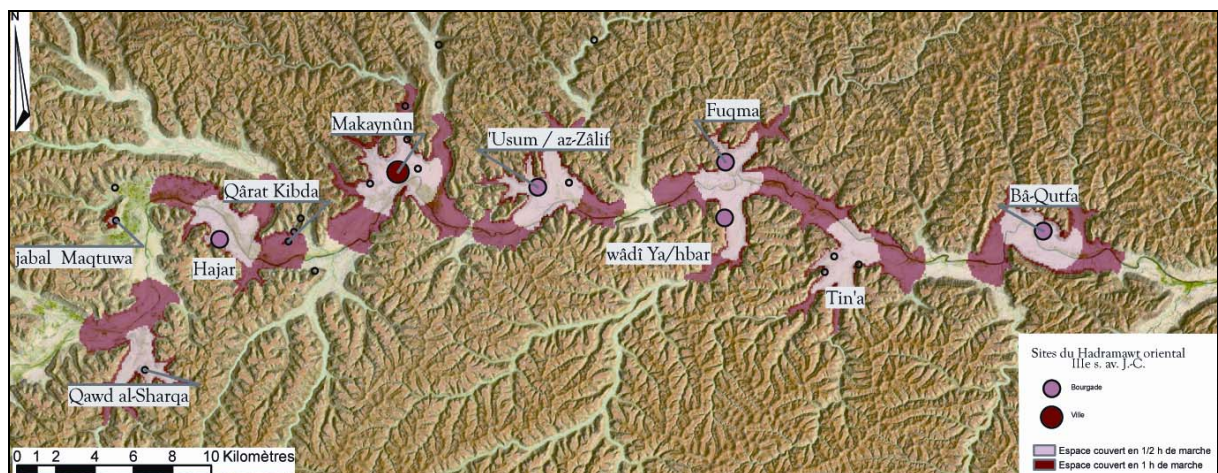


Figure 81 : carte des zones d'accessibilité autour des sites du Ḥaḍramawt oriental au III^e s. av. J.-C.

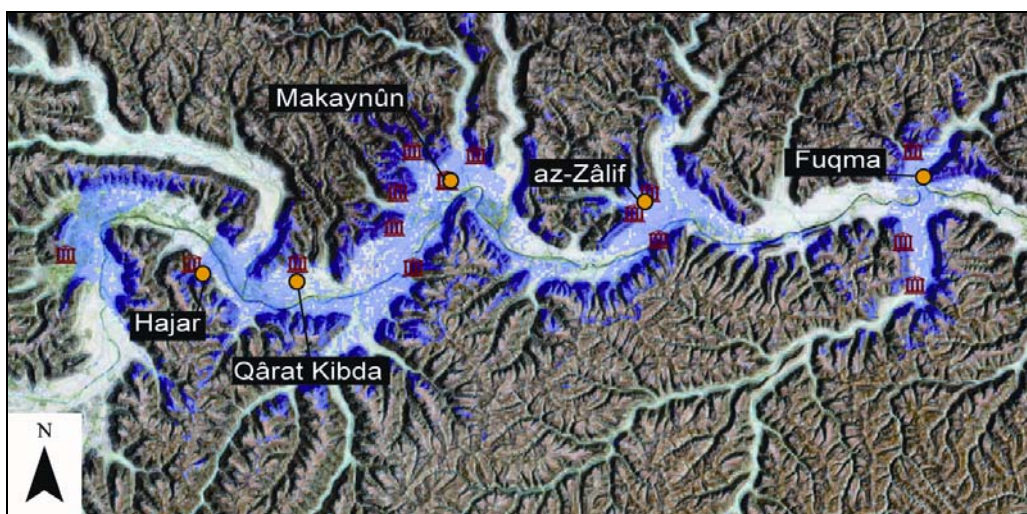


Figure 82 : carte des zones de visibilité depuis les sanctuaires *extra-muros* du Ḥaḍramawt oriental.



Figure 83 : carte des sites archéologiques de Tihâma.

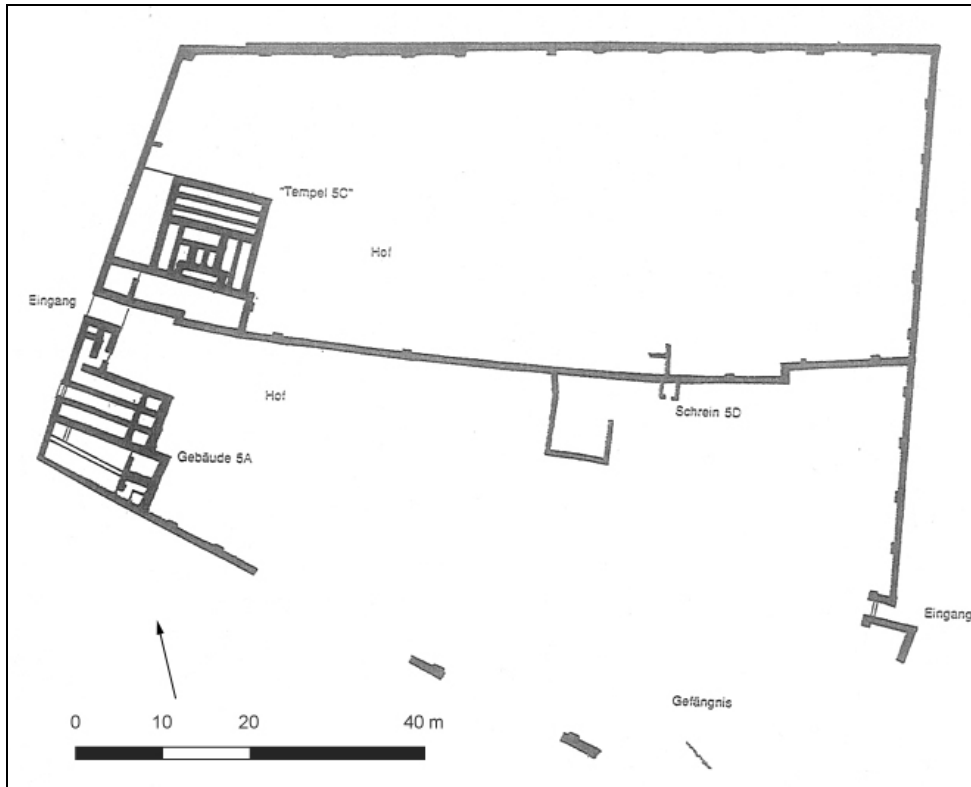


Figure 84 : plan du complexe architectural de Şabir 5 (B. Vogt, 2003, fig. 6).

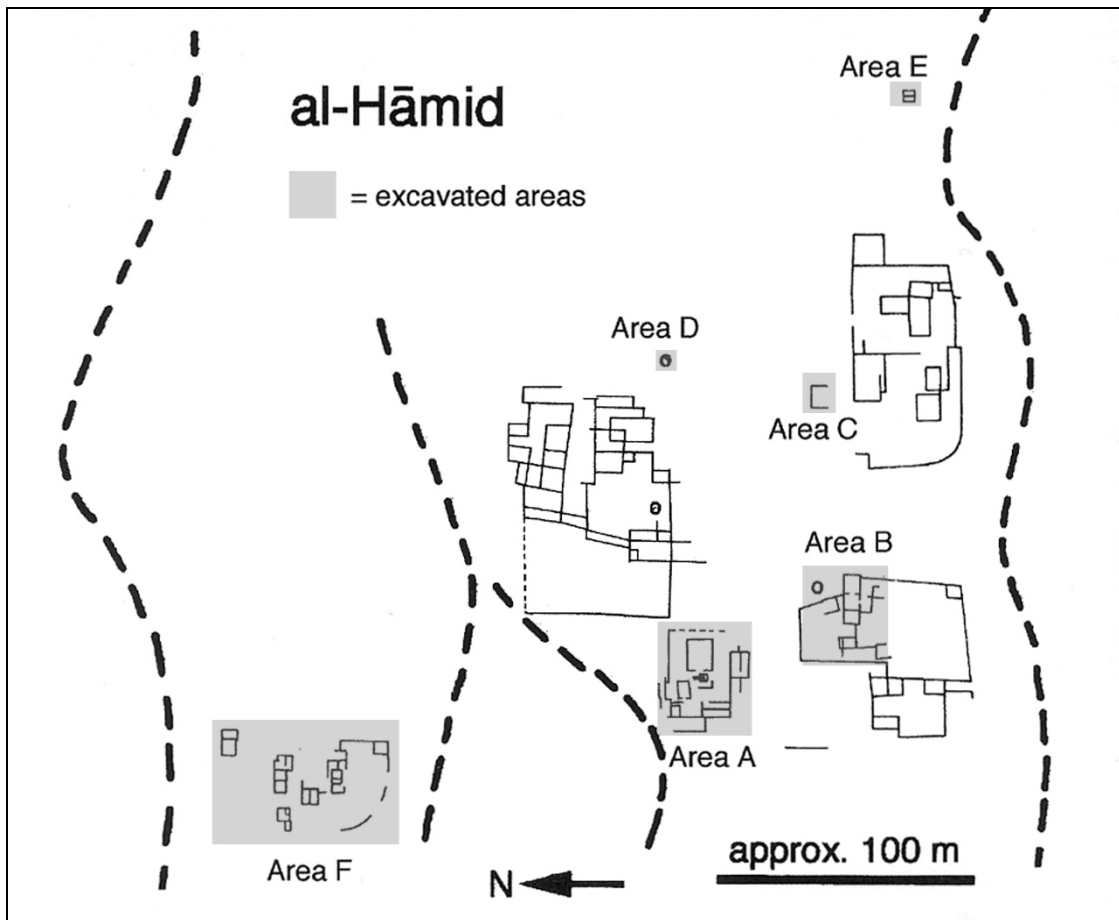


Figure 85 : plan d'al-Hāmid (C. Phillips, 2005, fig. 3).

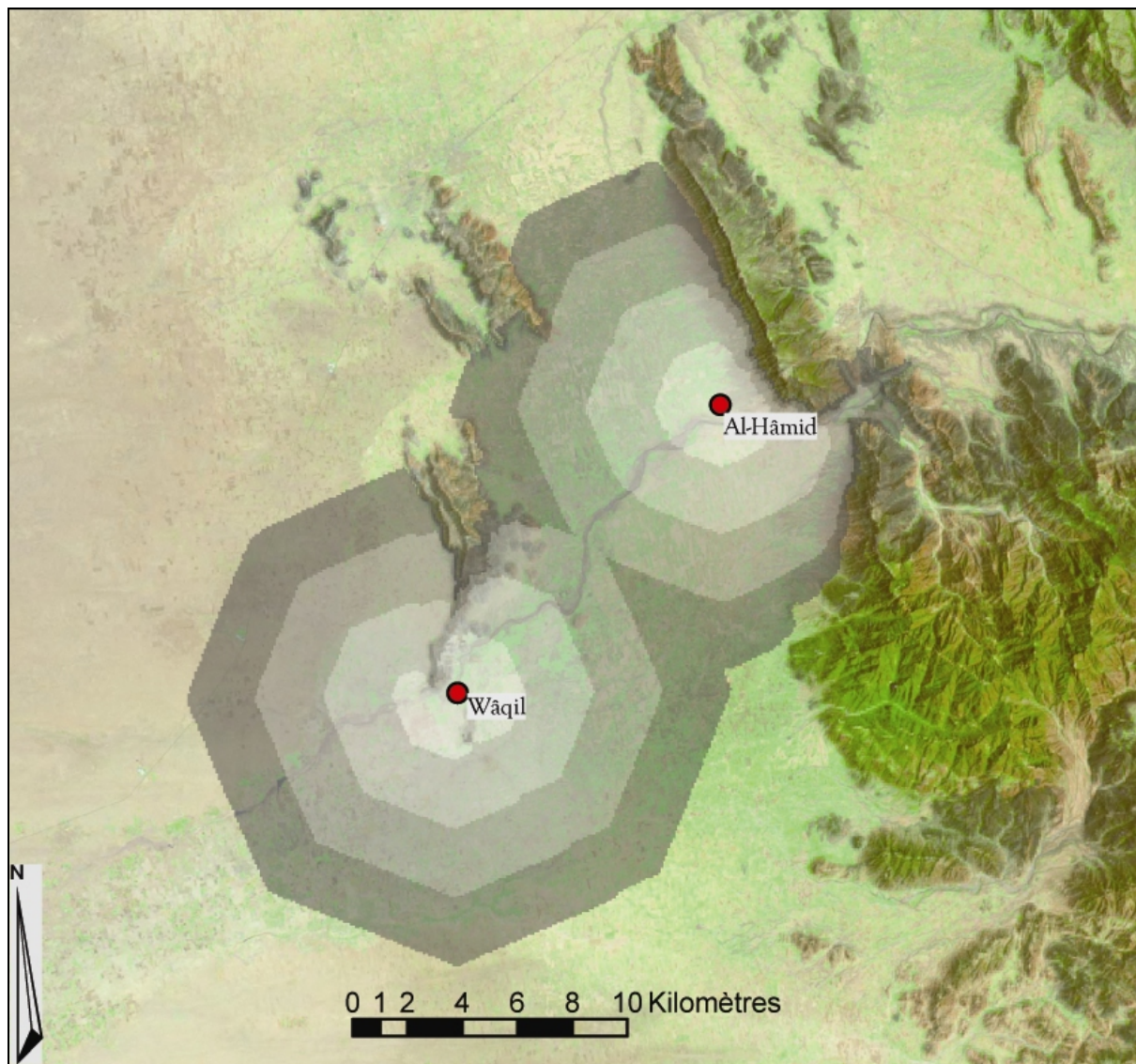


Figure 86 : carte des zones d'accessibilité autour des sites d'al-Hâmid et de Wâqir (tranches de 20 min. de marche).

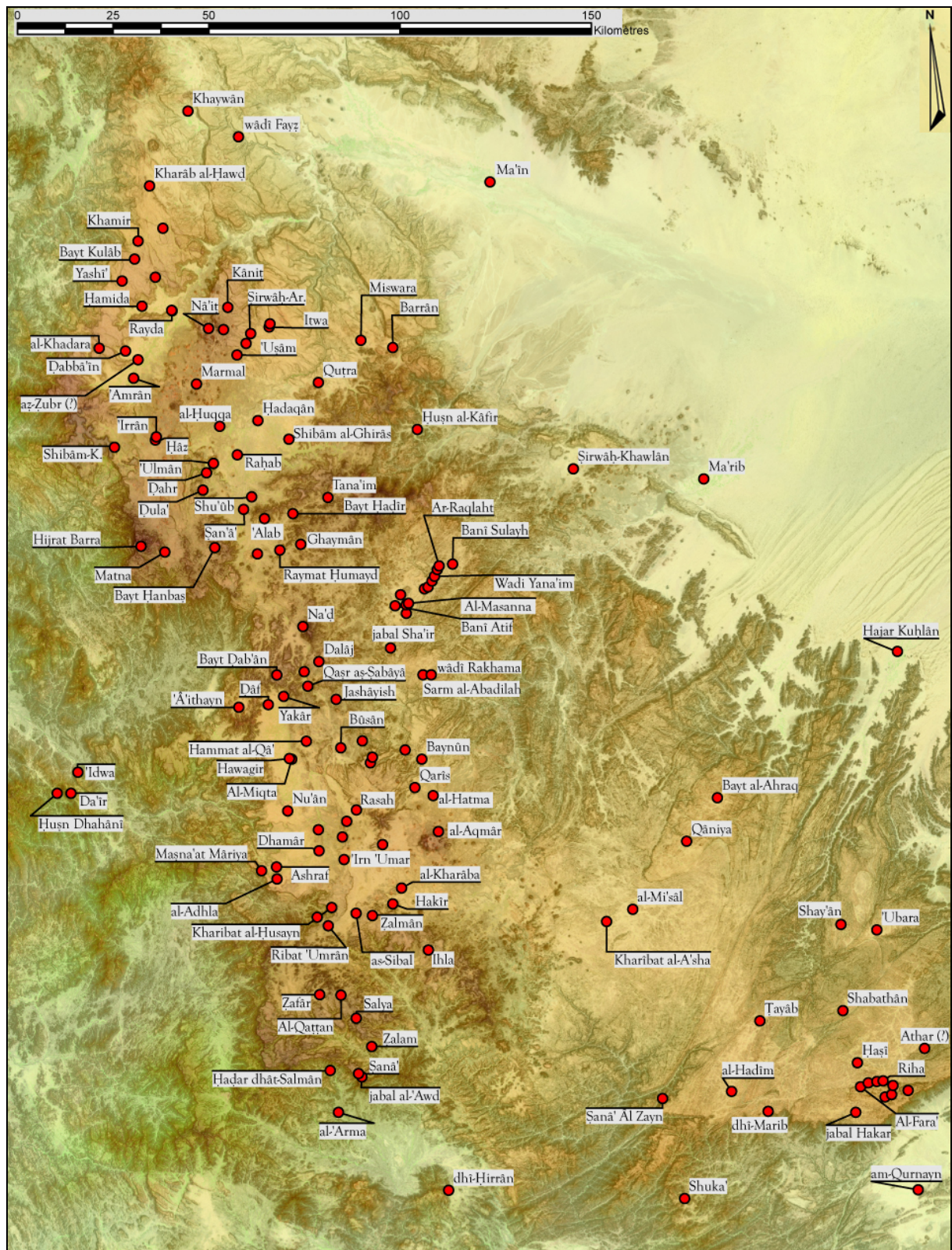


Figure 87 : carte de répartition des sites archéologiques des Hautes-Terres.

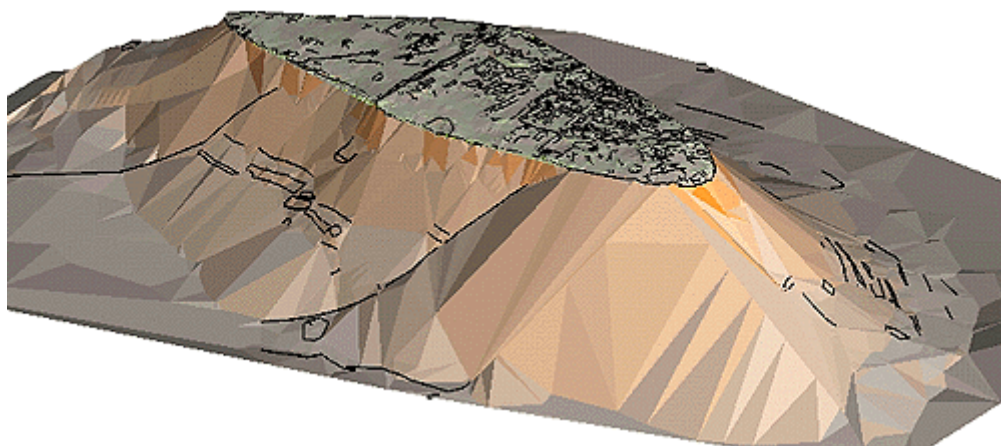


Figure 88 : plan de Hammat al-Qâ' (T. J. Wilkinson, Ch.Edens & G. Barratt, 2001, fig. 4 ; http://oi.uchicago.edu/OI/PROJ/CAMEL/YEMEN/Settlement_9.html).

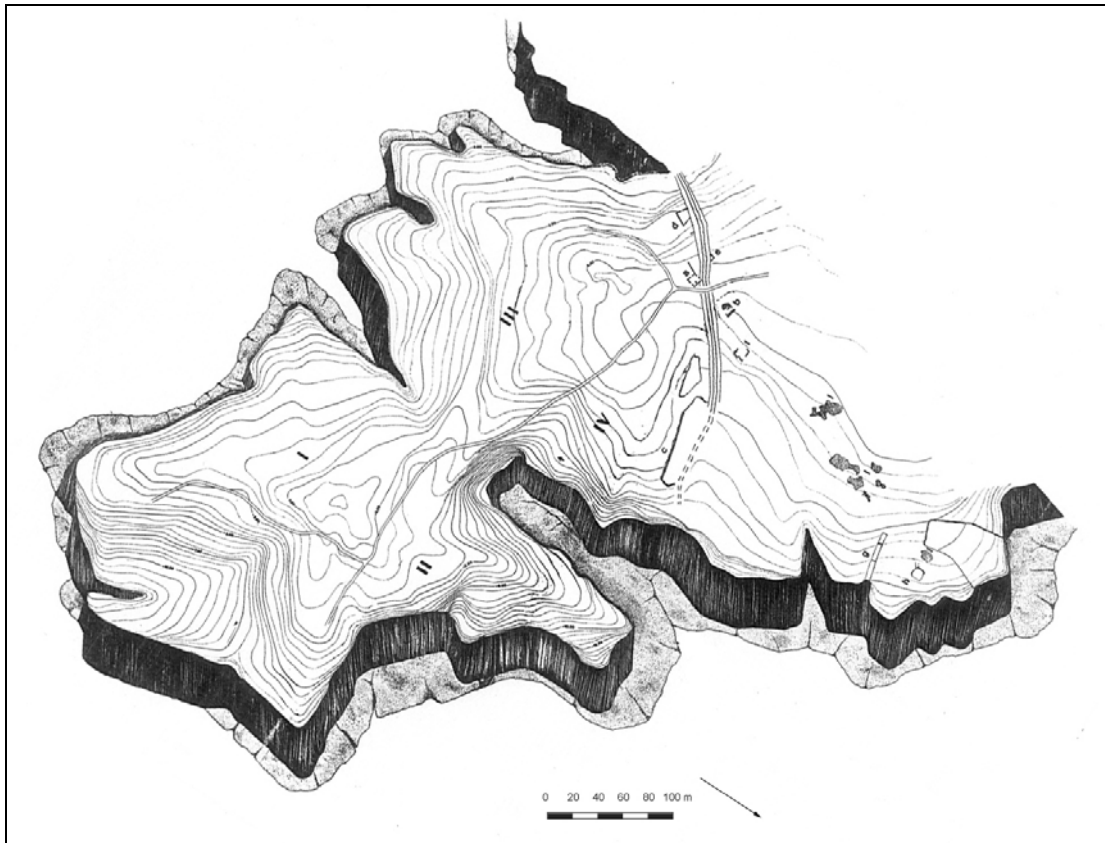


Figure 89 : plan de Madinat al-Ahjur (S. Antonini, 1989, fig. 2).

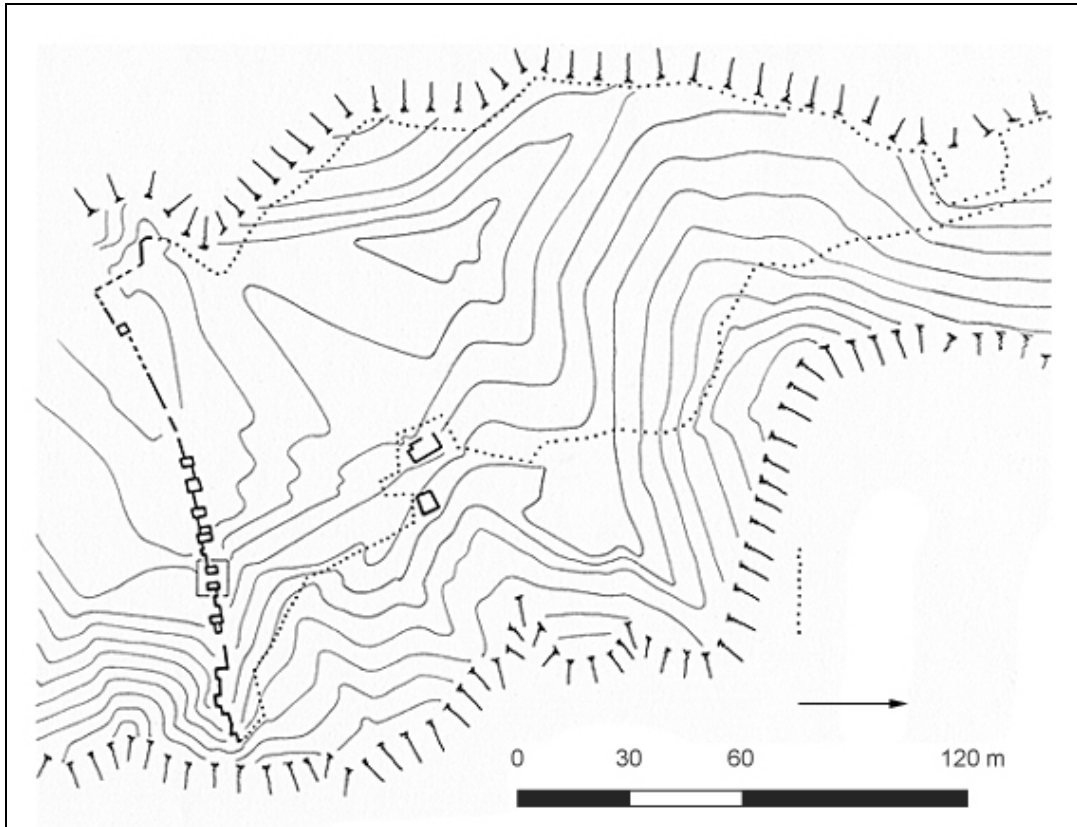


Figure 90 : plan de Kharibat al-Husayn
 (http://oi.uchicago.edu/OI/PROJ/CAMEL/YEMEN/Settlement_15.html).

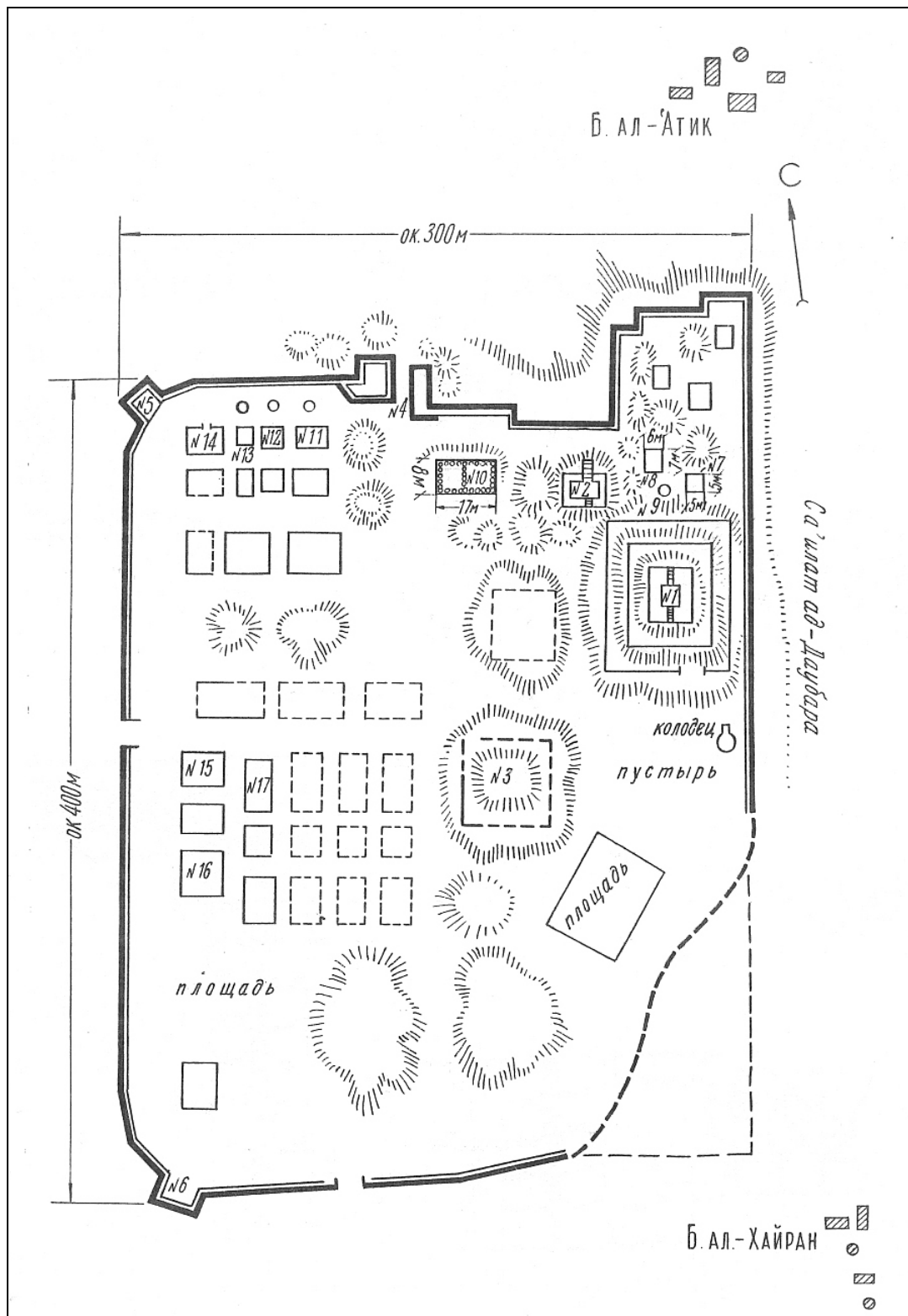


Figure 91 : plan de Bayt Dughaysh/Hadaqân (P. A. Grjaznevic, 1994, schéma 15).



Figure 92 : inscription issue du pillage récent du temple du jabal Riyâm.



Figure 93 : inscription remployée dans la maçonnerie de la mosquée de Itwa.



Figure 94 : Nâ'it, vue générale du site

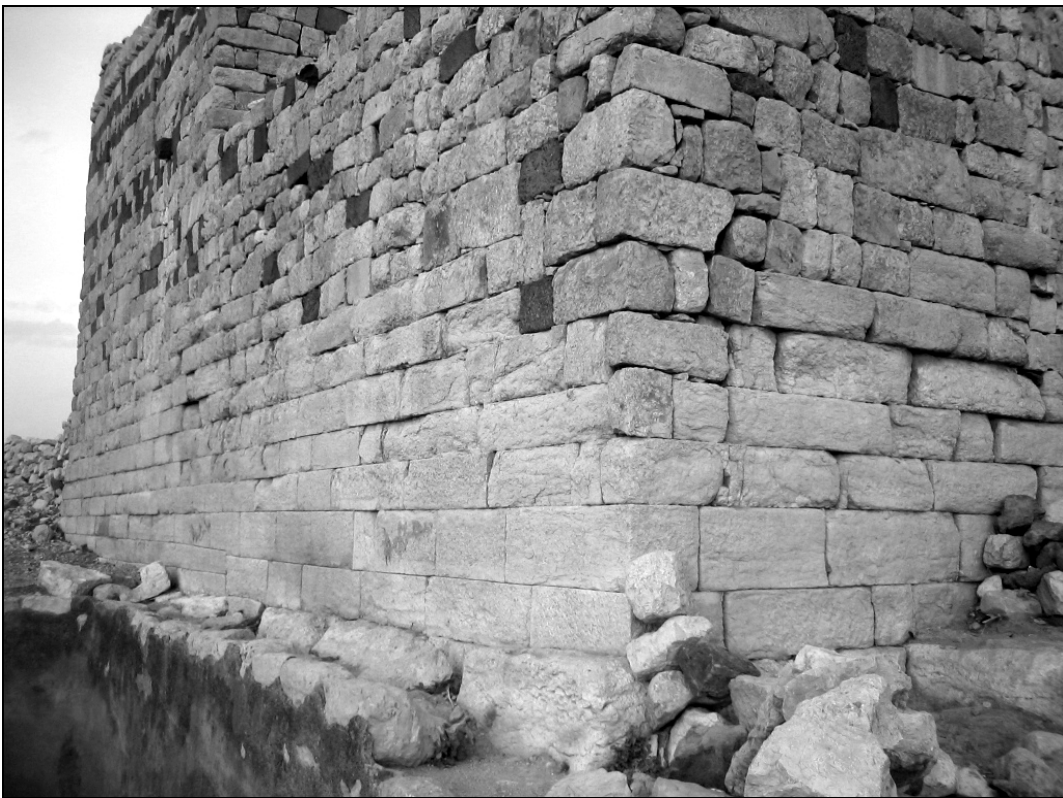


Figure 95 : Nâ'it, soubassements de structures préislamiques.



Figure 96 : vue du site d'al-Mi'sâl depuis le sud.

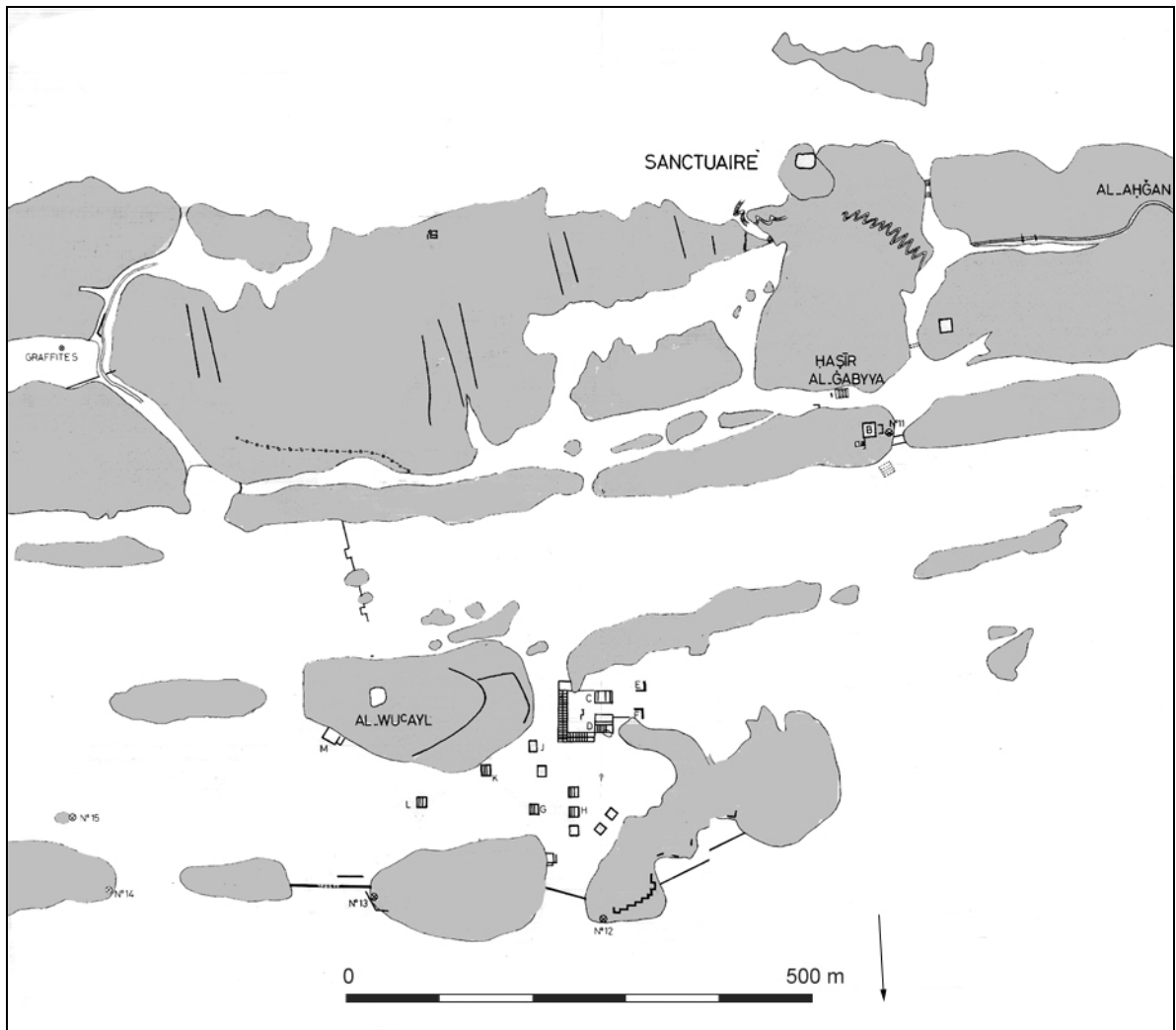


Figure 97 : plan d'al-Mi'sâl (Ch. Robin, J.-F. Breton & R. Audouin, non publié, reproduit avec l'aimable autorisation de Ch.Robin).



Figure 98 : vue du complexe architectural d'al-Mi'sâl.



Figure 99 : inscriptions du musée de Baynûn provenant du site mentionnant les *qayls* de Shadad.

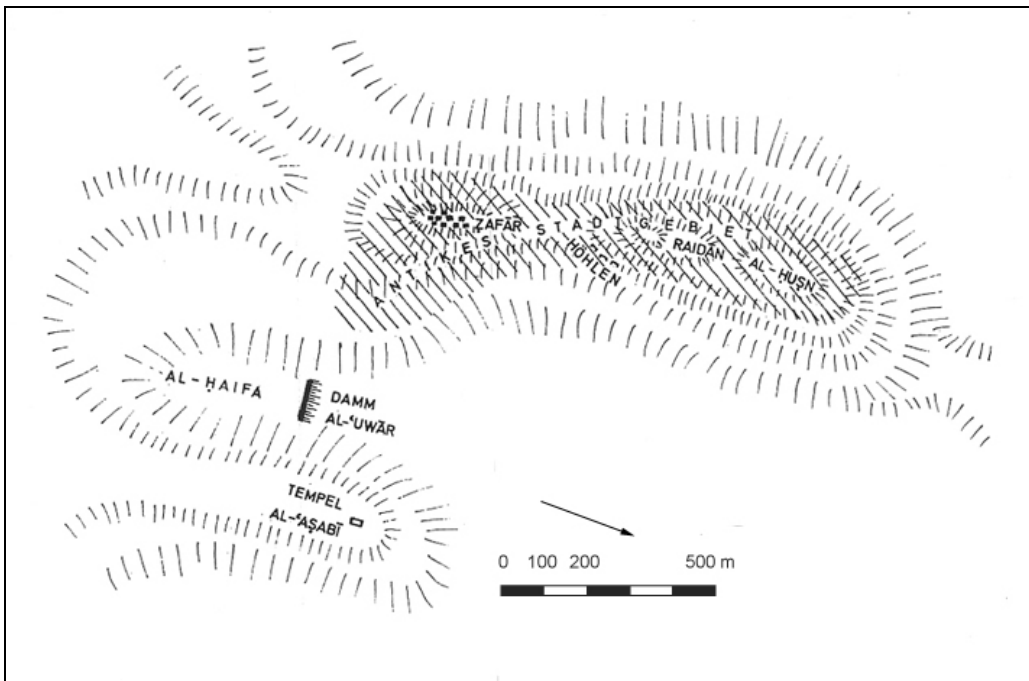
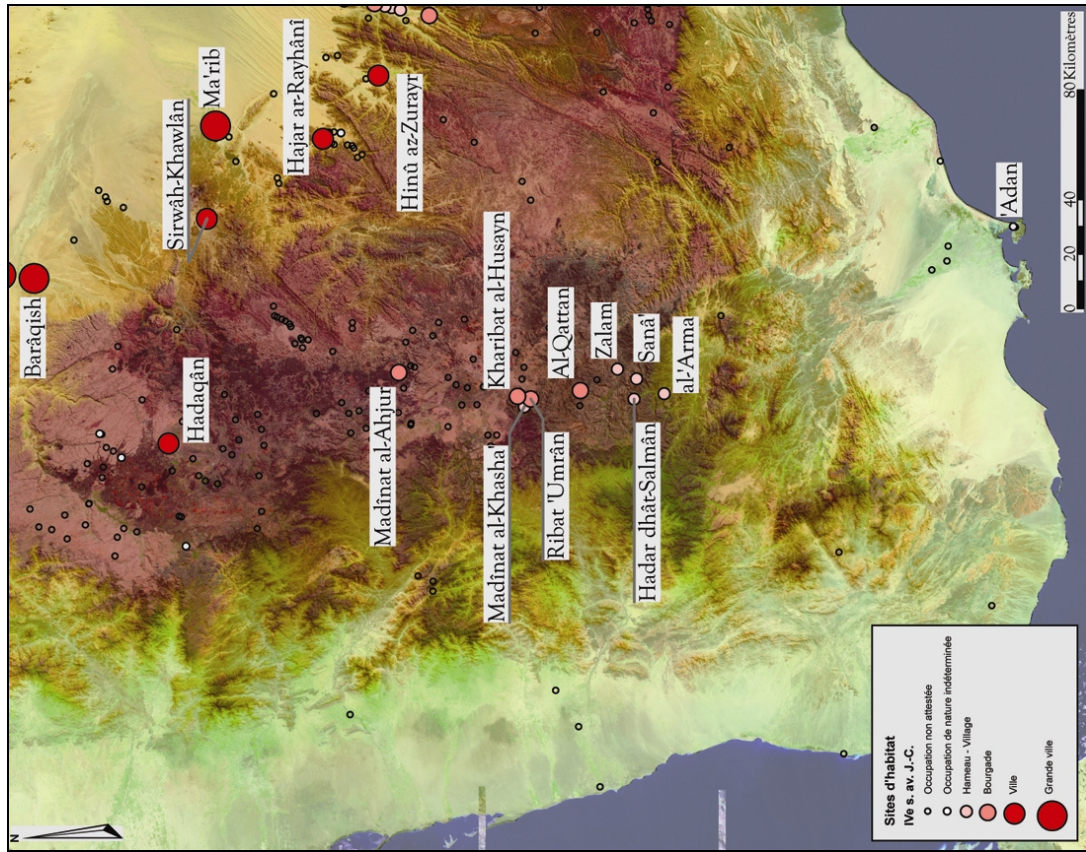


Figure 100 : plan de Zafâr (W. Radt, 1971, fig. 23).

B



A

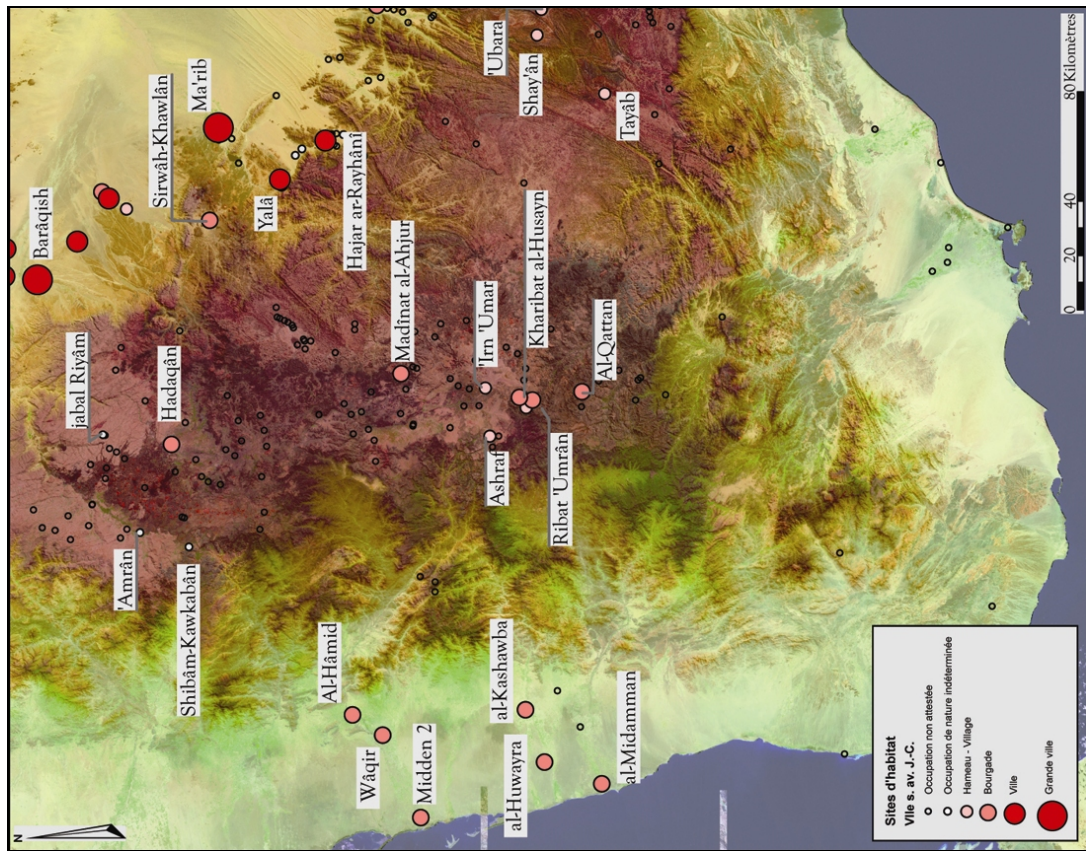
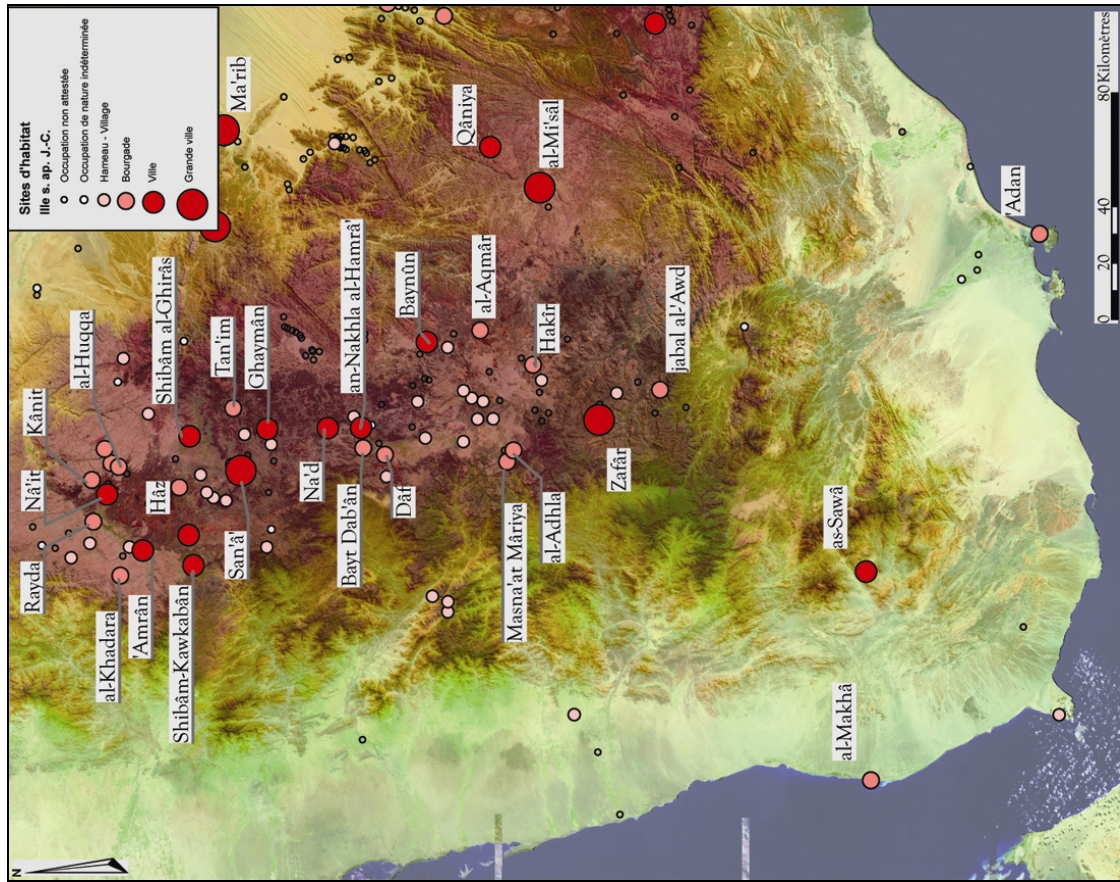
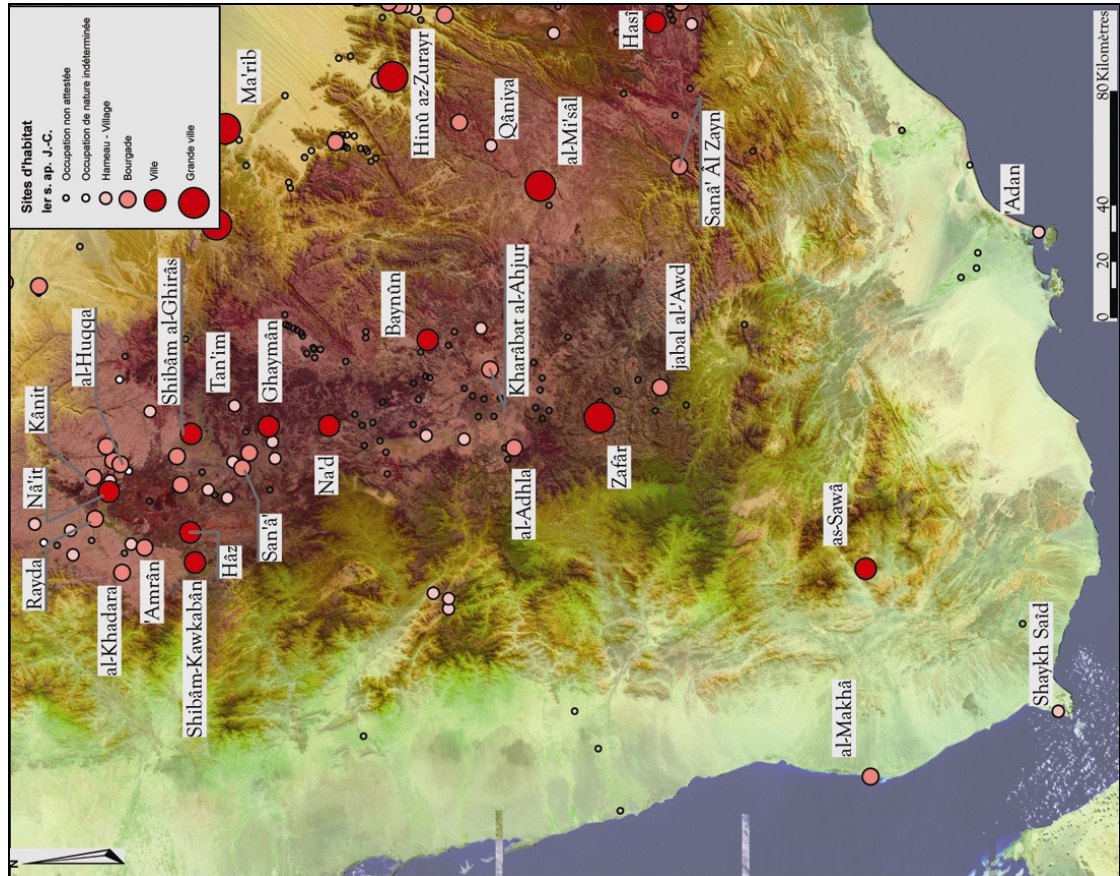


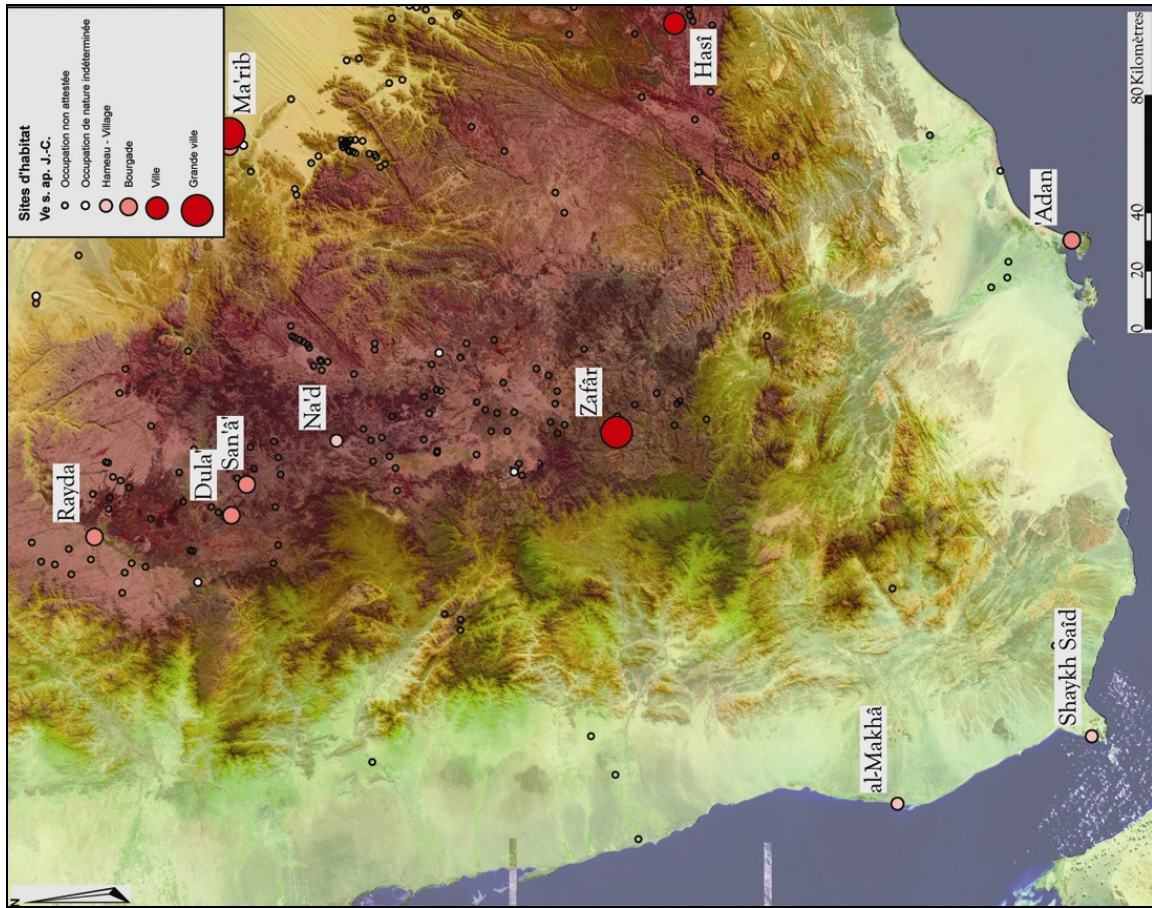
Figure 101 A-E : cartes de l'évolution du réseau urbain des Hautes-Terres
 A : VII^e s. av. J.-C. - B : IV^e s. av. J.-C. - C : I^{er} s. ap. J.-C. - D : III^e s. ap. J.-C. - E : V^e s. ap. J.-C.



D



C



E



Figure 102 : plan de Hajar Janādila (J.-F. Breton, 1994 a, fig. 55).

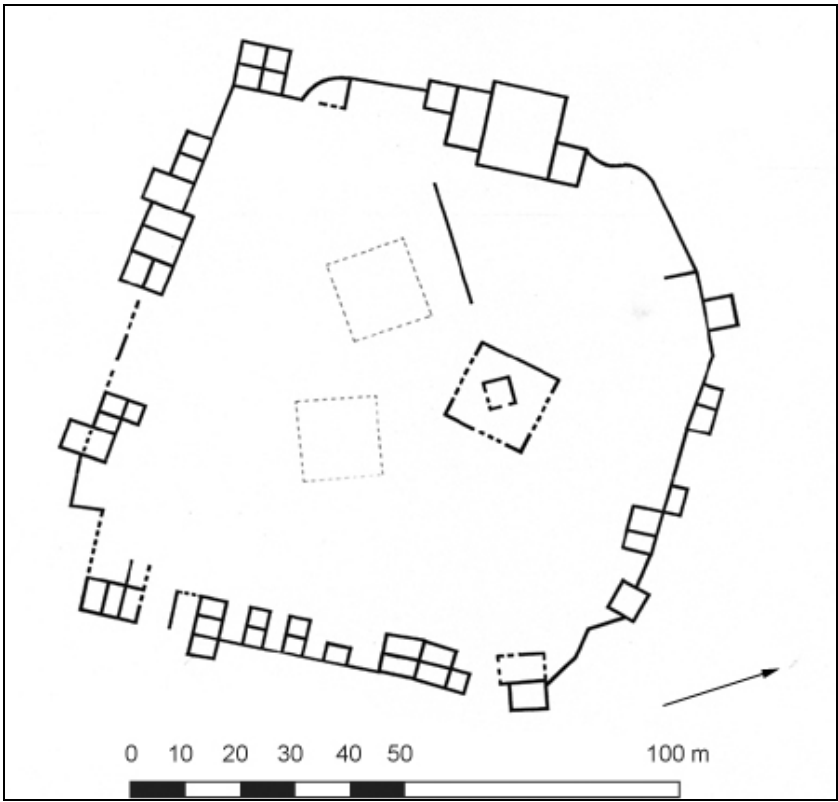


Figure 103 : plan de Hajar Zālimayn (J.-F. Breton, 1994 a, fig. 54).

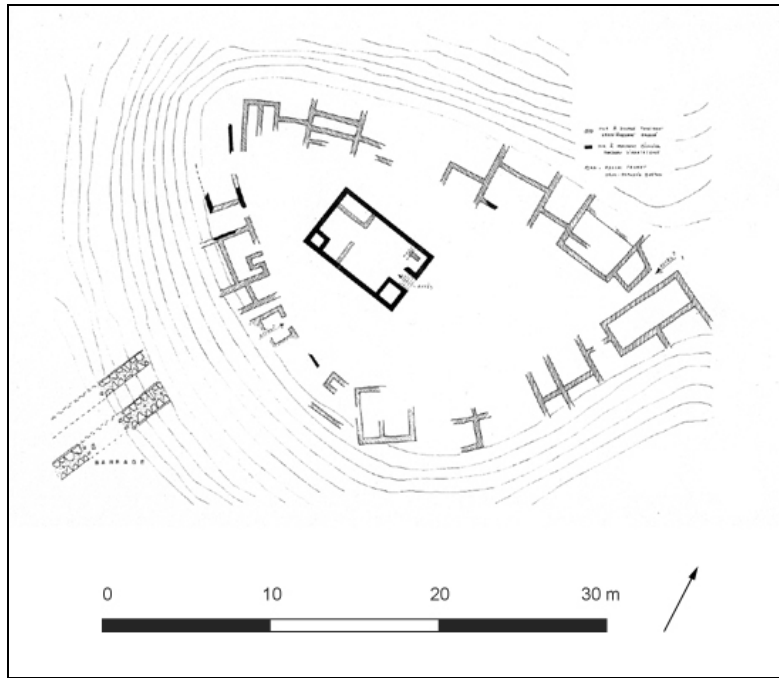


Figure 104 : plan de Hajar Ḍabû'a (Ch. Robin, J.-F. Breton & R. Audouin, 1979, p. 422).

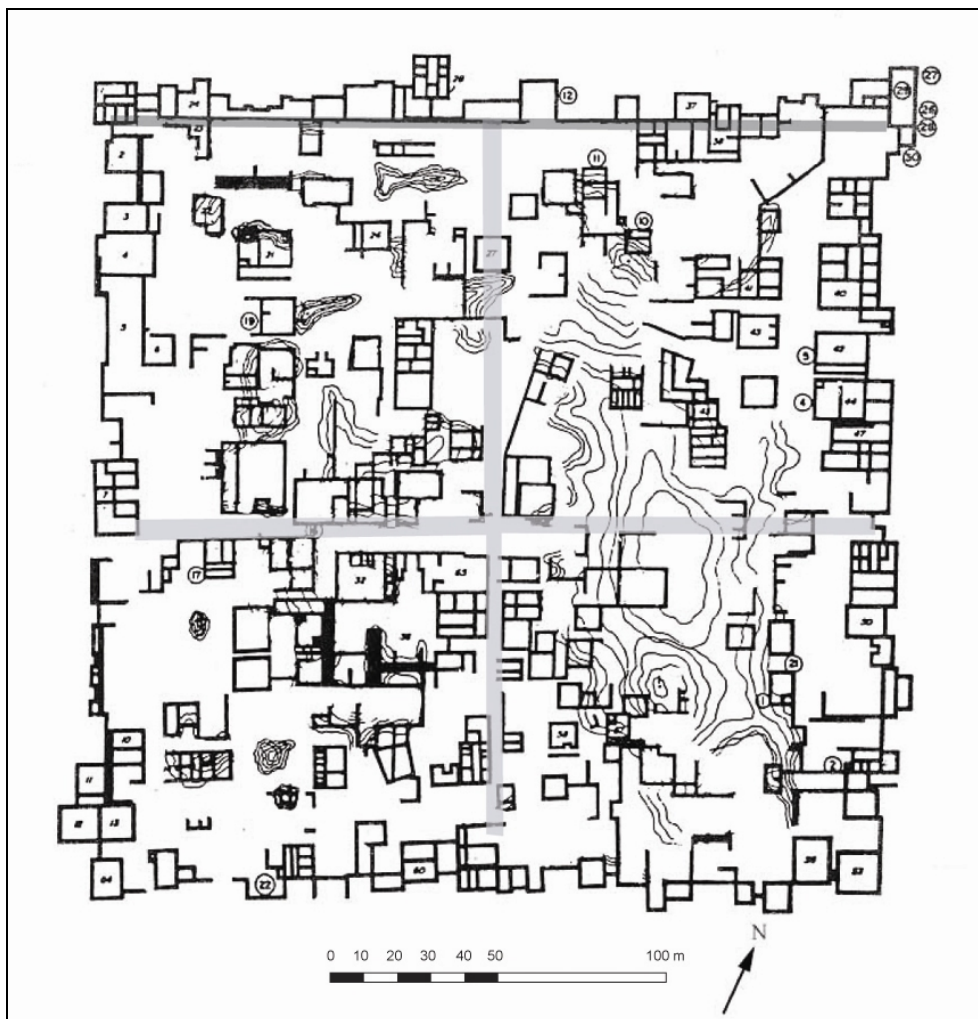


Figure 105 : plan de Najrân avec restitution des axes de circulation (d'après J.-F. Breton, 1991 a, fig. 8).

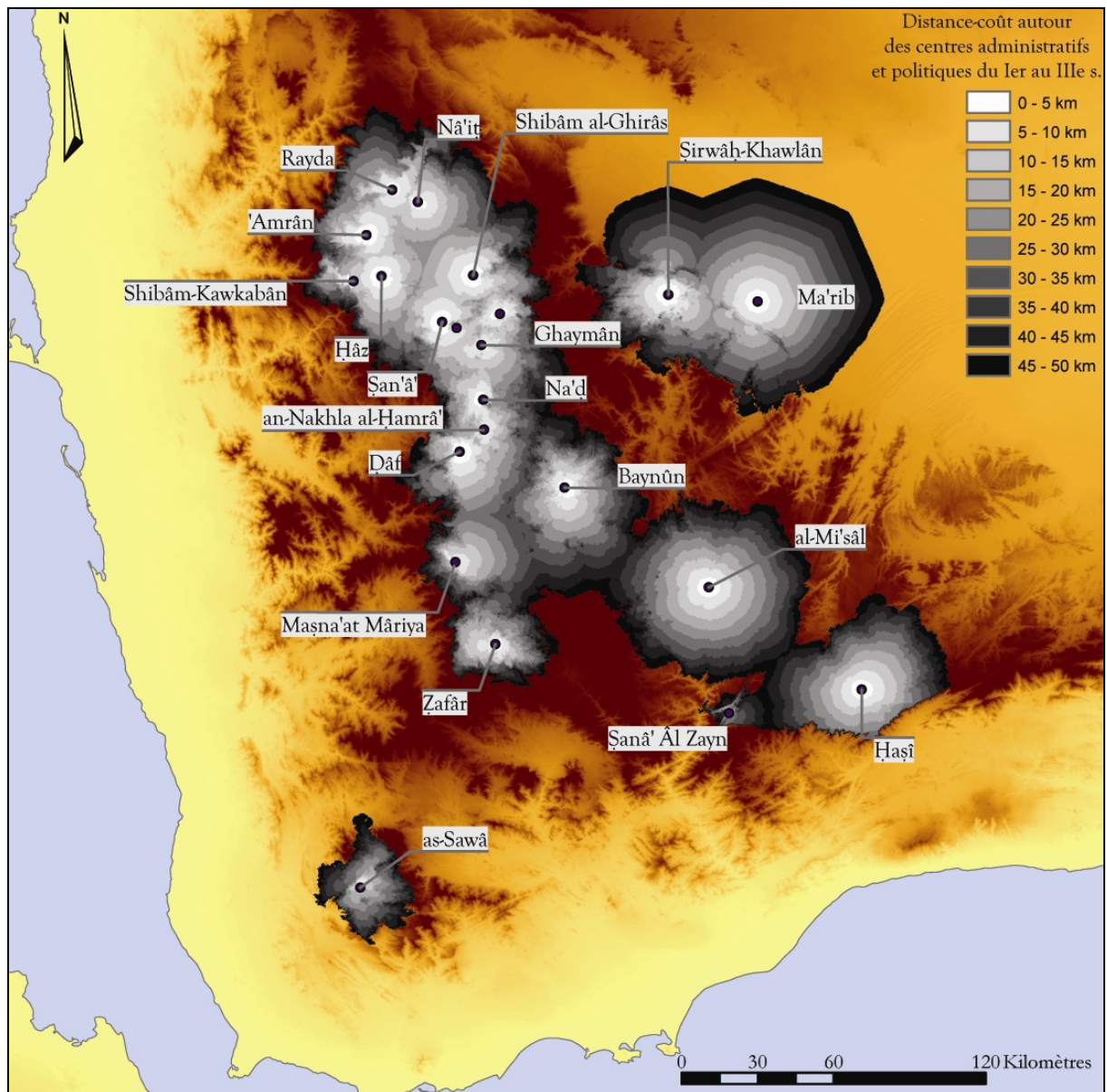


Figure 106 : carte des distances-coûts autour des centres administratifs et politiques des Hautes Terres (I^{er}-III^e s. ap. J.-C.).

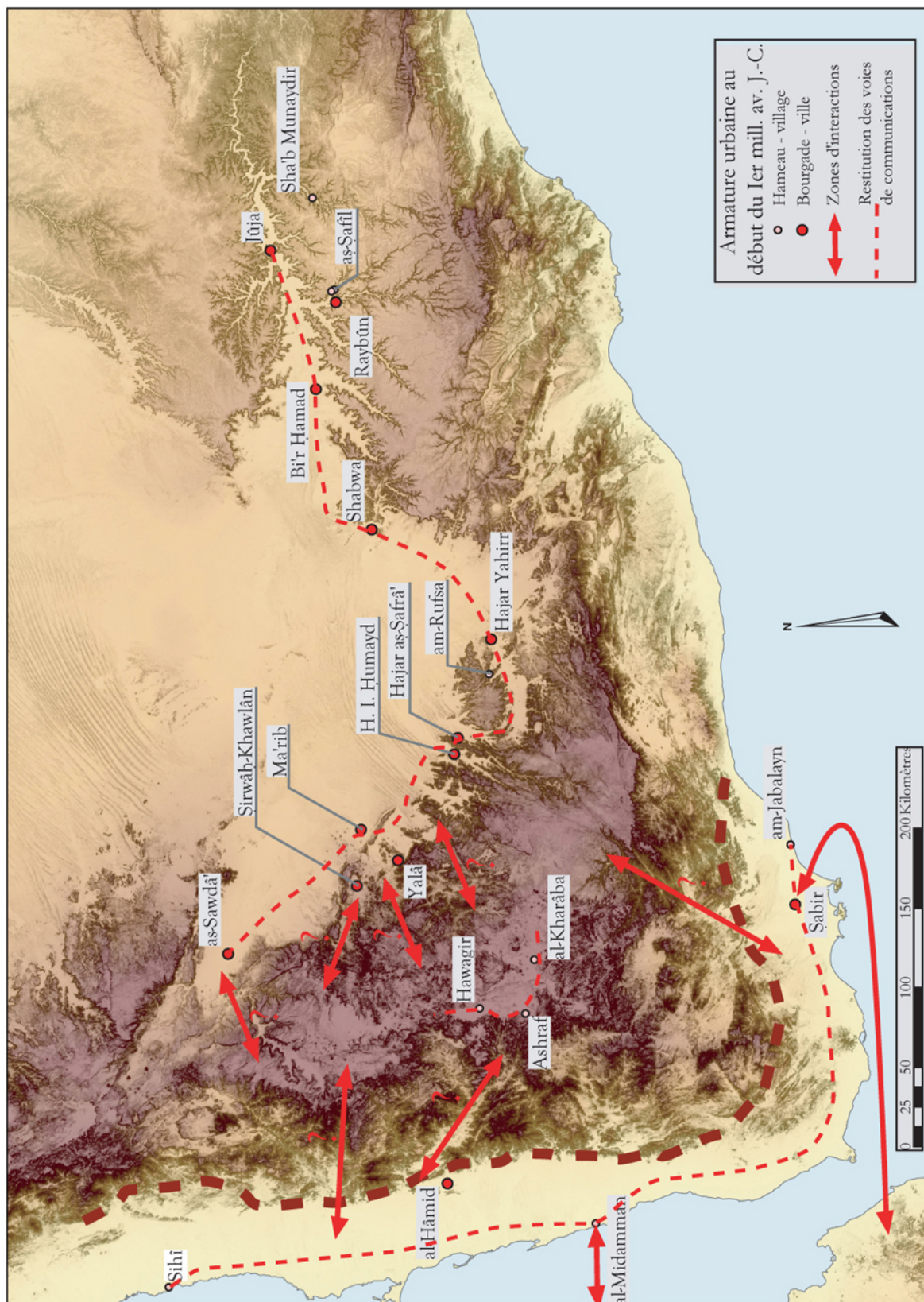


Fig. 107 : carte de l'armature urbaine de l'Arabie du Sud à l'époque proto-sudarabique.

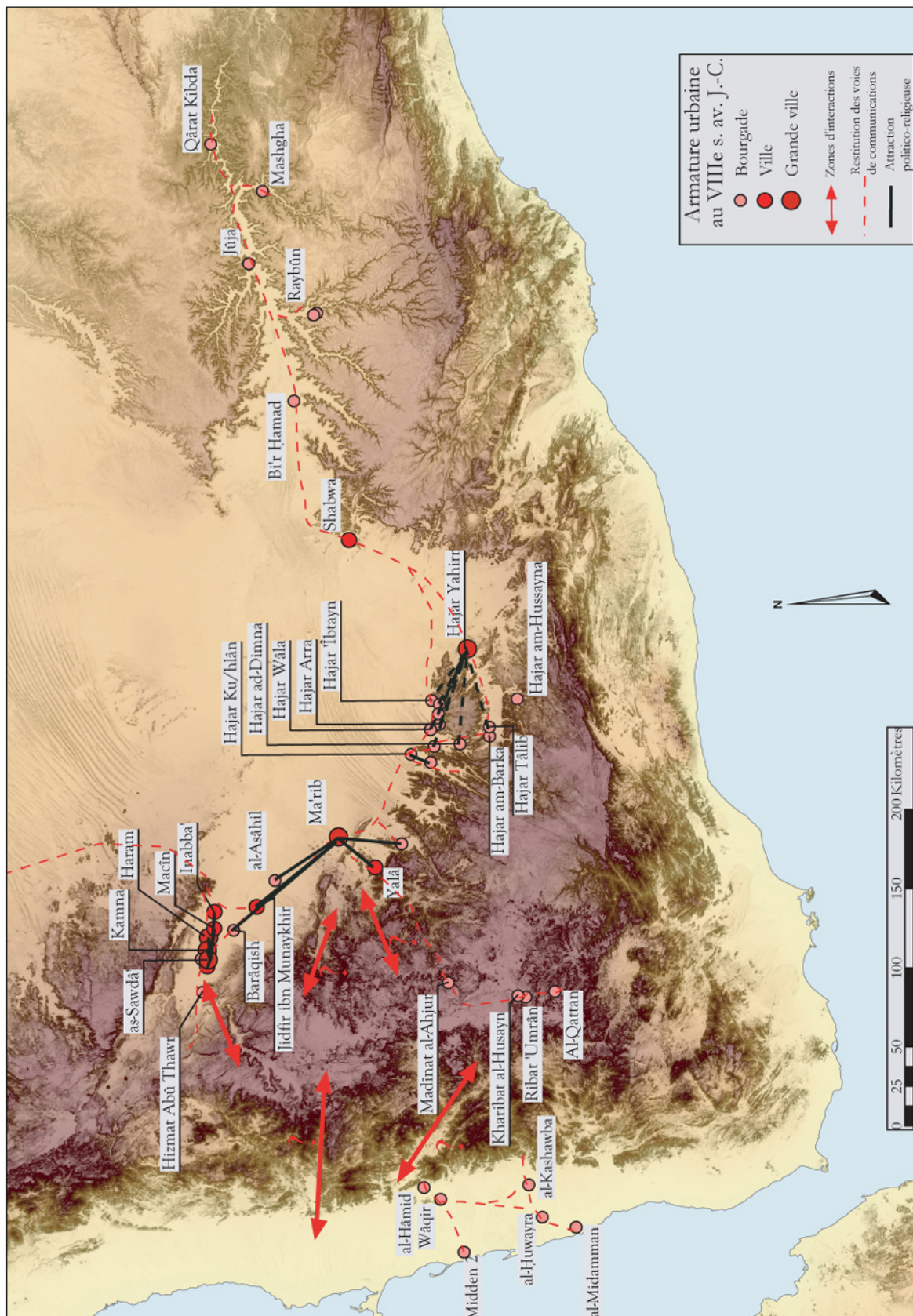


Fig. 108 : carte de l'armature urbaine de l'Arabie du Sud au VIII^e s. av. J.-C.

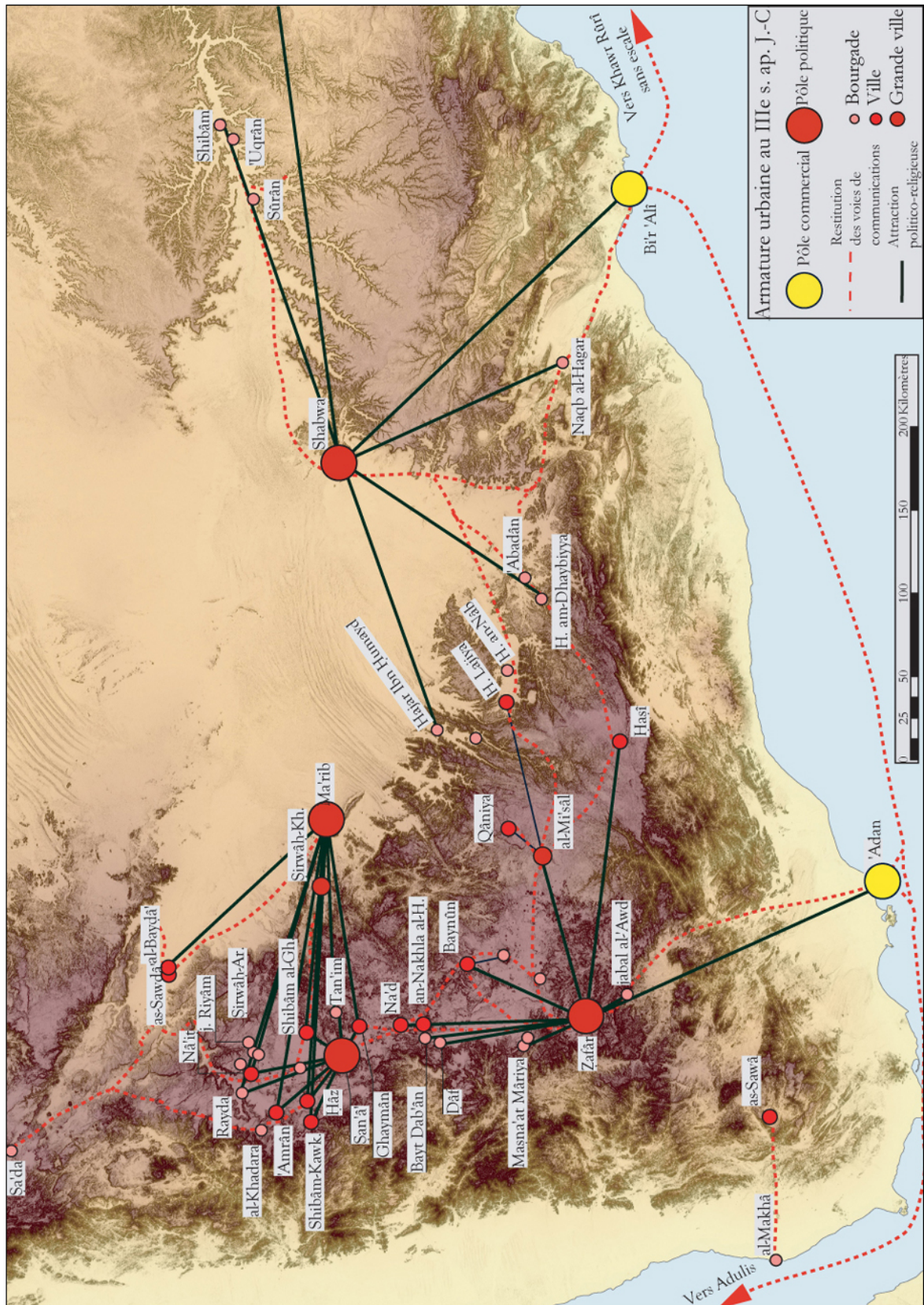


Fig. 111 : carte de l'armature urbaine de l'Arabie du Sud au III^e s. ap. J.-C.

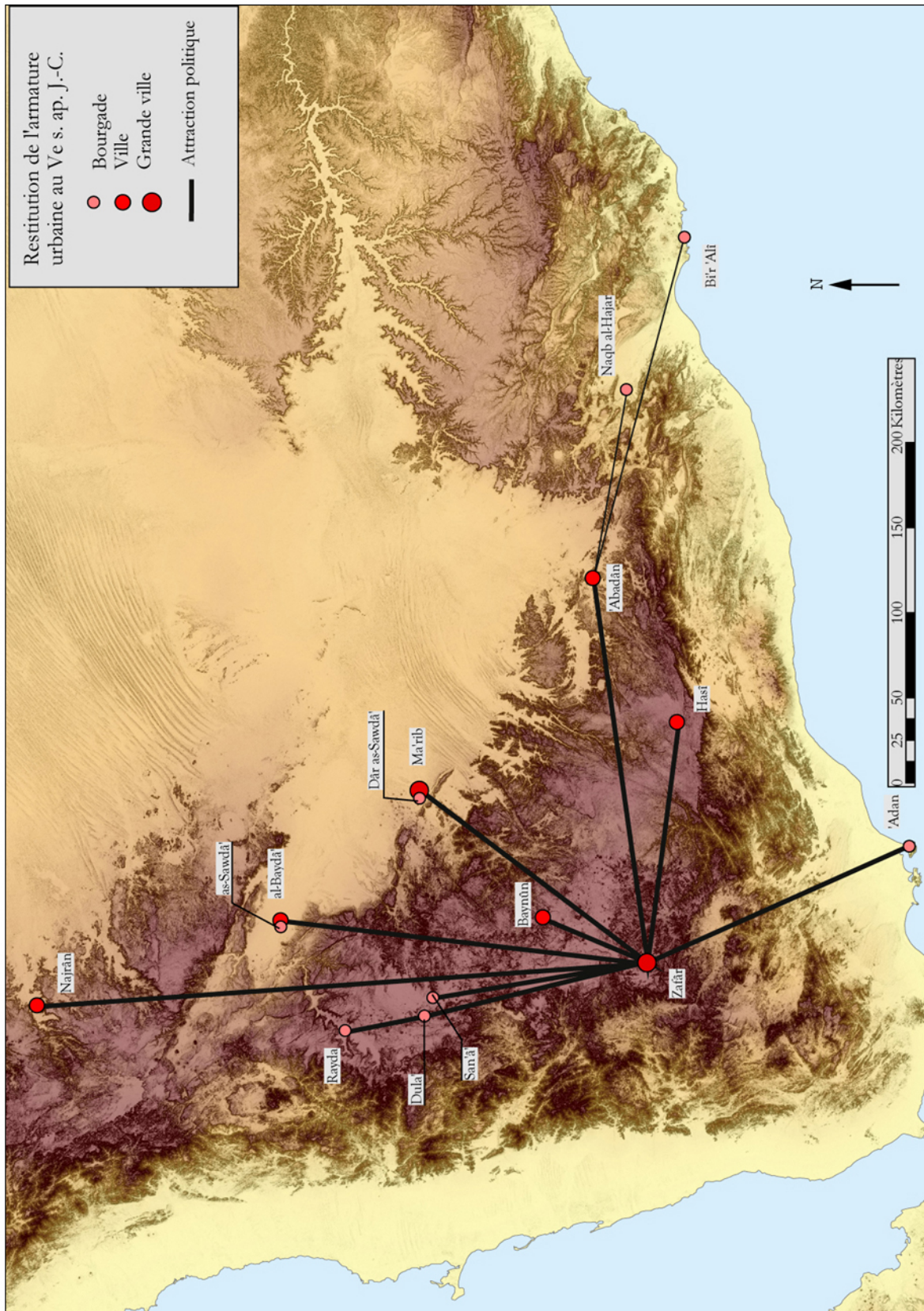


Fig. 112 : carte de l'armature urbaine de l'Arabie du Sud au Ve s. ap. J.-C.

